

เครื่องควบคุมการเปิดปิดอุปกรณ์ไฟฟ้าด้วยคลื่นวิทยุ 27MHz

27 MHz REMOTE ON-OFF ELECTRICAL EQUIPMENTS CONTROLLER



โดย
นายณัฐชัย เลียงเจริญสิทธิ์
นายนิเวศน์ วิทยาเต็ม

ปริญญานิพนธ์นี้เป็นส่วนหนึ่งของการศึกษาตามหลักสูตรปริญญาวิศวกรรมศาสตรบัณฑิต

สาขาวิศวกรรมโทรคมนาคม

สถาบันเทคโนโลยีพระจอมเกล้าเจ้าคุณทหารลาดกระบัง

ปีการศึกษา 2542

เลขหมู่.....

เลขทะเบียน..... 37095

วัน, เดือน, ปี..... 4 ก.ย. 2542

เอกสารนี้เป็นเอกสารที่สงวนไว้สำหรับการใช้งานเพื่อการศึกษาเท่านั้น ไม่อนุญาตให้นำไปใช้ประโยชน์ด้านการค้า
ไม่ว่ากรณีใดๆ ทั้งสิ้น อีกทั้งห้ามมิให้ตัดแปลงเนื้อหาและต้องอ้างอิงถึงเจ้าของเอกสารทุกครั้งที่มีการนำไปใช้

เครื่องควบคุมการเปิดปิดอุปกรณ์ไฟฟ้าด้วยคลื่นวิทยุ 27MHz
27 MHz REMOTE ON-OFF ELECTRICAL EQUIPMENTS CONTROLLER



โดย
นายณัฐชัย เลียงเจริญฤทธิ์ 39014159
นายนิเวศน์ วิทยาเต็ม 39014269

อาจารย์ที่ปรึกษา
ผศ.นิภา ลีสารุจิ

ปริญญานิพนธ์นี้เป็นส่วนหนึ่งของการศึกษาตามหลักสูตรปริญญาวิศวกรรมศาสตรบัณฑิต
สาขาวิศวกรรมโทรคมนาคม
สถาบันเทคโนโลยีพระจอมเกล้าเจ้าคุณทหารลาดกระบัง
ปีการศึกษา 2542

เอกสารนี้เป็นเอกสารที่สงวนไว้สำหรับการใช้งานเพื่อการศึกษาเท่านั้น ไม่อนุญาตให้นำไปใช้ประโยชน์ด้านการค้า
ไม่ว่ากรณีใดๆ ทั้งสิ้น อีกทั้งห้ามมิให้ตัดแปลงเนื้อหาและต้องอ้างอิงถึงเจ้าของเอกสารทุกครั้งที่มีการนำไปใช้

เครื่องควบคุมการเปิดปิดอุปกรณ์ไฟฟ้าด้วยคลื่นวิทยุ 27 MHz
27 MHz REMOTE ON-OFF ELECTRICAL
EQUIPMENT CONTROLLER

โดย นายณัฐชัย เสียงเจริญสิทธิ์ 39014159
นายนิเวศน์ วิทยาเต็ม 39014269

อาจารย์ที่ปรึกษา ผศ.นิภา สีลาธุจิ

บทคัดย่อ

โครงการนี้นำเสนอโครงการระยะไกลด้วยคลื่นวิทยุย่าน HF ซึ่งได้นำเอาสัญญาณความถี่คู่ (Dual tone multi-frequency) หรือ DTMF มาประยุกต์ใช้ในการควบคุมระยะไกลที่มีลักษณะของสวิทช์เปิด-ปิด โดยใช้หลักการแปลงสัญญาณ DTMF ที่ส่งเข้ามาเพื่อควบคุมโหนดให้เป็นสัญญาณ ดิจิตอลระบบเลขฐานสิบหก แล้วส่งสัญญาณผ่านวงจรนาฬิกาไปถอดรหัสควบคุมเครื่องใช้ไฟฟ้าได้ตามต้องการ

ABSTRACT

This Project is concerns about the remote controlling by using of HF radio wave in 27 MHz as carrier with Dual tone multi-frequency (DTMF) signal. The remote control can be applied for controlling the on-off function of any electrical equipment. The principle of transformation of DTMF signal is sent through the circuit that will be decoded to control the desired electrical device.

เอกสารนี้เป็นเอกสารที่สงวนไว้สำหรับการใช้งานเพื่อการศึกษาเท่านั้น ไม่อนุญาตให้นำไปใช้ประโยชน์ด้านการค้า
ไม่ว่ากรณีใดๆ ทั้งสิ้น อีกทั้งห้ามมิให้ตัดแปลงเนื้อหาและต้องอ้างอิงถึงเจ้าของเอกสารทุกครั้งที่มีการนำไปใช้

ปริญญาโทปีการศึกษา 2542

ภาควิชาวิศวกรรมโทรคมนาคม

คณะวิศวกรรมศาสตร์สถาบันเทคโนโลยีพระจอมเกล้าเจ้าคุณทหารลาดกระบัง

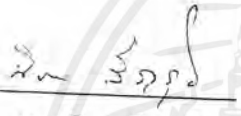
เรื่อง เครื่องควบคุมการเปิด-ปิดอุปกรณ์เครื่องใช้ไฟฟ้าด้วยคลื่นวิทยุ 27 MHz

27 MHz REMOTE ON-OFF ELECTRICAL EQUIPMENTS CONTROLLER

ผู้จัดทำ

1. นายณัฐชัย เกียงเจริญสิทธิ์ 39014159

2. นายนิเวศน์ วิชาเต็ม 39014269



(ผศ.นิภา ลีลารุจ)

อาจารย์ที่ปรึกษา



เอกสารนี้เป็นเอกสารที่สงวนไว้สำหรับการใช้งานเพื่อการศึกษาเท่านั้น ไม่อนุญาตให้นำไปใช้ประโยชน์ด้านการค้า
ไม่ว่ากรณีใดๆ ทั้งสิ้น อีกทั้งห้ามมิให้ตัดแปลงเนื้อหาและต้องอ้างอิงถึงเจ้าของเอกสารทุกครั้งที่มีการนำไปใช้

บทคัดย่อ

ABSTRACT

	หน้า
บทที่1 บทนำ	1
1.1 หลักการทำงาน	1
บทที่2 ทฤษฎีพื้นฐานของ โครงงาน	3
2.1 ความรู้พื้นฐานการสื่อสารไร้สาย	3
2.2 ระบบคลื่นพาหะที่เป็นคลื่นวิทยุ	3
2.3 การมอดูเลชัน	3
2.4 การมอดูเลชันทางแอมพลิจูด	4
2.5 การมอดูเลชันทางความถี่	8
2.6 ความถี่ข้างเคียงและดัชนีการมอดูเลชัน	8
2.7 เครื่องส่งสัญญาณคลื่นวิทยุ	10
2.8 วงจรสร้างสัญญาณพาหะ	10
2.9 วงจรมอดูเลตสัญญาณ	10
2.10 วงจรขยาย	10
2.10.1 วงจรขยายคลาส A	10
2.10.2 วงจรขยายคลาส B	11
2.10.3 วงจรขยายคลาส AB	11
2.10.4 วงจรขยายคลาส C	11
2.11 วงจรอิมพีแดนซ์แมตชิ่ง	12
2.12 เครื่องรับสัญญาณ	12
2.12.1 ค่าซีเล็กทิวิตี	12
2.12.2 ค่าเซ็นซิวิตี	12
2.13 ชุดภาคกำเนิดสัญญาณและส่งสัญญาณ DTMF	13
2.13.1 การป้อนสัญญาณ	13
2.13.2 ลักษณะการกำเนิดสัญญาณ	13
2.13.3 ลักษณะการส่งสัญญาณ	14
2.14 ไอซีถอดรหัสความถี่โทรศัพท์	15

2.14.1	ไอซีถอดความถี่โทรศัพท์	15
2.14.2	คุณสมบัติไอซี MT 8870	15
2.14.3	การนำ MT 8870 ไปใช้งาน	15
2.14.4	โครงสร้าง ไอซี MT 8870	15
2.15	การเชื่อมโยงทางแสง	16
2.15.1	ทรานซิสเตอร์คัพเปลอร์	18
2.15.2	คาร์ลิงตันทรานซิสเตอร์คัพเปลอร์	19
2.15.3	ออปโตคัพเปลอร์ที่ใช้สวิตช์สองทางหรือไตรแอก	19
2.15.4	ออปโตคัพเปลอร์ที่ใช้ SCR ที่ถูกกระตุ้นด้วยแสง	19
2.16	การประยุกต์ใช้งาน ในการนำไปใช้ควบคุมโหลด	20
บทที่3	การสร้างและการคำนวณ	22
3.1	แนวความคิด	22
3.2	ภาคถอดรหัส DTMF	22
3.3	ภาค ON-OFF PASSWORD	23
3.4	ภาคควบคุมสัญญาณ	24
3.5	ภาคแปลงรหัสเลขฐานสิบหกเป็นฐานสิบ	24
3.6	ภาคกำเนิดสัญญาณรีเซ็ต	25
3.7	ภาค LATCH OUTPUT SIGNAL	26
3.8	ภาคเอาท์พุทขับโหลด	26
3.9	วงจรภาคส่ง	30
3.10	วงจรภาครับ	30
บทที่4	การทดลองและผลการทดลอง	33
บทที่5	บทสรุปและวิจารณ์	40
	ภาคผนวก	

สารบัญรูป

	หน้า
รูปที่ 1.1 บล็อกไดอะแกรมหูดภาคส่ง	1
รูปที่ 1.2 บล็อกไดอะแกรมหูดภาครับ	1
รูปที่ 2.1 แสดงสัญญาณข้อมูลสัญญาณพาหะและสัญญาณผลลัพธ์จากการมอดูเลต	4
รูปที่ 2.2 สัญญาณแอมปริจูดมอดูเลชันในแกนความถี่	6
รูปที่ 2.3 แสดงแถบความถี่สัญญาณ FM	9
รูปที่ 2.4 แสดงกลุ่มความถี่ของวงจรกำเนิดสัญญาณ โทรศัพท์	13
รูปที่ 2.5 ภาคกำเนิดสัญญาณ DTMF	14
รูปที่ 2.6 โครงสร้างไอซี MT 8870	16
รูปที่ 2.7 ออปโตคัพเปลอร์แบบทั่วๆ ไป	17
รูปที่ 2.8 (ก) แสงที่เกิดขึ้นหลังจากมีการไบแอสตรงไหลผ่าน (ข) อิเล็กตรอนส่วนเกินขั้วมรยต่อ ไปรวมกับ โสไลพร้อมปล่อยแสงออกมา	18
รูปที่ 2.9 ออปโตแบบทรานซิสเตอร์คัพเปลอร์	18
รูปที่ 2.10 ออปโตแบบคาร์ดิงตันทรานซิสเตอร์คัพเปลอร์	19
รูปที่ 2.11 ออปโตแบบไดรแอกคัพเปลอร์	19
รูปที่ 2.12 ออปโตแบบ SCR คัพเปลอร์	19
รูปที่ 2.13 วงจรที่ใช้ควบคุมกำลังงานของไฟฟ้ากระแสสลับที่มีค่าไม่สูงนัก	20
รูปที่ 2.14 วงจรที่ใช้ควบคุมกำลังงานของไฟฟ้ากระแสสลับที่มีค่าสูงๆ	20
รูปที่ 3.1 บล็อกไดอะแกรมการทำงานของเครื่องควบคุมระยะไกล	22
รูปที่ 3.2 วงจรภาคถอดรหัส DTMF	23
รูปที่ 3.3 วงจรภาค ON-OFF PASSWORD	24
รูปที่ 3.4 วงจรภาคควบคุมสัญญาณ	24
รูปที่ 3.5 ภาคถอดรหัสเลขฐานสิบหกเป็นฐานสิบ	25
รูปที่ 3.6 วงจรภาคกำเนิดสัญญาณรีเซต	25
รูปที่ 3.7 ภาค LATCH OUTPUT SIGNAL	26
รูปที่ 3.8 วงจรควบคุมโดยใช้ตัวควบคุมทางแสง	27
รูปที่ 3.9 วงจรภาคส่ง	28
รูปที่ 3.10 วงจรภาครับ	29
รูปที่ 3.11 วงจรเข้ารหัสควบคุม	31
รูปที่ 3.12 วงจรภาคขับโหลด	32
รูปที่ 4.1 สัญญาณคลื่นพาหะวัดที่เสาอากาศภาคส่ง 27 MHz	33

เอกสารนี้เป็นเอกสารที่สงวนไว้สำหรับการใช้งานเพื่อการศึกษาเท่านั้น ไม่อนุญาตให้นำไปใช้ประโยชน์ด้านการค้า
ไม่ว่ากรณีใดๆ ทั้งสิ้น อีกทั้งห้ามมิให้ตัดแปลงเนื้อหาและต้องอ้างอิงถึงเจ้าของเอกสารทุกครั้งที่มีการนำไปใช้

รูปที่ 4.2 สัญญาณที่เสาอากาศเมื่อกดเป็นโทรศัพท์เบอร์ 0	34
รูปที่ 4.3 สัญญาณที่เสาอากาศเมื่อกดเป็นโทรศัพท์เบอร์ *	34
รูปที่ 4.4 สัญญาณที่เสาอากาศเมื่อกดเป็นโทรศัพท์เบอร์ #	35
รูปที่ 4.5 สัญญาณที่เสาอากาศเมื่อกดเป็นโทรศัพท์เบอร์ 6	35
รูปที่ 4.6 สเปกตรัมคลื่นพาหะ 27 MHz	36
รูปที่ 4.7 สเปกตรัมคลื่นพาหะ 27 MHz พร้อมความถี่ทั้งสองด้าน	37
รูปที่ 4.8 สเปกตรัมคลื่นพาหะ 27 MHz พร้อมความถี่ข้างเคียงด้านความถี่สูง	37
รูปที่ 4.9 รูปสเปกตรัมเมื่อกดเป็นโทรศัพท์หมายเลข 6	38
รูปที่ 4.10 รูปสเปกตรัมเมื่อกดเป็นโทรศัพท์หมายเลข 0	38
รูปที่ 4.11 รูปสเปกตรัมเมื่อกดเป็นโทรศัพท์หมายเลข 0 และขยายให้กว้างขึ้น	39
รูปที่ 5.1 การต่อวงจรสนับเปอร์ป้องกันตัวไดรแอกถูกรบกวน	41



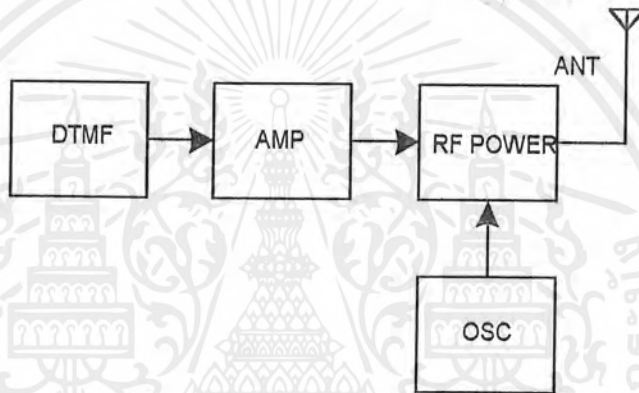
บทที่ 1

บทนำ

โครงการนี้เป็นกรออกแบบสร้างระบบควบคุมระยะไกล ที่สามารถนำไปใช้ควบคุมอุปกรณ์ไฟฟ้าต่างๆ ได้หลายชนิด โดยจะใช้คลื่นวิทยุ 27 MHz เป็นสื่อในการนำคำสั่งหรือสัญญาณความถี่โทรศัพท์ (Dual Tone Multi - frequency : DTMF)

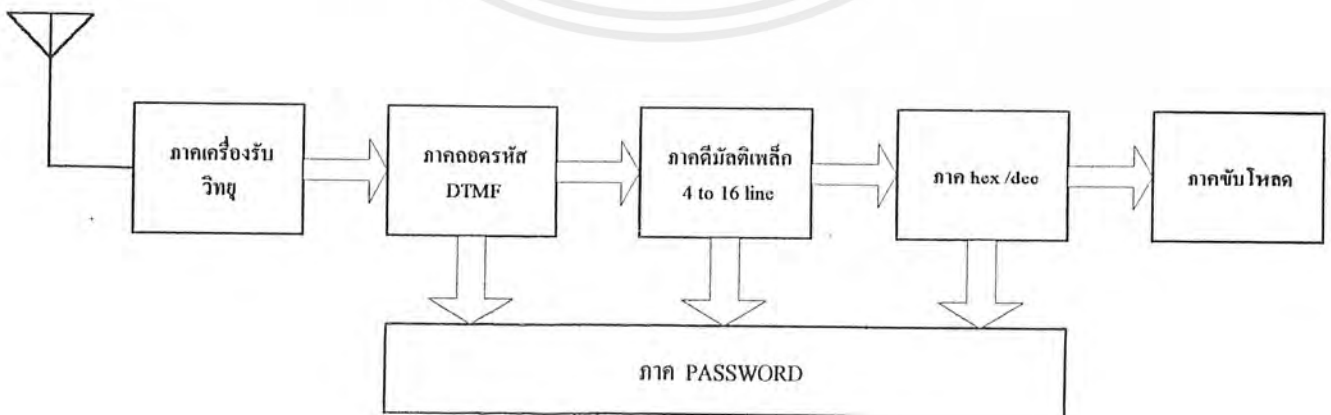
1.1 หลักการทำงาน

โครงการนี้จะประกอบด้วยส่วนประกอบหลัก 2 ส่วน คือ ชุดภาคส่งและชุดภาครับ ดังรูปที่ 1.1



รูปที่ 1.1 บล็อกไดอะแกรมชุดภาคส่ง

ในการทำงานชุดภาคส่งจะทำการสร้างสัญญาณความถี่โทรศัพท์ (DTMF) ตามหมายเลขจากแป้นกด ซึ่งจะได้ความถี่ผลรวมของกลุ่มความถี่สูงและความถี่ต่ำหนึ่งค่า ออกมาจากไอซีกำเนิดสัญญาณความถี่โทรศัพท์ ซึ่งสัญญาณที่ได้นี้จะถูกนำไปมอดูเลตกับความถี่คลื่นพาหะความถี่ 27 MHz ที่ภาคเครื่องส่ง เพื่อส่งออกอากาศต่อไป



รูปที่ 1.2 บล็อกไดอะแกรมชุดภาครับ

เอกสารนี้เป็นเอกสารที่สงวนไว้สำหรับนักเรียนเพื่อการศึกษาเท่านั้น ไม่อนุญาตให้นำไปใช้ประโยชน์ด้านการค้าไม่ว่ากรณีใดๆ ทั้งสิ้น อีกทั้งห้ามมิให้ตัดแปลงเนื้อหาและต้องอ้างอิงถึงเจ้าของเอกสารทุกครั้งที่มีการนำไปใช้

การทำงานในส่วนภาครับนั้น เมื่อได้รับเอาสัญญาณคลื่นวิทยุเข้ามาแล้วจะทำการตีมอดคูเลต เพื่อแยกสัญญาณความถี่โทรศัพท์ออกมา และนำสัญญาณความถี่โทรศัพท์ที่ได้นั้นไปถอดรหัส โดยใช้ไอซีถอดรหัสสัญญาณความถี่โทรศัพท์ (ไอซีเบอร์ MT 8870) จะได้เอาที่พูดออกมาเป็นสัญญาณดิจิทัลของเลขฐานสอง (Binary code decimal) ขนาด 4 บิต และสัญญาณดิจิทัลทั้ง 4 บิตนี้จะถูกนำไปแปลงเป็นสัญญาณเลขฐานสิบ ซึ่งเอาที่พูดที่ได้นี้จะตรงกับหมายเลขที่ส่งมาจากทางด้านชุดภาคส่ง ต่อจากนั้น จึงนำสัญญาณเลขฐานที่ได้นี้ ไปออกแบบเพื่อนำไปขับ โหลดต่อไป และเพื่อเป็นการ ป้องกันสัญญาณความถี่เดียวกันไม่ให้สามารถเข้ามา ควบคุมโหลดได้ จึงทำการออกแบบ PASSWORD ป้องกัน



เอกสารนี้เป็นเอกสารที่สงวนไว้สำหรับการใช้งานเพื่อการศึกษาเท่านั้น ไม่อนุญาตให้นำไปใช้ประโยชน์ด้านการค้าไม่ว่ากรณีใดๆ ทั้งสิ้น อีกทั้งห้ามมิให้ตัดแปลงเนื้อหาและต้องอ้างอิงถึงเจ้าของเอกสารทุกครั้งที่มีการนำไปใช้

ทฤษฎีและหลักการ

2.1 ความรู้พื้นฐานการสื่อสารไร้สาย

การทำควมเข้าใจระบบสื่อสาร ไร้สายควรที่จะทราบว่าสิ่งใดเป็นองค์ประกอบเบื้องต้นบ้าง ความคิดในครั้งแรกนั้นคงสงสัยว่าในเมื่อไม่มีสาย สิ่งใดบ้างที่เป็นตัวกลางสำหรับระบบ หากพิจารณาขึ้นไปในความคิดของวิธีการสื่อสารที่มนุษย์เคยใช้มาจะพบว่า มีรูปแบบการใช้พาหะในการสื่อสารเป็นหลักใหญ่ๆ อยู่สองรูปแบบ นั่นคือ

1. ระบบที่ใช้เป็นคลื่นวิทยุเป็นพาหะ (Radio Carrier) ได้แก่ ระบบโทรศัพท์เคลื่อนที่ ระบบวิทยุ-ติดตามตัว ระบบสื่อสารผ่านดาวเทียม ระบบวิทยุกระจายเสียง และระบบ คลื่นไมโครเวฟ
2. ระบบที่ใช้คลื่นแสงเป็นพาหะ (Light Carrier) ได้แก่ ระบบสื่อข้อมูลผ่านแสงอินฟราเรดที่นำไปประยุกต์ใช้เช่น ระบบ โลกออนไลน์เครือข่าย (LAN) ระบบสื่อสารผ่านแสงเลเซอร์อินฟราเรด

2.2 ระบบคลื่นพาหะที่เป็นคลื่นวิทยุ (Radio Carrier)

การสื่อสารด้วยคลื่นวิทยุ อาจเรียกได้ว่าเป็นการพัฒนาให้มนุษย์สามารถส่งข้อมูลหรือเสียงไปได้ไกล โดยไม่ต้องพึ่งสาย โดยธรรมชาติของคลื่นวิทยุเป็นคลื่นแม่เหล็กไฟฟ้า ขั้นตอนคือ มีการแพร่กระจายพลังงานคลื่นจากสายอากาศด้านผู้ส่ง ซึ่งคลื่นสามารถเดินทางได้เร็วเท่าความเร็วของแสง นั่นคือ 186,000 ไมล์ต่อวินาที หรือ 300,000,000 เมตรต่อวินาที เมื่อคลื่นเดินทางมาถึงสายอากาศด้านผู้รับ จะเกิดค่าความต่างศักย์ไฟฟ้าจำนวนน้อยๆ ค่าหนึ่ง ซึ่งหากมีการขยายและแปลงสัญญาณที่มีการส่งมา ก็จะ ได้สัญญาณเดิม กลับมา ส่วนข้อมูลข่าวสารหรือเสียงของมนุษย์นั้นไม่มีวิธีการก็คือ นำเสียงพูดรวมเข้าไปกับสัญญาณคลื่นวิทยุ ที่เป็นสื่ออีกช่วงความถี่หนึ่ง เราเรียกขั้นตอนดังกล่าวว่าการมอดูเลต (Modulation)

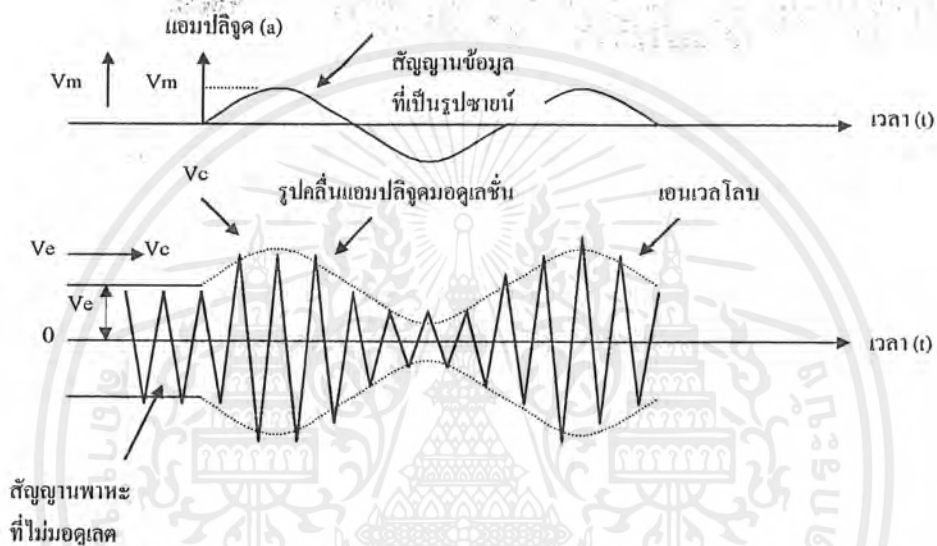
2.3 การมอดูเลชัน (Modulation Technique)

จากความต้องการติดต่อสื่อสารระยะไกล สัญญาณเสียงพูดของมนุษย์ซึ่งอยู่ในช่วงความถี่ต่ำที่มีความยาวคลื่นมาก หากต้องการส่งเสียงพูดออกไปในอากาศ ก็จำเป็นต้องใช้เสาอากาศที่มีขนาดสูงมาก ซึ่งไม่เหมาะสมและอาจมีสัญญาณรบกวนได้ง่าย จึงมีการคิดค้นเทคนิคที่จะทำให้เปลี่ยนความถี่ของเสียงพูดให้ไปอยู่ในอีกช่วงความถี่หนึ่งบนแถบความถี่ซึ่งเหมาะสมสำหรับการส่งออกอากาศ

การมอดูเลชันเป็นเทคนิคที่สำคัญ เป็นวิธีการเปลี่ยนรูปแบบของสัญญาณหนึ่ง (ในที่นี้คือ สัญญาณพาหะ Carrier) ให้เป็นไปตามรูปแบบของสัญญาณอีกชุดหนึ่งซึ่งเป็นข้อมูลหรือเสียงพูดที่ต้องการส่ง สัญญาณข้อมูลหรือเสียงพูดจะถูกเรียกว่ามอดูเลตติ้งซิกนัล (Modulating Signal) ส่วนสัญญาณจะถูกเรียกว่าแคริเออร์ (Carrier) หรือมอดูเลตเวฟ (Modulated Wave)

2.4 การมอดูเลชันทางแอมพลิจูด (Amplitude Modulation)

แอมพลิจูดมอดูเลชันเป็นวิธีการที่คิดค้นได้ก่อนในบรรดาเทคนิคการมอดูเลชันอื่น ๆ เป็น การนำสัญญาณ 2 ชุดมาผสมกัน โดยสัญญาณแรกเป็นข้อมูลหรือเสียงที่ต้องการส่ง สัญญาณที่สองเป็นสัญญาณพาหะ แอมพลิจูดมอดูเลชันเป็นการนำสัญญาณข้อมูลมาปรับเปลี่ยนขนาดแอมพลิจูดของสัญญาณพาหะ โดยที่ความถี่ของสัญญาณพาหะไม่มีการเปลี่ยนแปลง ในที่นี้สมมุติว่าสัญญาณข้อมูลที่ต้องการนำมาทำการมอดูเลชันมีความถี่ค่าหนึ่ง คือ f_s และสัญญาณข้อมูลที่เป็นพาหะมีความถี่อีกค่าหนึ่งคือ f_c ผลลัพธ์จากการมอดูเลชันจะเป็นดังรูป



รูปที่ 2.1 แสดงสัญญาณข้อมูล สัญญาณพาหะ และสัญญาณผลลัพธ์ที่ได้จากการมอดูเลต

จากรูป เส้นประซึ่งเกิดจากการต่อของแอมพลิจูดสัญญาณผลลัพธ์จะมีชื่อเรียกว่า เอนเวลโลป (Envelope) ซึ่งมีลักษณะเช่นเดียวกับคลื่นของ f_s

2.4.1 ลักษณะของสัญญาณที่ได้รับจากการทำแอมพลิจูดมอดูเลชัน

สัญญาณรูปซายน์นั้น โดยปกติจะสามารถอธิบายได้ด้วยสมการดังนี้

$$v = V \sin(2\pi f t)$$

เมื่อกำหนดให้

v_s = แอมพลิจูดสูงสุดของสัญญาณรูปซายน์ความถี่ f_s เป็นความต่างศักย์มีหน่วยเป็น โวลต์

v_c = แอมพลิจูดของสัญญาณรูปซายน์ความถี่ f_c เป็นความต่างศักย์มีหน่วยเป็น โวลต์

V_c = แอมพลิจูดสูงสุดของสัญญาณรูปซายน์ความถี่ f_c เป็นความต่างศักย์มีหน่วยเป็น โวลต์

t = เป็นเวลาใดๆ มีหน่วยเป็นวินาที

จะได้ว่าสัญญาณ

$$v_s = V_s \sin(2\pi f_s t)$$

$$v_c = V_c \sin(2\pi f_c t)$$

ข้อสังเกต

ค่าของแอมพลิจูดสูงสุดของความถี่สัญญาณข้อมูลไม่ควรที่จะมากกว่าแอมพลิจูดสูงสุดของความถี่สัญญาณพาหะ (Carrier) มิฉะนั้นจะเกิดการผิดเพี้ยนของสัญญาณข้อมูลได้ หลังจากทำการมอดูเลชัน หากค่าแอมพลิจูดของสัญญาณข้อมูลสูงกว่าของสัญญาณพาหะมากๆ จะเรียกได้ว่าเกิดการโอเวอร์มอดูเลชัน (Over-modulation) และความสัมพันธ์ของค่าความต่างศักย์ของสัญญาณทั้งสองนั้น มีการกำหนดขึ้นเรียกว่าดัชนีการมอดูเลต (Modulation Index) ซึ่งเป็นอัตราส่วนระหว่างค่าความต่างศักย์ของสัญญาณข้อมูลกับความต่างศักย์ของสัญญาณพาหะ ดังสมการข้างล่างนี้

$$m = V_s / V_c$$

ค่าของดัชนีการมอดูเลชัน จะอยู่ในช่วง $0 < m < 1$ เพราะหาก m มากกว่า 1 ก็จะทำให้เกิดการโอเวอร์มอดูเลชันขึ้น และนิยามคูณ 100 เข้าไปเพื่อแสดงค่าเป็นเปอร์เซ็นต์การมอดูเลชัน

จากรูปคลื่นผลลัพธ์ทำให้พอสรุปได้ว่า ค่าความต่างศักย์ที่เวลาใดๆ ของสัญญาณเกิดจากผลรวมของค่าแอมพลิจูดสูงสุดของสัญญาณพาหะกับค่าแอมพลิจูดที่เวลาใดๆ ของสัญญาณข้อมูล จะได้ค่าตาม สมการข้างล่างนี้

$$v_1 = V_c + v_s$$

$$v_1 = V_c + V_s \sin(2\pi f_s t)$$

ค่าของ v_1 เป็นค่าของแอมพลิจูดของสัญญาณผลลัพธ์ตามที่เรียกว่า เอนเวลโลป ดังนั้น สมการที่แสดงถึงรูปคลื่นผลลัพธ์คือ

$$v_2 = v_1 \sin(2\pi f_c t)$$

$$v_2 = [V_c + V_s \sin(2\pi f_s t)] \sin(2\pi f_c t)$$

$$= V_c \sin(2\pi f_c t) + V_s \sin(2\pi f_s t) \sin(2\pi f_c t)$$

หากพิจารณาจากสมการจะได้ว่า สัญญาณพาหะ + (สัญญาณข้อมูล x สัญญาณพาหะ)

นั่นคือส่วนแรกจะเป็นสัญญาณพาหะ และส่วนที่สองจะเป็นผลคูณของสัญญาณพาหะและสัญญาณข้อมูล ดังนั้นวงจรที่จะนำมาใช้สร้างแอมพลิจูดมอดูเลชันจะต้องเป็นวงจรคูณสัญญาณ มีชื่อเรียกวงจรสำหรับทำ AM ว่ามอดูเลเตอร์ (Modulator) และจากสูตรตรีโกณมิติที่ผลคูณของไซน์

$$\sin A \cdot \sin B = \cos \frac{1}{2}(A-B) - \cos \frac{1}{2}(A+B)$$

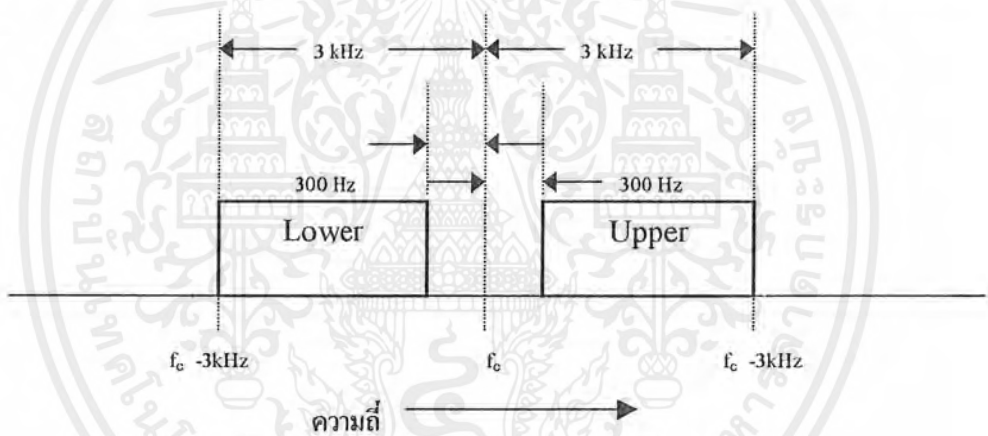
$$v_2 = V_c \sin(2\pi f_c t) + 1/2 V_s \cos 2\pi [f_c - f_s] t - 1/2 V_s \cos 2\pi [f_c + f_s] t$$

จากสมการข้างต้นชี้ให้เห็นว่า ผลที่ได้จากการทำแอมพลิจูดมอดูเลชันจะได้สัญญาณที่มีความถี่ใกล้เคียงกับสัญญาณพาหะ (Carrier) ออกมาด้วย เป็นสัญญาณที่มีความถี่ต่ำและสูงกว่าสัญญาณพาหะ เรียกว่า ไซด์แบนด์หรือ ไซด์ฟริแควนซี (Sidebands or Side Frequency)

$$f_{USB} = \text{Upper Sidebands Frequency} = (f_c + f_s)$$

$$f_{LSB} = \text{Lower Sidebands Frequency} = (f_c - f_s)$$

จากการวัดด้วยออสซิลโลสโคป (Oscilloscope) สัญญาณที่ได้จะไม่สามารถแยกได้ว่ามีความถี่ข้างเคียงเกิดขึ้นด้วย แต่ถ้าใช้เครื่องมือสเปกตรัมอะนาลิเซอร์ (Spectrum Analyzer) วิเคราะห์สัญญาณของแอมพลิจูดมอดูเลชัน จะได้รูปกราฟของฟริแควนซีโดเมน (Frequency Domain) ดังรูป



รูปที่ 2.2 สัญญาณแอมพลิจูดมอดูเลชันในแกนความถี่

จากรูปทำให้ทราบว่า สัญญาณที่ได้จากการมอดูเลชันจะมีความถี่ใกล้เคียงเกิดขึ้นด้วยทั้งด้านบนและด้านล่างของความถี่พาหะ และจะได้ว่า AM ใช้ความกว้างของแถบสัญญาณหรือที่เรียกว่าแบนด์วิธ (Bandwidth) เป็นจำนวนสองเท่าของความถี่สูงสุดของสัญญาณข้อมูล ถ้าหากสัญญาณข้อมูลมีความถี่ $f_s = 5 \text{ kHz}$ จะได้ว่าต้องใช้แบนด์วิธเท่ากับ 10 kHz สำหรับสัญญาณ AM

เมื่อพิจารณาถึงกำลัง (Power) ที่ส่งออกอากาศ จะประกอบด้วยกำลังของคลื่นพาหะบวกกับกำลังของคลื่นความถี่ข้างเคียงทั้งสองด้าน (Sidebands) เนื่องจากกำลังส่งของความถี่ข้างเคียงมีค่า ขึ้นอยู่กับค่าของดัชนีมอดูเลชัน (m : Modulation Index) และค่าของกำลังส่งของไซด์แบนด์มีค่าดังนี้

$$P_{LSB} = P_{USB} = P_c (m)^2 / 4$$

- เมื่อ P_C = ค่ากำลังส่งของสัญญาณพาหะ
- P_{LSB} = ค่ากำลังส่งของสัญญาณด้านที่ต่ำกว่าสัญญาณพาหะ
- P_{USB} = ค่ากำลังส่งของสัญญาณด้านที่สูงกว่าสัญญาณพาหะ

จากสมการของกำลังข้างต้นทำให้ทราบว่า ยิ่งเปอร์เซ็นต์มอดูเลชันยิ่งสูงมากเท่าใด กำลังส่งของสัญญาณข้างเคียงก็จะยิ่งสูงมากขึ้น ทำให้การรับและการส่งสัญญาณดีขึ้น

แม้ว่า AM จะมีความง่ายและได้ผลที่ดีวิธีหนึ่ง แต่เป็นการส่งสัญญาณที่ไม่ค่อยมีประสิทธิภาพ หากพิจารณาจากกำลังส่งทั้งหมด เมื่อ P_t = กำลังส่งสัญญาณทั้งหมด

$$P_t = P_C + P_{LSB} + P_{USB}$$

$$P_t = P_C + P_C(m)^2/4 + P_C(m)^2/4$$

ที่ $m=1$ หรือ 100% มอดูเลชันจะได้สัญญาณ ไซด์แบนด์ที่มีกำลังสูงสุด

$$P_t = P_C + P_C/2$$

หากกำลังส่งของสัญญาณพาหะเป็น 100 วัตต์ กำลังส่งของสัญญาณไซด์แบนด์จะมีค่า 50 วัตต์ จากผลรวมทั้งหมด 150 วัตต์ ซึ่งเป็นสัญญาณข้อมูลเพียง 50 วัตต์ มีการสูญเสียไปกับกำลังส่งของสัญญาณพาหะถึง 2 ใน 3 ของพลังงานทั้งหมด โดยที่ไม่มีข้อมูลใดๆ อยู่ในสัญญาณนี้เลย ด้วยสาเหตุข้างต้นจึงมีการลดหรือเอาสัญญาณพาหะออกไปซึ่งเรียกว่าการซบเพรสชัน (Suppression) ทำให้สัญญาณที่ได้มีเฉพาะสัญญาณไซด์แบนด์ สัญญาณ AM ที่มีการเอาสัญญาณพาหะออก เรียกว่า ดับเบิลไซด์แบนด์ซบเพรสแคร์เรียร์ (Double sideband suppressed carrier : DSSC หรือ DSB) วงจรที่ใช้ในการสร้างสัญญาณ DSB เรียกว่าบาลานซ์มอดูเลเตอร์ (Balanced Modulator) ด้วยการใช้ DSB จะทำให้กำลังถูกใส่ลงในสัญญาณ Sideband ได้มากขึ้น และหากพิจารณาต่อไปอีกจะพบว่าสัญญาณ ข้อมูลนั้นมีอยู่ข้างกันทั้งความถี่ด้านบน (Upper Sideband) และความถี่ด้านล่าง (Lower Sideband) จึงมีการคิดค้นให้ส่งสัญญาณเพียงสัญญาณข้างเคียงด้านเดียว เรียกว่าซิงเกิลไซด์แบนด์ซบเพรสแคร์เรียร์ (Single Sideband Suppressed Carrier : SSSC หรือ SSB) เมื่อมีการใช้สัญญาณเพียงข้างเดียว ทำให้สามารถประหยัดการครอบครองแถบความถี่ (Spectrum) ไปได้ครึ่งหนึ่ง จากเดิมที่สัญญาณ AM ต้องการใช้ทั้ง DSB และ SSB มีประสิทธิภาพที่มากกว่าในแง่ของกำลังส่งที่ใช้ เนื่องจากมีการ ประหยัดกำลังส่งของสัญญาณพาหะ ทำให้สามารถนำกำลังส่งไปใส่เพิ่มในไซด์แบนด์ได้

สิ่งที่เกี่ยวข้องกับการมอดูเลชันทางความถี่อีกเรื่องหนึ่งคือ ฟริควนซีคอนเวอร์ชัน (Frequency Conversion) เป็นการแปลงสัญญาณข้อมูลหรือเสียงพูดไปยังความถี่ที่สูงหรือต่ำกว่า ในขณะที่ยังคงรักษาข้อมูลเบื้องต้นไว้ทั้งหมด เป็นเพียงการเลื่อนความถี่ไปเท่านั้น ในการแปลงความถี่ให้สูงขึ้นนั้น มีการใช้งานในการส่งสัญญาณออกอากาศ ส่วนการแปลงความถี่ให้ต่ำลงนั้น มักมีใช้ในเครื่องรับวิทยุ เพื่อทำให้สามารถสามารถเลือกช่องสัญญาณ (Selectivity) ได้สะดวกขึ้น และเพิ่มค่ากำลังขยาย (Gain)

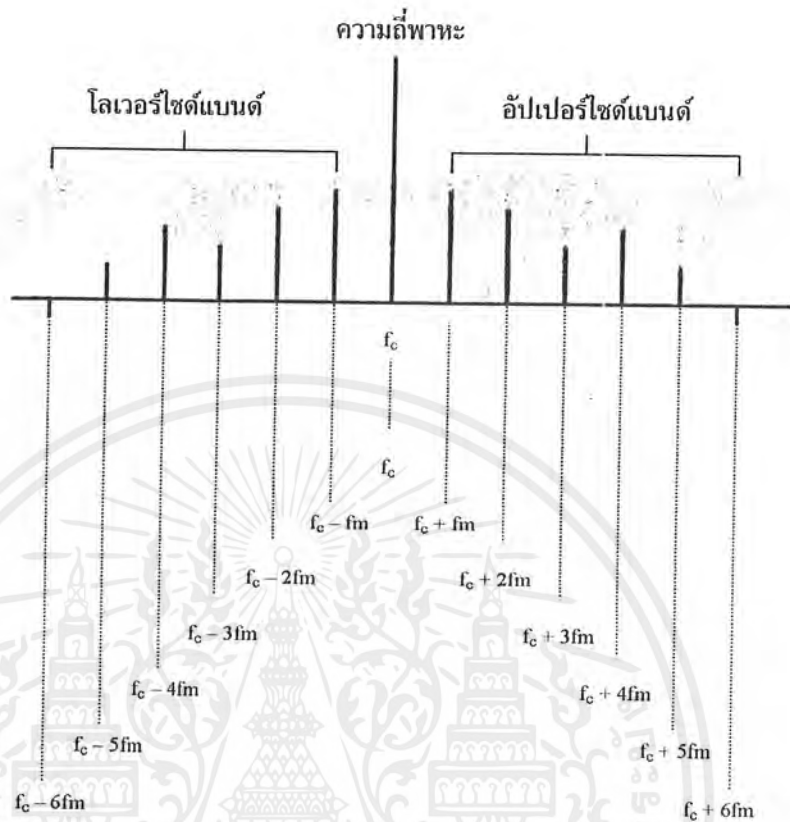
ให้สูงขึ้น ซึ่งฟรีควอนซ์คอนเวอร์ชันก็เป็นรูปแบบหนึ่งของแอมพลิฟิเคชัน และกระทำได้โดยใช้ วงจรที่เรียกว่ามิกเซอร์ (Mixer) ในอุปกรณ์บางชนิด มิกเซอร์หมายถึงตัวแปลง (Converter) และฟังก์ชันการทำงานของมิกเซอร์เรียกว่า เฮตเทอโรไดน์นิง (Heterodyning)

2.5 การมอดูเลชันทางความถี่ (Frequency Modulation)

เป็นการเปลี่ยนความถี่ของสัญญาณพาหะตามการเปลี่ยนแปลงของสัญญาณข้อมูล โดยที่ค่าแอมพลิจูดของสัญญาณยังคงที่ การเปลี่ยนความถี่ของสัญญาณพาหะจะมีความสัมพันธ์กับค่าแอมพลิจูดของสัญญาณ ข้อมูล เช่น เมื่อสัญญาณข้อมูลมีแอมพลิจูดสูง สัญญาณพาหะก็จะมีความถี่สูงขึ้นด้วย ขณะที่ไม่มีสัญญาณข้อมูลเข้ามาทำการมอดูเลตสัญญาณพาหะจะมีความถี่คงที่ค่าหนึ่ง ซึ่งเรียกว่า เซนเตอร์ฟรีควอนซ์ (Center Frequency) เมื่อมีสัญญาณข้อมูลเข้ามาก็จะทำให้เกิดความถี่เปลี่ยนแปลงสูงขึ้น ถูกเรียกว่าค่าความถี่เบี่ยงเบน (Frequency Deviation) ค่าสูงสุดของความถี่เบี่ยงเบนจะเกิดขึ้นเมื่อสัญญาณข้อมูลมีแอมพลิจูดสูงสุด ความถี่ของสัญญาณข้อมูล จะเป็นตัวกำหนดให้ทราบถึงจำนวนครั้งในหนึ่งวินาทีที่เกิดการเบี่ยงเบนความถี่ขึ้น ไปสูงและต่ำกว่าค่าความถี่กลาง และอัตราดังกล่าวถูกเรียกว่าอัตราความถี่เบี่ยงเบน (Frequency Deviation Rate) ความถี่ของสัญญาณข้อมูลจะมีผลต่ออัตราการเบี่ยงเบนทางความถี่ดังกล่าว แต่จะไม่มีผลต่อปริมาณของความถี่เบี่ยงเบนไปจากค่าความถี่กลาง ซึ่งขึ้นอยู่กับแอมพลิจูดของสัญญาณข้อมูลเท่านั้น

2.6 ความถี่ข้างเคียงและดัชนีการมอดูเลชัน

ในการมอดูเลตทางความถี่จะทำให้เกิดความถี่ข้างเคียงขึ้น เป็นความถี่ของผลรวมและผลต่างของสัญญาณพาหะและสัญญาณข้อมูล ตามทฤษฎีแล้วจะเกิดคู่ของความถี่ข้างเคียงขึ้นเป็นจำนวนอนันต์คู่ ทั้งด้านบนและด้านล่างของความถี่กลาง ทำให้สัญญาณที่ถูกมอดูเลตทางความถี่มีการใช้งานแถบความถี่ (Spectrum) มากกว่าสัญญาณที่มอดูเลตทางแอมพลิจูด



รูปที่ 2.3 แสดงแถบความถี่ของสัญญาณ FM

จากรูปจะเห็นว่า แถบความถี่ของสัญญาณมอดูเลตทางความถี่ โดยทั่วไปที่สัญญาณพาหะถูกมอดูเลตด้วยสัญญาณรูปไซน์ที่มีความถี่เดียว จะเห็นว่าความถี่ข้างเคียงจะเว้นระยะห่างจากสัญญาณความถี่พาหะและความถี่ข้างเคียงด้วยกันเป็นระยะเท่าๆ กันเท่ากับความถี่สัญญาณข้อมูล และแอมพลิจูดของสัญญาณข้างเคียง ไม่เท่ากัน หากสมมุติว่าสัญญาณความถี่ข้างเคียงต่างๆ เป็นสัญญาณรูปไซน์ที่มีความถี่และแอมพลิจูดเฉพาะตัว เมื่อนำมารวมกันจะได้ผลลัพธ์เป็นสัญญาณที่ถูกมอดูเลตทางความถี่นั่นเอง

ลักษณะต่างๆ ของจำนวนความถี่ข้างเคียง ขนาดแอมพลิจูดของความถี่ข้างเคียง และระยะห่างระหว่างความถี่จะขึ้นอยู่กับค่าเบี่ยงเบนความถี่และความถี่ของสัญญาณข้อมูล แม้ว่าสัญญาณมอดูเลตชั้นทางความถี่จะมีความถี่ข้างเคียงจำนวนอนันต์ แต่ความถี่ข้างเคียงที่มีแอมพลิจูดสูงเพียงพอเท่านั้นจึงจะถือว่าเป็นสัญญาณที่มีข้อมูลอยู่ โดยปกติสัญญาณที่มีแอมพลิจูดต่ำกว่า 1 เปอร์เซ็นต์ของสัญญาณพาหะที่ยังไม่ถูกมอดูเลต จะถือว่าเป็นไม่มีความสำคัญ

จากความสัมพันธ์ข้างต้น ทำให้เกิดอัตราส่วนระหว่างค่าเบี่ยงเบนความถี่กับความถี่ของสัญญาณข้อมูล ซึ่งเรียกว่าดัชนีการมอดูเลต (Modulation Index : m)

$$m = f_d / f_m$$

เอกสารนี้เป็นเอกสารที่สงวนไว้สำหรับการใช้งานเพื่อการศึกษาเท่านั้น ไม่อนุญาตให้นำไปใช้ประโยชน์ด้านการค้าไม่ว่ากรณีใดๆ ทั้งสิ้น อีกทั้งห้ามมิให้ตัดแปลงเนื้อหาและต้องอ้างอิงถึงเจ้าของเอกสารทุกครั้งที่มีการนำไปใช้

เมื่อ f_d = ค่าความถี่เบี่ยงเบน
 f_m = ความถี่ของสัญญาณข้อมูล

ค่าเบี่ยงเบนความถี่และค่าความถี่ของสัญญาณข้อมูลมักจะใช้ค่ามากที่สุด เพื่อนำมาคำนวณดัชนีการมอดูเลต และนอกจากนั้นค่าดัชนีดังกล่าวก็ถูกเรียกว่าอัตราการเบี่ยงเบนด้วย

สัญญาณที่ถูกมอดูเลตทางความถี่ (FM) จะใช้แถบความถี่กว้างเท่าใดก็ขึ้นอยู่กับดัชนีการมอดูเลต หากค่าดัชนีการมอดูเลตมากก็จะใช้แถบความถี่กว้างมาก ดังนั้นสามารถประหยัดแถบความถี่ได้ด้วยการจำกัด ค่าของดัชนีการมอดูเลต

แถบความถี่กว้างของความถี่ (Bandwidth) = $2 f_m$ x จำนวนของความถี่ข้างเคียงที่สำคัญ

2.7 เครื่องส่งสัญญาณคลื่นวิทยุ (Radio Transmitters)

จุดเริ่มต้นของการส่งคลื่นวิทยุ นั้น ประกอบด้วยการสร้างสัญญาณที่เป็นสื่อหรือพาหะที่เรียกว่าแครีเออร์-เจเนอเรชัน (Carrier generation) นำสัญญาณมอดูเลตกับสัญญาณข้อมูลหรือเสียง แล้วจึงทำการขยายสัญญาณเพื่อส่งออกไปยังสายอากาศหรือตัวนำคลื่นเป็นสัญญาณความถี่วิทยุ (RF)

2.8 วงจรสร้างสัญญาณพาหะ (Carrier Generator)

โดยส่วนมากจะเป็นวงจรคริสตัลออสซิลเลเตอร์ (Crystal Oscillator) ซึ่งจะให้สัญญาณความถี่ที่ต้องการได้ที่ยังตรงและมีเสถียรภาพดี โดยส่วนมากมักมีการต่อวงจรขยายแบบบัฟเฟอร์เข้าไปเพื่อแยกวงจรออสซิลเลเตอร์ออกจากโหลด เป็นการป้องกันการเปลี่ยนความถี่เนื่องจากค่าโหลดของวงจรรอออสซิลเลเตอร์ มีการเปลี่ยนแปลงไป

2.9 วงจรมอดูเลตสัญญาณ (Modulator)

ทำการแปลงคุณสมบัติของสัญญาณพาหะให้มีลักษณะตามการเปลี่ยนแปลงของข้อมูลหรือเสียงพูดที่ต้องการส่ง

2.10 วงจรขยาย (Amplifier)

เป็นการขยายสัญญาณในรูปแบบต่างๆ ในขั้นตอนที่ต่างกัน สำหรับวงจรขยายมีการจัดออกเป็น หลายแบบมีการเรียกเป็นคลาส (Class) ตามวิธีการไบแอสวงจรขยาย ดังนี้

2.10.1 วงจรขยายคลาสเอ (Class A)

เป็นวงจรขยายที่ต่อทรานซิสเตอร์แบบที่มีการไบแอสให้วงจรทรานซิสเตอร์มีกระแสไหลผ่านขาคอลเลกเตอร์ (Collector) หรือที่เรียกว่ากระแสแตรน (Drain Current) ตลอดเวลา เป็นวงจรขยายเอกสารนี้เป็นเอกสารที่สงวนไว้สำหรับการใช้งานเพื่อการศึกษาเท่านั้น ไม่อนุญาตให้นำไปใช้ประโยชน์ทางการค้าไม่ว่ากรณีใดๆ ทั้งสิ้น อีกทั้งห้ามมิให้ตัดแปลงเนื้อหาและต้องอ้างอิงถึงเจ้าของเอกสารทุกครั้งที่มีการนำไปใช้

แบบเชิงเส้น (Linear Amplifier) เนื่องจากสัญญาณที่ได้ในขาออกเป็นสัดส่วนโดยตรงกับสัญญาณ ขาเข้า แต่วงจรคลาสิกก็เป็นวงจรขยายที่ไม่ค่อยมีประสิทธิภาพ เนื่องจากวงจรมีการขยายสัญญาณ โดยการทำงานตลอดทุกคลื่นสัญญาณเข้านับเข้า หรือที่เรียกว่าครบ 360 องศา ดังนั้นวงจรขยาย คลาสิกจึงไม่เหมาะที่จะเป็นวงจรขยายกำลัง (Power Amplifier) เพราะ โดยปกติมักใช้ในวงจรขยาย ชั้นต้นที่มีสัญญาณความถี่ต่ำหรือวงจรขยายกำลังต่ำ (Low - power Amplifier) ตัวอย่างเช่น วงจรขยายแบบบัฟเฟอร์ (Buffer Amplifier)

2.10.2 วงจรขยายคลาสิกบี (Class B)

เป็นวงจรขยายที่ต่อทรานซิสเตอร์แบบที่มีการไบแอสให้ทรานซิสเตอร์อยู่ในช่วงคัตออฟ (Cutoff) เป็นสภาวะที่ไม่มีกระแสไหล โดยปกติเมื่อไม่มีสัญญาณขาเข้าก็จะไม่มีกระแสไหลที่ขา คอลเลคเตอร์ ทรานซิสเตอร์จะทำงานนำกระแสเพียงช่วงครึ่งลูกของสัญญาณขาเข้าที่ต้องการขยาย จึงมีการต่อวงจรแบบที่เรียกว่าพุชแอนด์พูล (Push and Pull) โดยใช้วงจรขยายคลาสิกบีสองชุด ทำงานทั้งในช่วงสัญญาณบวกและสัญญาณลบสลับต่อเนื่องกันไป วงจรขยายคลาสิกบีมีประสิทธิภาพดีกว่าวงจรขยายคลาสิกเอ เนื่องจากการไหลของกระแส จะเกิดเพียงช่วงหนึ่งของสัญญาณเท่านั้น ซึ่งเหมาะสำหรับวงจรขยายกำลัง แต่สัญญาณที่ได้ก็ยังมี ความเพี้ยนชนิดรูปแบบ (Distortion) ดังนั้นจึงมีการต่อวงจรขยายแบบพุชแอนด์พูลเพื่อลดความเพี้ยนของสัญญาณด้วย

2.10.3 วงจรขยายคลาสิกเอบี (Class AB)

เป็นวงจรขยายที่มีการไบแอสทรานซิสเตอร์ให้อยู่ในช่วงที่เกือบจะคัตออฟ จึงมีกระแสไหลที่ขาคอลเลคเตอร์เพียงเล็กน้อย ทำให้เมื่อมีสัญญาณขาเข้ามาถึงก็จะทำงานในช่วงของสัญญาณที่มากกว่า 180 องศาแต่ไม่ถึง 360 องศาของลูกคลื่นขาเข้า และก็มีมีการต่อใช้ในรูปของวงจรขยายแบบพุชแอนด์พูลเช่นเดียวกับคลาสิกบี ซึ่งทำให้มีความเพี้ยนของสัญญาณน้อยกว่าในคลาสิกบี นั่นคือมีความเป็นเชิงเส้นมากกว่าแต่ยังมีประสิทธิภาพน้อยกว่าในแบบคลาสิกบี

วงจรขยายในแบบคลาสิกเอ คลาสิกบี และคลาสิกเอบี เป็นวงจรขยายเชิงเส้นที่มักใช้ในการขยายสัญญาณคลื่นวิทยุที่มีการเปลี่ยนแปลงแอมพลิจูด เช่น วงจรขยาย AM แบบกำลังต่ำหรือแบบซิงเกิลไซด์แบนด์ (SSB) วงจรขยายแบบไม่เชิงเส้น เช่น วงจรขยายคลาสิกซี (Class C) ที่เป็นวงจรซึ่งใช้มากในเครื่องส่งแบบ AM และ FM สำหรับการขยายกำลังในรูปของวงจรขับ (Driver) วงจรคูณความถี่ และวงจรขยายภาคสุดท้าย

2.10.4 วงจรขยายคลาสิกซี (Class C)

เป็นวงจรทรานซิสเตอร์ที่ถูกไบแอสที่ทำให้มีการนำสัญญาณเพียงส่วนที่น้อยกว่า 180 องศาของลูกคลื่นขาเข้า วิธีการไบแอสทรานซิสเตอร์สำหรับคลาสิกซีมีอยู่ด้วยกัน 3 วิธี คือ ไบแอสด้วยสัญญาณ (Signal Bias) ไบแอสด้วยวงจรภายนอก (External Bias) และไบแอสด้วยตนเอง (Self Bias)

เอกสารนี้เป็นเอกสารที่สงวนไว้สำหรับการใช้งานเพื่อการศึกษาเท่านั้น ไม่อนุญาตให้นำไปเผยแพร่บนสื่อออนไลน์
ไม่ว่ากรณีใดๆ ทั้งสิ้น อีกทั้งห้ามมิให้ตัดแปลงเนื้อหาและต้องอ้างอิงถึงเจ้าของเอกสารทุกครั้งที่มีการนำไปใช้

นั้นออกมาที่ขาออก ดังนั้น การทำให้มีสัญญาณขยายเต็มลูกคลื่นจะต้องมีการนำวงจรเรโซแนนซ์ (Resonant Tuned Circuit) มาต่อที่ขาออกเพื่อที่จะได้สัญญาณลูกคลื่นขยายเต็มลูกคลื่น ที่เหนือกว่า คลาสอื่นๆ ก็คือคลาสซีที่มีการขยายสัญญาณขาเข้าเพียงช่วงสั้นๆ เท่านั้น ดังนั้นจึงมีประสิทธิภาพที่ดีที่สุดในการขยายทั้งหมด

2.11 วงจรอิมพีแดนซ์แมตชิ่ง (Impedance Matching Circuit)

เป็นวงจรที่ใช้สำหรับเชื่อมต่อระหว่างวงจรขยายความถี่วิทยุ (RF amplifier) ในแต่ละภาค เพื่อให้ได้กำลังส่งที่มากที่สุด การที่จะทำให้มีการถ่ายพลังงานมากที่สุดจากวงจรขยายชุดหนึ่งไปยังอีกชุดหนึ่ง จะต้องมีความอิมพีแดนซ์ของวงจรแรกเท่ากับค่าอิมพีแดนซ์ขาเข้าของวงจรถัดไป วงจรอิมพีแดนซ์แมตชิ่งโดยทั่วไปเป็นวงจรของตัวนำและตัวเก็บประจุ LC (Inductors and Capacitors) ที่มีรูปแบบการต่อต่างๆ กัน เช่น โครงข่ายรูป L และโครงข่ายรูป T หรืออาจจะเป็นหม้อแปลงรูปโดนัทที่เป็นแกนผงเหล็กเรียกว่าทอรอยด์ (Toroid)

2.12 เครื่องรับสัญญาณ (Communications Receivers)

หน้าที่ของเครื่องรับสัญญาณคือทำการเลือกช่องสัญญาณที่ต้องการออกมาจากสัญญาณอื่นๆ ที่ถูกส่งออกมาในอากาศและขยายสัญญาณกลับไปเป็นสัญญาณข้อมูลที่ส่งมาได้ โดยปกติเครื่องรับจะมีปัจจัย 2 ประการที่ต้องคำนึงถึง ดังนี้

2.12.1 ค่าซีเล็กติวิตี (Selectivity)

หมายถึง ความสามารถในการรับสัญญาณ โดยเลือกเอาเฉพาะช่องสัญญาณที่ต้องการเข้ามา เท่านั้น หากค่าเครื่องรับสัญญาณมีค่าซีเล็กติวิตีที่ดีก็จะสามารถรับสัญญาณช่องที่ต้องการและกำจัด ช่องสัญญาณข้างเคียงออกไปได้

2.12.2 ค่าเซนซิวิตี (Sensitivity)

หมายถึง ความสามารถในการรับสัญญาณที่ต้องการที่มีขนาดเล็กหรือสัญญาณอ่อนแล้วนำมาขยายให้ได้สัญญาณที่มีความแรงมากขึ้น โดยปกติค่าเซนซิวิตีจะแสดงถึงการขยายสัญญาณด้วย นั่นคือ ยิ่งมีกำลังขยายมาก ค่าเซนซิวิตีก็ยิ่งดี และจะแสดงอยู่ในรูปของค่าแรงดันของสัญญาณขาเข้า ที่มีขนาดเล็กที่สุดซึ่งจะสามารถขยายสัญญาณได้มากกว่า 10 เท่าของสัญญาณรบกวน

2.13 ชุดภาคกำเนิดสัญญาณและส่งสัญญาณ DTMF

2.13.1 ลักษณะการป้อนสัญญาณ

ระบบนี้เรียกว่าระบบ 4 x 4 ในระบบนี้สัญญาณประกอบด้วย การรวมความถี่ 2 ค่า ที่เลือกมาจากความถี่ 2 กลุ่ม (กลุ่มความถี่สูงและกลุ่มความถี่ปกติ) ซึ่งในแต่ละกลุ่มมีความถี่ตัวเลข และ โด้ด ดังแสดงในรูปที่ 2.4

ความถี่ (Hz)	กลุ่มความถี่สูง (K2)		
	H1 1209	H1 1336	H3 1477
L1 697	1	2	3
L2 770	4	5	6
L3 852	7	8	9
L4 941	*	0	#

รูปที่ 2.4 แสดงกลุ่มความถี่ของวงจรถักกำเนิดสัญญาณ โทรศัพท์

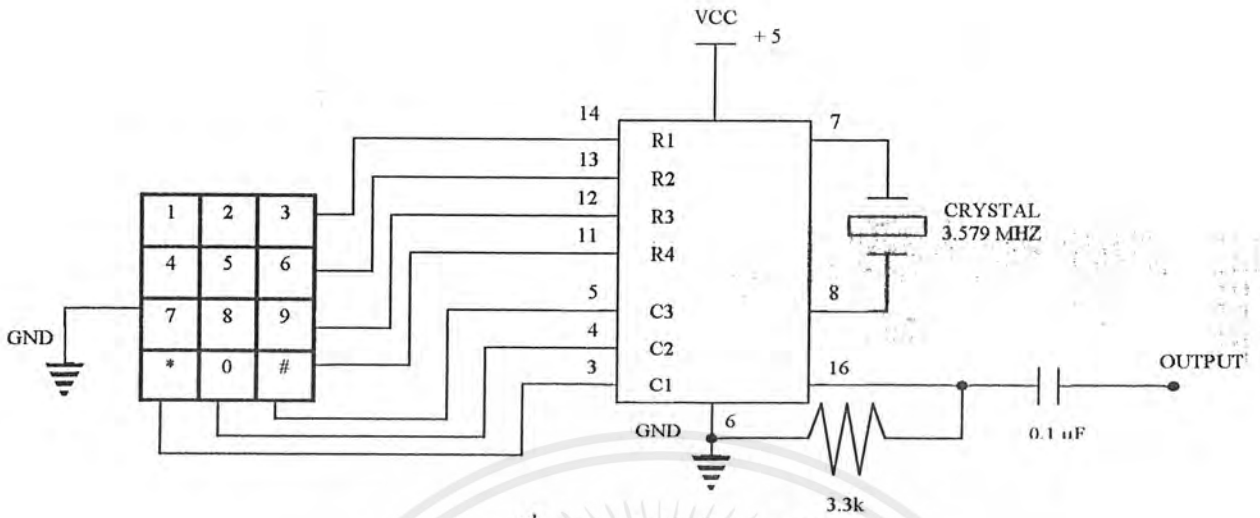
ส่วนที่อยู่ภายในเส้นประเป็นวงจรถักหน้าปัทม์ (dial circuit) K1, K2 เป็นสวิตช์ที่ทำงานด้วยการกดปุ่มบนหน้าปัทม์และประกอบเข้าด้วยกัน ดังต่อไปนี้

การจัดปุ่มกดมีลักษณะดังแสดงในตาราง สวิตช์ 4 ตัวของ K1 จัดไว้ตรงกับแถวทั้ง 4 และสวิตช์ 3 ตัวของ K2 จัดไว้ตรงกับคอลัมน์ทั้ง 3 ตัวอย่างเช่น เมื่อกดปุ่ม 5 คอนแทก ระหว่าง 1-4 และระหว่าง 1-14 จะสัมผัสกัน และเมื่อกดปุ่ม 0 คอนแทกระหว่าง 1-2 และระหว่าง 11-14 จะสัมผัสกัน

2.13.2 ลักษณะการกำเนิดสัญญาณ

โดยใช้ไอซีเบอร์ TCM 5089 ซึ่งเป็นไอซี DTMF (Dual Tone Multi Frequency) ที่ต่อกับ Key Board 3x4 โดยมี X-TAL ขนาด 3.579 MHz เป็นตัวกำเนิดความถี่อ้างอิงให้กับไอซี เมื่อกด ปุ่มใด ปุ่มหนึ่ง ไอซีจะผลิตความถี่ 2 ความถี่ออกมาที่เอาต์พุตที่ขา 16 และพร้อมกันนั้น ขา 10 จะเป็น Logic High ตลอดเวลาที่กดปุ่ม เมื่อกดปุ่มขา 10 จะกลับเป็น Logic Low และ สัญญาณเอาต์พุตที่ขา 16 จะหายไป

เอกสารนี้เป็นเอกสารที่สงวนไว้สำหรับการใช้งานเพื่อการศึกษาเท่านั้น ไม่อนุญาตให้นำไปเผยแพร่บนสื่อออนไลน์โดยไม่ได้รับอนุญาต หากมีข้อผิดพลาดประการใด ขออภัยไว้ล่วงหน้า



รูปที่ 2.5 ภาคกำเนิดสัญญาณ DTMF

Key	ความถี่ต่ำ (Hz)	ความถี่สูง (Hz)
1	697	1209
2	697	1336
3	697	1477
4	770	1209
5	770	1336
6	770	1477
7	852	1209
8	852	1336
9	852	1477
*	941	1209
0	941	1336
#	941	1477

ตารางที่ 2.1 แสดงความสัมพันธ์ระหว่างปุ่มที่กดกับความถี่เอาต์พุต

2.13.3 ลักษณะการส่งสัญญาณ

สัญญาณความถี่ 2 ความถี่ที่ถูกผลิตออกจากไอซี DTMF ที่เอาต์พุตขาที่ 16 จะถูกนำไปต่อ เข้ากับอินพุตของเครื่องส่งวิทยุ (Transmitter) เครื่องส่งก็จะทำการมอดูเลต (Modulate) สัญญาณ จากนั้นก็จะส่งออกเป็นคลื่นวิทยุออกอากาศไป

2.14 ไอซีถอดรหัสความถี่โทรศัพท์ (Integrated DTMF Receiver)

2.14.1 ไอซีถอดรหัสความถี่โทรศัพท์

การถอดรหัสความถี่โทรศัพท์ หมายถึง การแปลงสัญญาณความถี่ ซึ่งเกิดจากการกดปุ่ม ตัวเลขของโทรศัพท์ชนิดกดปุ่ม (ชนิด Tone หรือ DTMF) ให้เป็นระบบตัวเลขทางดิจิทัล ซึ่งไอซี MT8870 ใช้แปลงความถี่ DTMF ให้เป็นเลขฐานสองขนาด 4 บิต

สมัยก่อน การออกแบบวงจรถอดรหัสความถี่โทรศัพท์มักใช้ไอซีจังก์ชันเฟลต้อคลูป ซึ่งสร้างปัญหาในการทำงานมากมาย เช่น เรื่องความถี่ที่เปลี่ยนแปลงไป การปรับแต่งวงจร ขนาดของไอซีที่ใหญ่เพราะต้องใช้ไอซีจังก์ชันเป็นต้น ปัจจุบัน ด้วยเทคโนโลยีขั้นสูง จึงมีหลายบริษัทที่ผลิตไอซีเบอร์ MT8870

2.14.2 คุณสมบัติของ MT8870

- เป็นตัวรับ และถอดรหัสความถี่ (DTMF Receiver)
- กินไฟน้อย ใช้ไฟเลี้ยงระดับเดียวกับ TTL
- สามารถตั้งอัตราขยายภายในตัวไอซีได้
- สามารถปรับการ์ด ไทม์ (Guard Time)
- เป็น ไอซีคุณภาพสูง

2.14.3 การนำ MT8870 ไปใช้งาน

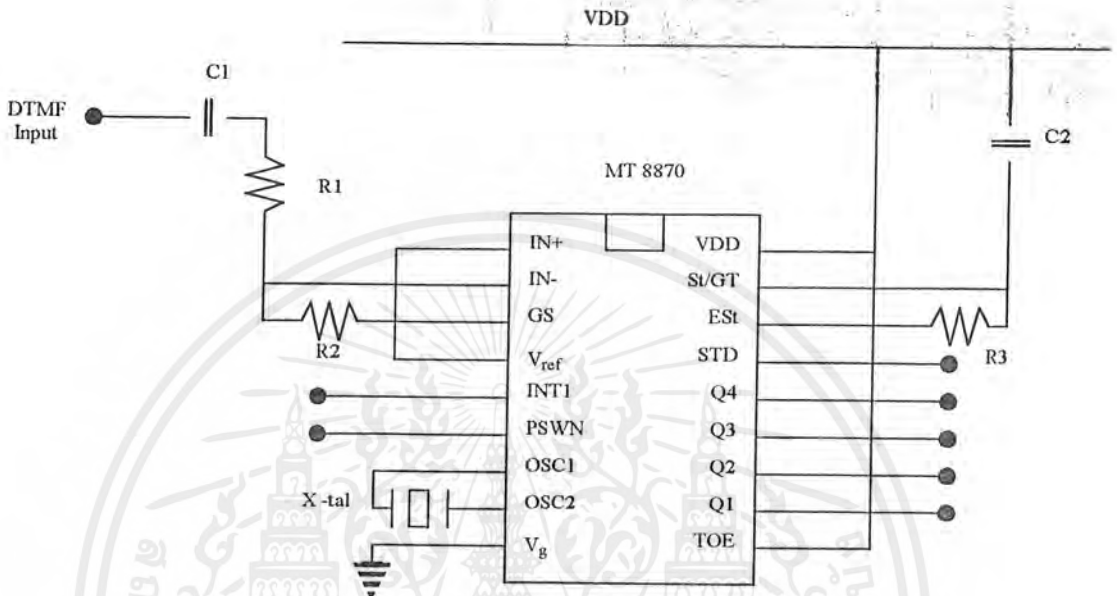
- นำไปใช้งานด้านรีโมทคอนโทรล (Remote Control)
- เครื่องป้องกันโทรศัพท์ทางไกล
- ใช้งานเกี่ยวกับเครดิตการ์ด
- ใช้งานร่วมกับคอมพิวเตอร์
- ใช้ในเครื่องชุมสายขนาดเล็ก หรือ PABX
- เครื่องกันขโมย
- การควบคุมอุปกรณ์ทางโทรศัพท์

2.14.4 โครงสร้างของ MT8870

โครงสร้างภายในของ MT8870 ประกอบไปด้วยวงจรกรองความถี่และวงจรถอดรหัสฟังก์ชันทางดิจิทัล เป็นไอซีที่สร้างขึ้นโดยใช้เทคโนโลยี ISO-CMOS ในส่วนวงจรกรองความถี่ ใช้เทคนิคของสวิทช์คาปาซิเตอร์ฟิลเตอร์ (Switch capacitor filter) สำหรับกรองความถี่สูงและกรองความถี่ต่ำ ส่วนวงจรถอดรหัสใช้เทคนิคการนับทางดิจิทัล เพื่อตรวจจับและถอดรหัสทั้ง 16 ความถี่ออกเป็นเลข

เอกสารนี้เป็นเอกสารที่สงวนไว้สำหรับการใช้งานเพื่อการศึกษาเท่านั้น ไม่อนุญาตให้นำไปใช้ประโยชน์ด้านการค้าไม่ว่ากรณีใดๆ ทั้งสิ้น อีกทั้งห้ามมิให้ตัดแปลงเนื้อหาและต้องอ้างอิงถึงเจ้าของเอกสารทุกครั้งที่มีการนำไปใช้

ฐานสองขนาด 4 บิต และเซ็คช่วงเวลาที่สำคัญเข้ามา ส่วนภาคอินพุทเป็นออปแอมป์ ซึ่งสามารถปรับอัตราขยายได้โดยค่ออุปกรณ์ภายนอกเอาท์พุทเป็นวงจรถเลข 3 สถานะ รูปที่ 2.6 แสดง โครงสร้างของไอซี MT8870



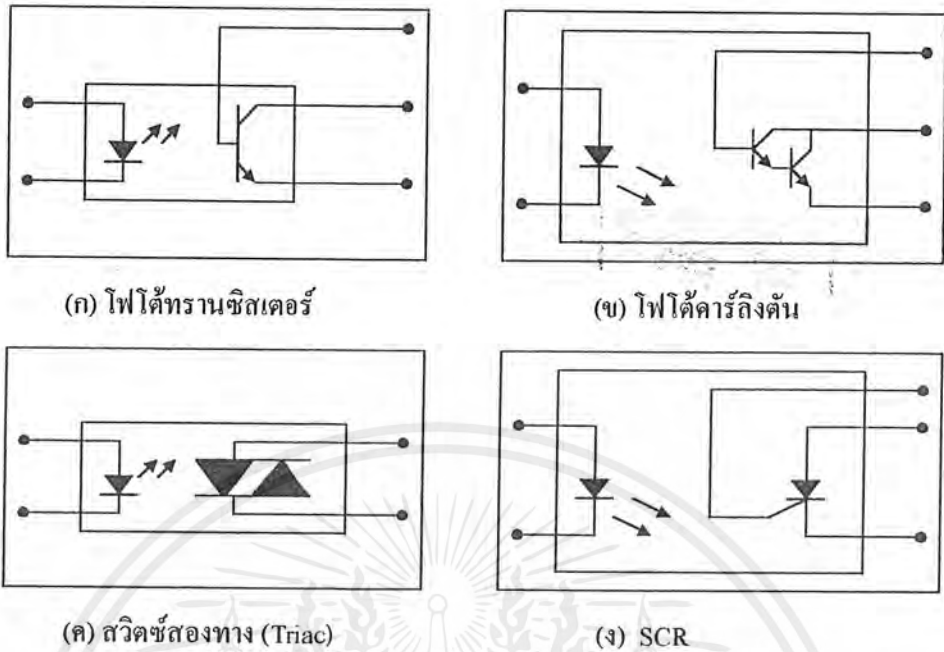
รูปที่ 2.6 โครงสร้างไอซี MT8870

2.15 การเชื่อมโยงทางแสง

ตัวเชื่อมโยงทางแสง (Optocoupler) หรือตัวแยกโดยใช้แสง (Optoisolator) เป็นอุปกรณ์ที่มีคุณสมบัติพิเศษหลายประการ เช่น คุณสมบัติในการไอโซเลท (Isolate) ทำให้สามารถนำมาใช้ในการเชื่อมโยงสัญญาณต่างๆ ของวงจรมีกรวดค้ต่างกัน สามารถป้องกันการรบกวนซึ่งกันและกันระหว่างภาคอินพุทกับเอาท์พุทได้อย่างเด็ดขาดซึ่งการค้ปล้ถึงด้วยวิธีอื่นๆ จะทำไม่ได้ จึงได้นำเอาออปโด้ค้ทเปลอร์มาประยุกต์ใช้ในวงจรถเพื่อประสิทธิภาพและความน่าเชื่อถือของวงจรถ

ออปโด้ค้ทเปลอร์เป็นอุปกรณ์เดี่ยวที่ประกอบด้วยแหล่งกำเนิดแสงและตัวตรวจจับแสง โดยที่ทั้งสองส่วนนี้จะแยกจากกันและกัน มีฉนวนที่โปร่งใส เช่น กระดาษบางๆ ค้้น และชิ้นส่วนทั้งหมดจะถูกบรรจุในตัวถังทึบแสง รูปร่างภายนอกมีอยู่หลายแบบ แต่ที่พบบ่อยๆ ส่วนมากเป็นแบบดิพ (DIP : Dual In-Line Package) เหมือนไอซีแต่มี 6 ขา แหล่งกำเนิดแสงส่วนใหญ่จะใช้ไดโอดเปล่งแสงอินฟราเรด (IRED : Infrared Emitter Diode) ทำจากสารแกเลียมอาร์เซไนด์ (GaAs) ส่วนตัวตรวจจับหรืออุปกรณ์ภาคเอาท์พุทนั้นอาจจะเป็นโฟโด้ทรานซิสเตอร์ โฟโด้คร้ลิ่งตัน สวิตช์สองทิศทาง (Triac) ซึ่งทำงานเมื่อมีแสงมากระตุ้น และ SCR ที่ถูกกระตุ้นด้วยแสง เป็นต้น รูปที่ 2.7 แสดงสัญลักษณ์ของวงจรถชนิดต่างๆ ดังที่กล่าวมาแล้วข้างต้น

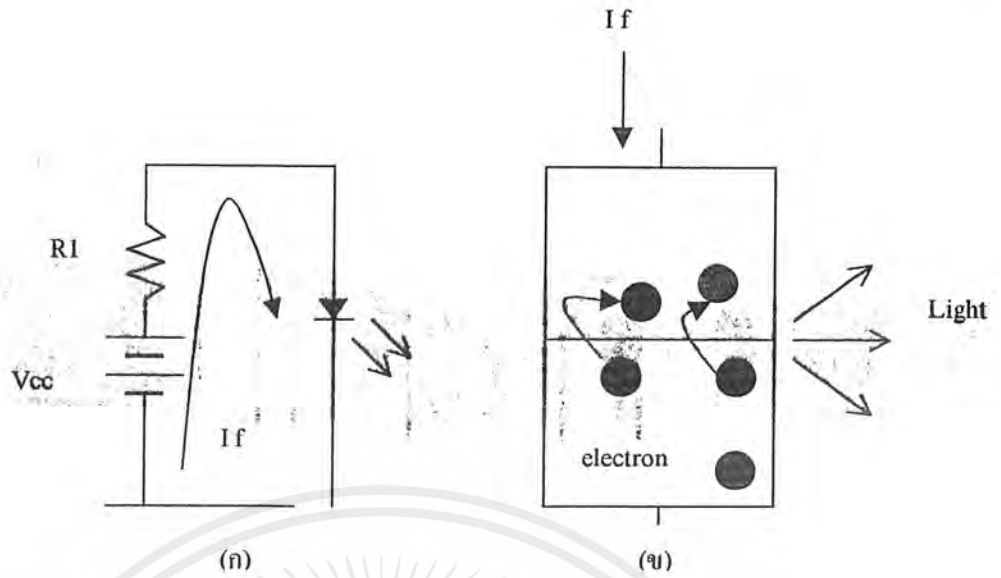
เอกสารนี้เป็นเอกสารที่สงวนไว้สำหรับการใช้งานเพื่อการศึกษาเท่านั้น ไม่อนุญาตให้นำไปใช้ประโยชน์ด้านการค้าไม่ว่ากรณีใดๆ ทั้งสิ้น อีกทั้งห้ามมิให้ดัดแปลงเนื้อหาและต้องอ้างอิงถึงเจ้าของเอกสารทุกครั้งที่มีการนำไปใช้



รูปที่ 2.7 ออปโตคัพเปลอร์แบบต่างๆ ไป

ออปโตคัพเปลอร์หรือออปโตไอโซเลเตอร์ ใ้รับการออกแบบไว้ให้ทำการป้องกันอุปกรณ์อิเล็กทรอนิกส์ไม่ให้ได้รับแรงดันกระชากสูงๆ หรือคัมครองระดับนอยส์ (noise) ต่ำๆ ซึ่งเป็นต้นเหตุให้เกิดเอาท์พุทไม่ถูกต้อง หรือทำให้เกิดคลื่นผิดปกติขึ้นมา ออปโตคัพเปลอร์เป็นอุปกรณ์ที่สามารถเชื่อมต่อกับอุปกรณ์ ตัวอื่นๆ ที่มีระดับลอจิกต่างกัน ในออปโตคัพเปลอร์สัญญาณอินพุทจะถูกเปลี่ยนเป็นพลังงานแสง เพราะมี LED ที่อยู่ภายใน พลังงานจึงถูกส่งไปยังโฟโตดีเทคเตอร์ ดังนั้นมันจึงทำงานตรงกับพลังงานของแสงที่ได้จาก LED และมีสเปคตามอัตราส่วนการส่งผ่านกระแส (CTR) กับ Isolation Voltage CTR เป็นอัตราส่วนระหว่าง กระแสอินพุทต่อกระแสเอาท์พุท ซึ่งเป็นการวัดความสามารถของออปโตคัพเปลอร์ในเรื่องความสามารถให้ สัญญาณอินพุทถูกส่งไปยังเอาท์พุทอย่างมีประสิทธิภาพ ซึ่งจะขึ้นอยู่กับประสิทธิภาพของ IRED ช่องว่าง ระหว่างชิ้นส่วนทางอินพุทและเอาท์พุทรวมทั้งพื้นที่ความไว (Sensitivity) และอัตราขยายของตัวตรวจจับ สำหรับ Isolation Voltage ของออปโตคัพเปลอร์ คือ ปริมาณแรงดันที่ออปโตคัพเปลอร์สามารถทำงานได้ อย่างปลอดภัย

เมื่อมีกระแสไหลผ่าน IRED ของออปโตคัพเปลอร์ในลักษณะไบแอสตรง จนมีอิเล็กตรอนส่วนเกิน กระโดดข้ามรอยต่อไปรวมกับโฮล ในขณะที่เดียวกันก็ได้ปล่อยพลังงานโฟตอนหรือแสงออกมา ดังรูปที่ 2.8 (ก) และ (ข) แสงที่ได้เป็นแสงอินฟราเรด เพราะสารกึ่งตัวนำทำด้วยสารแกลเลียม อาร์เซไนด์

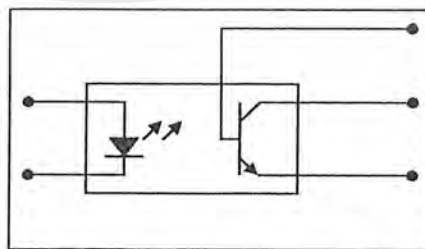


รูปที่ 2.8 (ก) แสงที่เกิดขึ้นหลังจากมีกระแสไบแอสตรงไหลผ่าน
 (ข) อิเล็กตรอนส่วนเกินข้ามรอยต่อไปรวมกับโฮลพร้อมกับเปล่งแสง ออกมา

ตัวแปรอินพุททางด้านไฟฟ้ากระแสตรง เป็นตัวกำหนดตัวแปรทางด้านไฟฟ้าของไดโอดเปล่งแสงอินฟราเรด (IRED) ได้แก่ กระแสไดโอด เมื่อได้รับไบแอสตรง (I_f) แรงดันคั่นคร่อมไดโอด เมื่อได้รับไบแอสตรง (V_f) และแรงดันสูงสุดที่ทนได้เมื่อได้รับไบแอสกลับ (V_r) เนื่องจากตัวแปรเอาต์พุททางด้านไฟฟ้ากระแสตรง และตัวแปรส่งถ่าย (Transfer parameter) นั้นจะแตกต่างกัน โดยขึ้นอยู่กับชนิดของชั้นส่วนที่เป็นตัวตรวจจับที่ใช้ ออกไปคือฟิล์มเปลวซึ่งมีรายละเอียดแตกต่างกันขึ้นอยู่กับตัวตรวจจับนั้นๆ

2.15.1 ทรานซิสเตอร์คัพเลอร์ (Transistor Coupler)

อุปกรณ์ประเภทนี้ได้รับความนิยมมากที่สุด มีความไวระดับกลาง มีราคาถูก ตรงจุดเชื่อมต่อภายในระหว่างคอลเลกเตอร์-เบส (Collector-Base) ของทรานซิสเตอร์สามารถเอาสายมาต่อข้างนอกให้ทำหน้าที่เป็นโฟโต้ไดโอด ซึ่งมีความเร็วในการทำงานสูงยิ่งไปกว่าเดิม

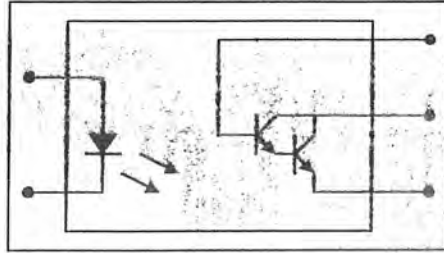


รูปที่ 2.9 ออปโตแบบทรานซิสเตอร์คัพเลอร์

2.15.2 คาร์ลิงตันทรานซิสเตอร์คัพเลอร์ (Darlington Transistor Coupler)

เอกสารนี้เป็นเอกสารที่สงวนไว้สำหรับการใช้งานเพื่อการศึกษาเท่านั้น ไม่นิยมนำไปใช้ประโยชน์ด้านการค้าไม่ว่ากรณีใดๆ ทั้งสิ้น อีกทั้งห้ามมิให้ตัดแปลงเนื้อหาและต้องอ้างอิงถึงเจ้าของเอกสารทุกครั้งที่มีการนำไปใช้

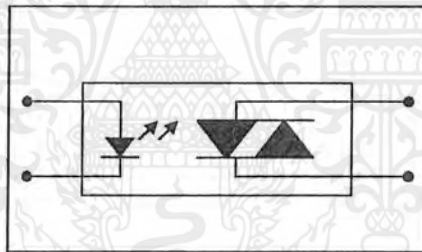
อุปกรณ์ประเภทนี้ ให้อัตราส่วนการส่งกระแสหรือมีเกนการขยายสูง สามารถให้กระแส เอาท์พุทเพิ่มขึ้น ซึ่งจะ ได้เกนการขยายสูงเป็น 10 เท่า แต่มีความเร็วในการทำงานช้ากว่า 10 เท่าของ การใช้ทรานซิสเตอร์ตัวเดียว



รูปที่ 2.10 ออปโตไดแบบคาร์ลิงตันทรานซิสเตอร์คัพเปลอร์

2.15.3 ออปโตคัพเปลอร์ที่ใช้สวิตช์สองทิศทางหรือ ไตรแอก (Triac)

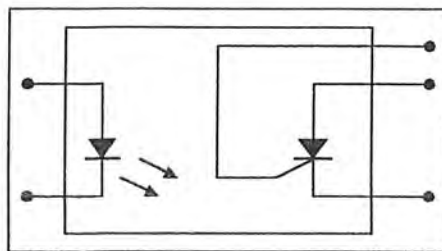
ทำงานเมื่อมีแสงมากระตุ้นเป็นภาคเอาท์พุท ถูกออกแบบมาสำหรับใช้ในงานซึ่งต้องการ การแยกการทรักหรือกระตุ้น ในตัวไตรแอก การแยกสวิตช์ทางด้านไฟฟ้ากระแสสลับที่มีขนาดกระแส ต่ำ และการแยกทางไฟฟ้ามีค่าสูง



รูปที่ 2.11 ออปโตไดแบบไตรแอกคัพเปลอร์

2.15.4 ออปโตคัพเปลอร์ที่ใช้ SCR ที่ถูกกระตุ้นด้วยแสง

ถูกออกแบบมาสำหรับใช้งานที่ต้องการแยกกันทางไฟฟ้าที่มีค่าสูงระหว่างวงจรด้านแรงดันต่ำ ซึ่งใช้ไอซี และทางด้านไฟฟ้ากระแสสลับแรงดันสูง

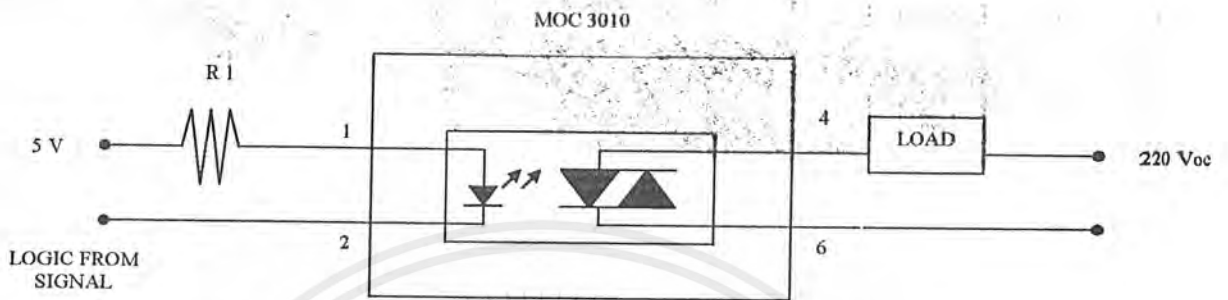


รูปที่ 2.12 ออปโตไดแบบ SCR คัพเปลอร์

2.16 การประยุกต์ใช้งานในการนำไปใช้ควบคุมโหลด

เอกสารนี้เป็นเอกสารที่สงวนไว้สำหรับการใช้งานเพื่อการศึกษาเท่านั้น ไม่อนุญาตให้นำไปใช้ประโยชน์ด้านการค้า ไม่ว่าจะกรณีใดๆ ทั้งสิ้น อีกทั้งห้ามมิให้ตัดแปลงเนื้อหาและต้องอ้างอิงถึงเจ้าของเอกสารทุกครั้งที่มีการนำไปใช้

ในโครงการนี้ได้นำเอาออปโตแบบไครแอคทีฟเปลดอร์มาใช้ควบคุมโหลดที่เป็นไฟสลับ 220 โวลต์ แทนการใช้รีเลย์และการควบคุมปราจากข้อยุ่งยากเหมือนวงจรที่ออกแบบโดยใช้รีเลย์ ดังนั้น จึงขอกล่าวถึง เฉพาะการนำเอาออปโตแบบไครแอคมาประยุกต์ใช้งานเท่านั้น



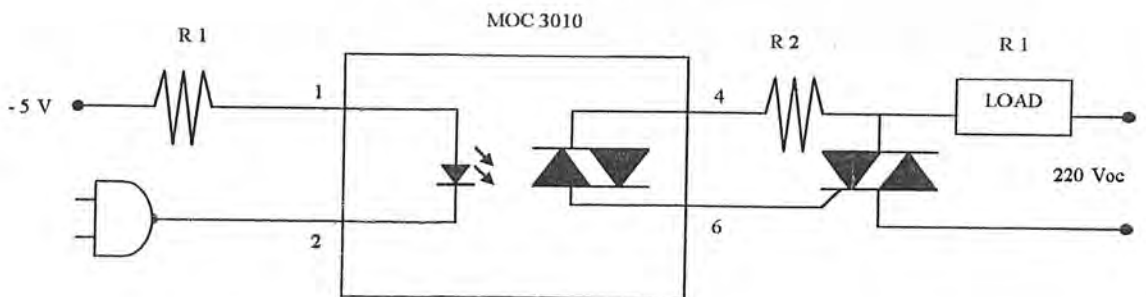
รูปที่ 2.13 วงจรที่ใช้ควบคุมกำลังงานของไฟฟ้ากระแสสลับที่มีค่าไม่สูงนัก

รูปที่ 2.13 แสดงการใช้ MOC 3010 ในการเป็นสวิตช์ปิด-เปิด กระแสผ่านโหลดที่ต้องการกำลังงาน จากไฟฟ้ากระแสสลับเพียงเล็กน้อย เมื่อเอาท์พุทจากลอจิกเกิดมีค่าเป็นลอจิก “0” กระแสจะไหลผ่านไดโอด เปล่งแสงอินฟราเรดที่อยู่ภายในถ้ำค่า I_f มีค่าเท่ากับ I_{ft} เอาท์พุทของสวิตช์สองทิศทางจะถูกกระตุ้นให้นำ กระแส เนื่องจากสวิตช์สองทิศทางจะนำกระแสทั้งสองทิศทาง กำลังงานจะถูกป้อนเข้าสู่โหลดทั้งในระหว่าง ครึ่งไซเคิลบวกและครึ่งไซเคิลลบ และเมื่อเอาท์พุทของลอจิกเกิดซึ่งป้อนเข้าสู่ออปโตมีค่าเป็นลอจิก “1” และ กระแส I_f จะลดลงต่ำกว่ากระแสยึด (I_h) จะทำให้สวิตช์สองทิศทางหยุดนำกระแส

ค่าที่มากที่สุดของ R1 หาได้จาก

$$R1 = [V_{cc}(min) - V_f(max) - V_{o1}] / I_{ft}$$

โดยที่ V_f และ I_{ft} เป็นตัวแปรของออปโตที่ใช้ และ V_{o1} เป็นแรงดันเอาท์พุทลอจิก “0” ของ ลอ จิกเกิด และลอจิกเกิดจะต้องสามารถทนค่ากระแสซิงค์ (I_{ft}) ได้ โดยมีค่าเผื่อไว้เพื่อความ ปลอดภัย



รูปที่ 2.14 วงจรที่ใช้ควบคุมกำลังงานของไฟฟ้ากระแสสลับที่มีค่าสูง ๆ

เอกสารนี้เป็นเอกสารที่สงวนไว้สำหรับการใช้งานเพื่อการศึกษาเท่านั้น ไม่อนุญาตให้นำไปใช้ประโยชน์ด้านการค้า ไม่ว่ากรณีใดๆ ทั้งสิ้น อีกทั้งห้ามมิให้ตัดแปลงเนื้อหาและต้องอ้างอิงถึงเจ้าของเอกสารทุกครั้งที่มีการนำไปใช้

ออปโต้คัพเพลลอร์ MOC 3010 มีไครแอกขนาดเล็กเป็นเอาท์พุทสามารถทนกระแสไหลผ่านได้ 100 มิลลิแอมป์ ซึ่งน้อยเกินไปสำหรับการควบคุมไฟฟ้ากระแสสลับผ่านเครื่องใช้ไฟฟ้าทั่วไป แต่ก็เหมาะที่จะนำมาสร้างสัญญาณทริกเกอร์ไครแอกกำลังงานสูงภายนอกวงจร ดังรูปที่ 2.14 เอาท์พุทของ ออปโต้คัพเพลลอร์ MOC 3010 ป้อนเข้าสู่เกตของไครแอกกำลังงานสูง ไครแอกภายนอกจะต้องเลือกให้ทนกำลังงานได้พอสำหรับโหลด

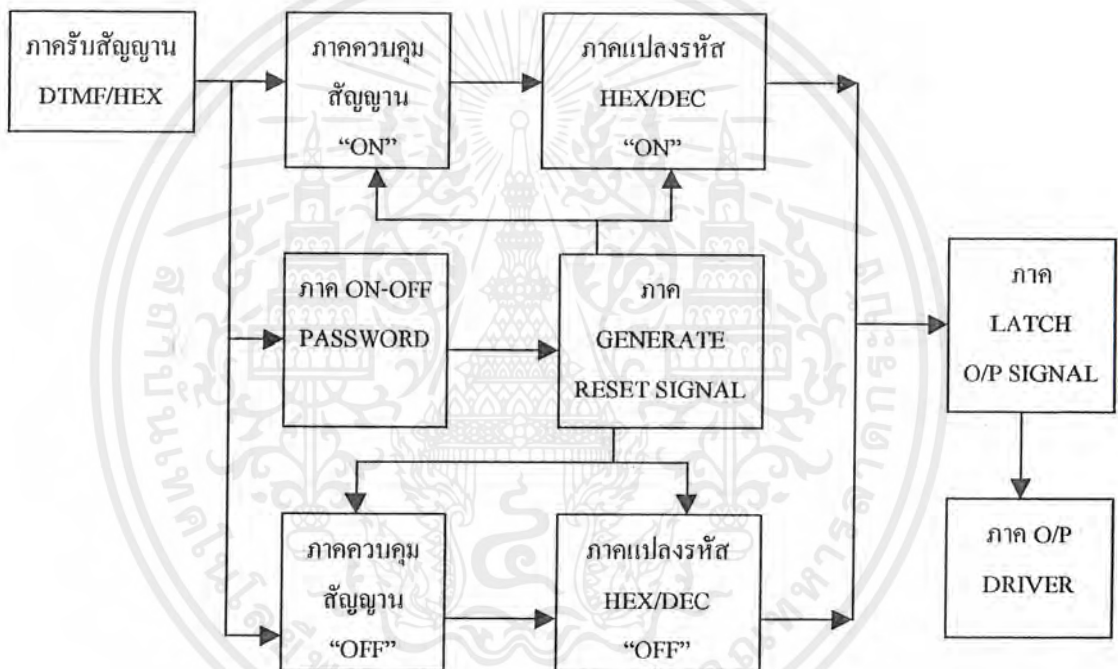


เอกสารนี้เป็นเอกสารที่สงวนไว้สำหรับการใช้งานเพื่อการศึกษาเท่านั้น ไม่อนุญาตให้นำไปใช้ประโยชน์ด้านการค้าไม่ว่ากรณีใดๆ ทั้งสิ้น อีกทั้งห้ามมิให้ตัดแปลงเนื้อหาและต้องอ้างอิงถึงเจ้าของเอกสารทุกครั้งที่มีการนำไปใช้

บทที่ 3 การสร้างและการคำนวณ

3.1 แนวความคิด

จากแนวความคิดที่ต้องการนำเอาระบบความถี่ผสมของสัญญาณ โทรศัพท์มาใช้ในการควบคุมเครื่องใช้ไฟฟ้า จึงได้ออกแบบส่วนต่างๆ ของวงจร โดยนำความรู้ทางด้านเบสิกเทคนิคและด้านวงจรอิเล็กทรอนิกส์มาใช้งาน องค์ประกอบการทำงานของวงจรแสดงด้วยบล็อกไดอะแกรม ดังรูปที่ 3.1



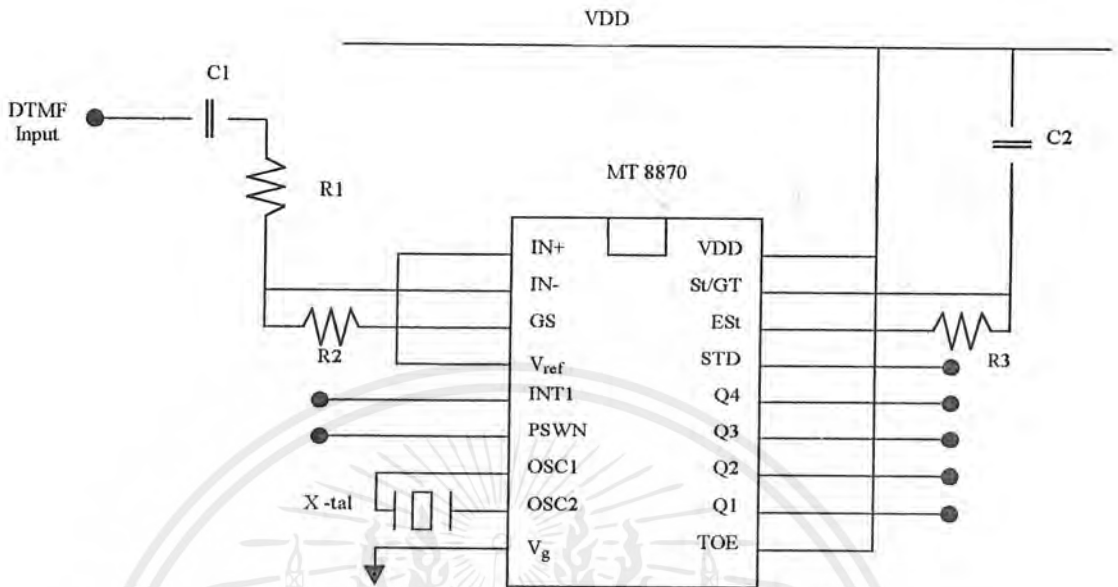
รูปที่ 3.1 บล็อกไดอะแกรมการทำงานของเครื่องควบคุมระยะไกล

3.2 ภาคถอดรหัส DTMF

สัญญาณที่ได้จากภาคคีโมคูลเตอร์ ซึ่งเป็นสัญญาณ DTMF (Dual Tone Multi-Frequency) ที่ส่งมาจากภาคกำเนิดสัญญาณ DTMF

ภาคถอดรหัสใช้ไอซี DTMF เบอร์ MT8870 เป็นตัวเปลี่ยนสัญญาณ DTMF เป็นสัญญาณดิจิทัล ในระบบเลขฐานสิบหก (Hexadacimal : HEX) โดยต่อคริสตอลค่า 3.579 MHz ต่อร่วมกับวงจรออสซิลเลเตอร์ภายในตัวไอซีทำหน้าที่ผลิตความถี่ คือ ช่วงความถี่สูงและความถี่ต่ำ และความถี่ที่ถูกกรองเรียบร้อยแล้วจะผ่านเข้าสู่วงจรถอดรหัสความถี่ออกเป็นตัวเลข โดยใช้เทคนิคการนับแบบดิจิทัล เพื่อส่งไปยังภาคควบคุมสัญญาณต่อไป

เอกสารนี้เป็นเอกสารที่สงวนไว้สำหรับการใช้งานเพื่อการศึกษาเท่านั้น ไม่อนุญาตให้นำไปใช้ประโยชน์ด้านการค้าไม่ว่ากรณีใดๆ ทั้งสิ้น อีกทั้งห้ามมิให้ตัดแปลงเนื้อหาและต้องอ้างอิงถึงเจ้าของเอกสารทุกครั้งที่มีการนำไปใช้

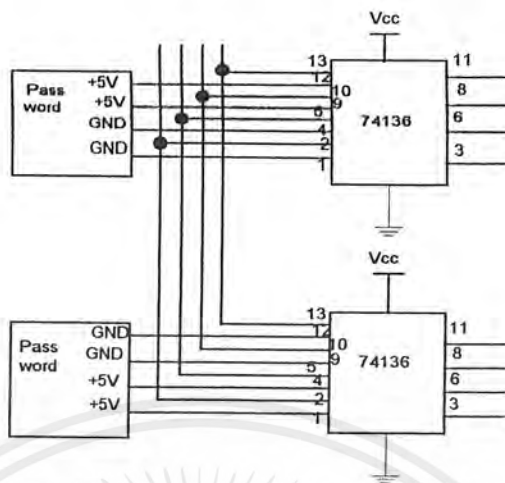


รูปที่ 3.2 วงจรภาคถอดรหัส DTMF

3.3 ภาค ON - OFF PASSWORD

สัญญาณดิจิตอลจะส่งต่อไปยังภาค ON-OFF PASSWORD ก่อนที่จะส่งการให้เอาท์พุท หรือ โหลด หมายเลขใดทำงานหรือหยุดทำงานได้นั้นจะต้องมีการขอผ่านสัญญาณเข้าไปยังภาคควบคุมสัญญาณ และส่งหมายเลขที่ต้องการตามไป ในวงจรรหัสผ่านนี้จะคอยตรวจว่ารหัสที่ขอผ่านเข้ามาเป็น 1011 (โดยการกด *) หรือ 1100 (โดยการกด #) ถ้าเป็น 1011 ก็จะส่งสัญญาณไปควบคุมในภาคควบคุมสัญญาณชุด “ON” ขอมให้มีการผ่านของสัญญาณ HEX ที่จะส่งตามไปยังภาค HEX / DEC ต่อไป หรือถ้าเป็น 1100 ก็จะส่งสัญญาณไปควบคุมสัญญาณชุด “OFF” ขอมให้มีการผ่านของสัญญาณ HEX ที่จะส่งตามมาเช่นเดียวกัน แต่ถ้าไม่ใช่ทั้ง 1011 และ 1100 ก็จะไม่มีการส่งสัญญาณไปภาคควบคุมสัญญาณ

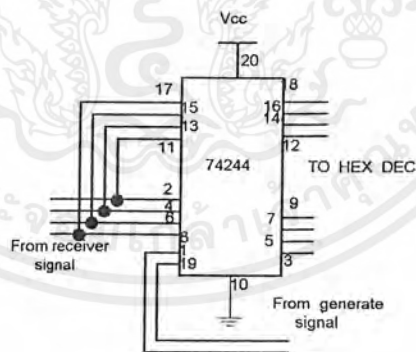
วงจรภาคนี้ได้นำไอซี Quadruple 2 - Input Exclusive-OR Gate with Open - Collector Output เบอร์ 74136 มาใช้เปรียบเทียบกับสัญญาณรหัสผ่านกับสัญญาณอ้างอิงจำนวน 2 ชุด คือชุด ON และ OFF (IC3 และ IC4 ตามลำดับ) กำหนดให้ IC3 ตรวจสอบรหัสผ่านสำหรับการ ON LOAD โดยขาอินพุทหนึ่งของ EX - OR GATE แต่ละตัวจะต่อไว้กับลอจิก “1” และ “0” เป็น HEX Code : 1011 และ IC4 ตรวจสอบรหัสผ่านสำหรับการ OFF LOAD โดยขาอินพุทหนึ่งของ EX - OR Gate แต่ละตัวจะต่อไว้เป็นรหัส 1100 เมื่อสัญญาณ HEX Code ที่ส่งมาจากภาครับสัญญาณเป็นรหัส 1011 หรือ 1100 ตรงกันกับ IC3 หรือ IC4 จะให้เอาท์พุทที่ออกมาเป็นลอจิก “0” ทั้งหมด และจะถูกส่งไปที่ IC5 ที่ภาค Generate reset signal เพื่อใช้ในการควบคุมการทำงานของอุปกรณ์ส่วนอื่นต่อไป



รูปที่ 3.3 วงจรภาค ON-OFF PASSWORD

3.4 ภาคควบคุมสัญญาณ

ส่วนนี้จะเปรียบเสมือนประตูเปิด - ปิด เพื่อรับสัญญาณ HEX จากภาครับสัญญาณไปยังภาค HEX / DEC โดยการใช้ไอซี Octal Buffer / Line Driver / Line Receiver เบอร์ 74244 ทำเป็นบัฟเฟอร์ เมื่อมีสัญญาณจากภาค Generate reset signal มาทริก จะทำให้ทำงานเปิดทางให้ข้อมูลจากภาครับสัญญาณผ่านไปยังภาคแปลงรหัส HEX/DEC ได้ และจะปิดทางผ่านของข้อมูลเมื่อไม่มีสัญญาณมาทริก

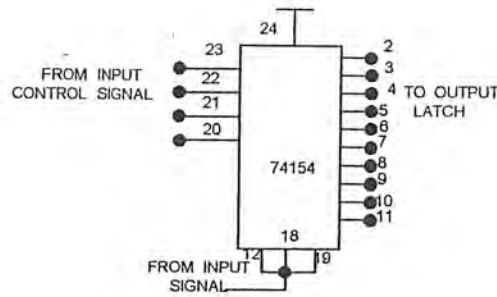


รูปที่ 3.4 วงจรภาคควบคุมสัญญาณ

3.5 ภาคแปลงรหัสฐานสิบหกเป็นฐานสิบ (HEX/DEC)

วงจรถูกนี้ทำหน้าที่แปลงสัญญาณระบบเลขฐานสิบหกให้เป็นเลขฐานสิบ ใช้ไอซี 4 - Line to 16 - Line Decoder / Demultiplexer เบอร์ 74154 เป็นตัวถอดรหัส ด้านอินพุตจะรับสัญญาณระบบเลขฐานสิบหกมาจากภาคควบคุมสัญญาณ และจะให้เอาท์พุทค่าเป็น "0" ในระบบเลขฐานสิบ

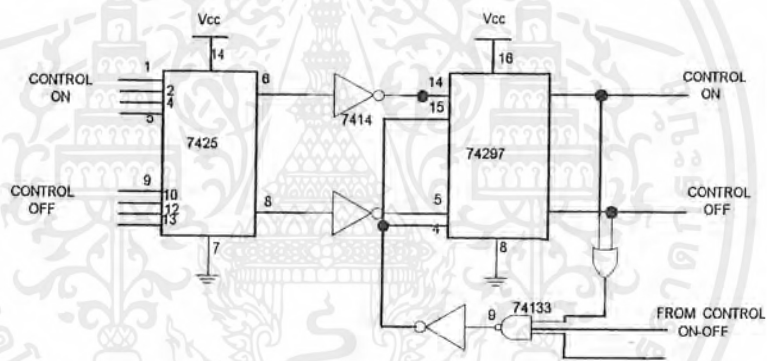
เอกสารนี้เป็นเอกสารที่สงวนไว้สำหรับการใช้งานเพื่อการศึกษาเท่านั้น ไม่อนุญาตให้นำไปใช้ประโยชน์ด้านการค้าไม่ว่ากรณีใดๆ ทั้งสิ้น อีกทั้งห้ามมิให้ตัดแปลงเนื้อหาและต้องอ้างอิงถึงเจ้าของเอกสารทุกครั้งที่มีการนำไปใช้



รูปที่ 3.5 ภาคนแปลงรหัสเลขฐานสิบหกเป็นฐานสิบ

3.6 ภาคนำเนิดสัญญาณรีเซต (GENERATE RESET SIGNAL)

ภาค GENERATE RESET SIGNAL หรืออาจเรียกว่าภาค Reset for start วงจรส่วนนี้ทำหน้าที่ส่งสัญญาณ Reset ไปควบคุมการทำงานของภาควควบคุมสัญญาณให้ปิดหรือเปิดทางให้ข้อมูลผ่านไป



รูปที่ 3.6 วงจรภาคนำเนิดสัญญาณรีเซต

IC Quadruple 2 - Input Positive - OR Gate เบอร์ 7432 ทำหน้าที่ป้องกันการกดปุ่มส่งสัญญาณผิดพลาดกรณีกดปุ่ม * แล้วมีการกดปุ่ม # ตามมาอีก ซึ่งจะทำได้สัญญาณเอาต์พุตที่ขา 4 และ 7 ของ IC 6 เป็น "0" ทั้งคู่ เป็นผลให้ภาควรับสัญญาณและภาคนแปลงรหัส HEX / DEC ทั้งส่วน ของ ON LOAD และ OFF LOAD ต่างก็ถูกทริกให้ทำงาน ซึ่งอาจจะทำให้วงจรเกิดการเสียหายได้ เพื่อเป็นการป้องกันกรณีดังกล่าว จึงได้นำสัญญาณเอาต์พุตของ IC6 ทั้งสองมา OR กันไว้ เมื่ออินพุตของ OR Gate เป็น "0" ทั้งคู่จะได้ เอาต์พุตเป็น "0" ส่งไปเนนเกตซึ่งจะเป็นการรีเซต IC6 เป็นผลให้วงจรภาควรับสัญญาณและภาคนแปลงรหัส หยุดทำงาน

ไอซีเบอร์ 74133 เป็นไอซี Input Positive - Nand Gate สภาวะเคมด้านอินพุตจะมีค่าเป็น ลอจิก "1" ทั้งหมด ซึ่งเอาต์พุตก็จะมีค่าเป็นลอจิก "0" เมื่อมีการกดปุ่มหมายเลข 0 ส่งสัญญาณเข้ามายังเครื่องควบคุมสัญญาณ จะมีผลให้สัญญาณเอาต์พุตจากขา 2-11 ลอจิก "0" (จากการควบคุมของ ภาคนแปลงรหัสชุด ON หรือชุด OFF แล้วแต่การใช้งานในขณะนั้น) จะส่งเข้ามาเป็นอินพุตของเนนเกต ซึ่งจะทำให้สภาวะเอาต์พุตของเนนเกตเปลี่ยนเป็น "1" ผ่านอินเวอร์เตอร์ไปยังขา 15 ของ ไอซีเบอร์ 74279 ซึ่งจะมีผลให้เอาต์พุตของ

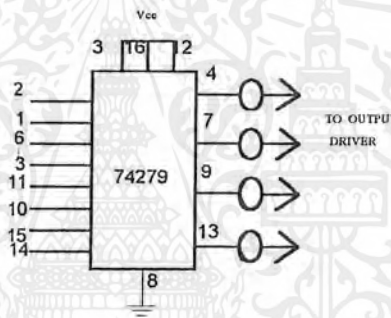
เอกสารนี้เป็นเอกสารที่สงวนไว้สำหรับการใช้งานเพื่อการศึกษาเท่านั้น ไม่อนุญาตให้นำไปใช้ประโยชน์ด้านการค้าไม่ว่ากรณีใดๆ ทั้งสิ้น อีกทั้งห้ามมิให้ตัดแปลงเนื้อหาและต้องอ้างอิงถึงเจ้าของเอกสารทุกครั้งที่มีการนำไปใช้

ไอซีเปลี่ยนแปลงสภาวะจาก “1” เป็น “0” ทำให้วงจรควบคุมสัญญาณและภาคแปลงรหัส HEX / DEC หยุดการทำงานกลับเข้าสู่สภาวะปกติ

3.7 ภาค LATCH OUTPUT SIGNAL

ภาค LATCH OUTPUT SIGNAL ส่วนนี้จะรับสัญญาณรหัส DECIMAL มาจากภาคควบคุมสัญญาณชุด “ON” เมื่อต้องการจะ ON LOAD และจากภาคควบคุมสัญญาณชุด “OFF” เมื่อต้องการ จะ OFF LOAD และทำการ LATCH สภาวะเอาไว้ และส่งผ่านไปยังภาคขับเอาท์พุท

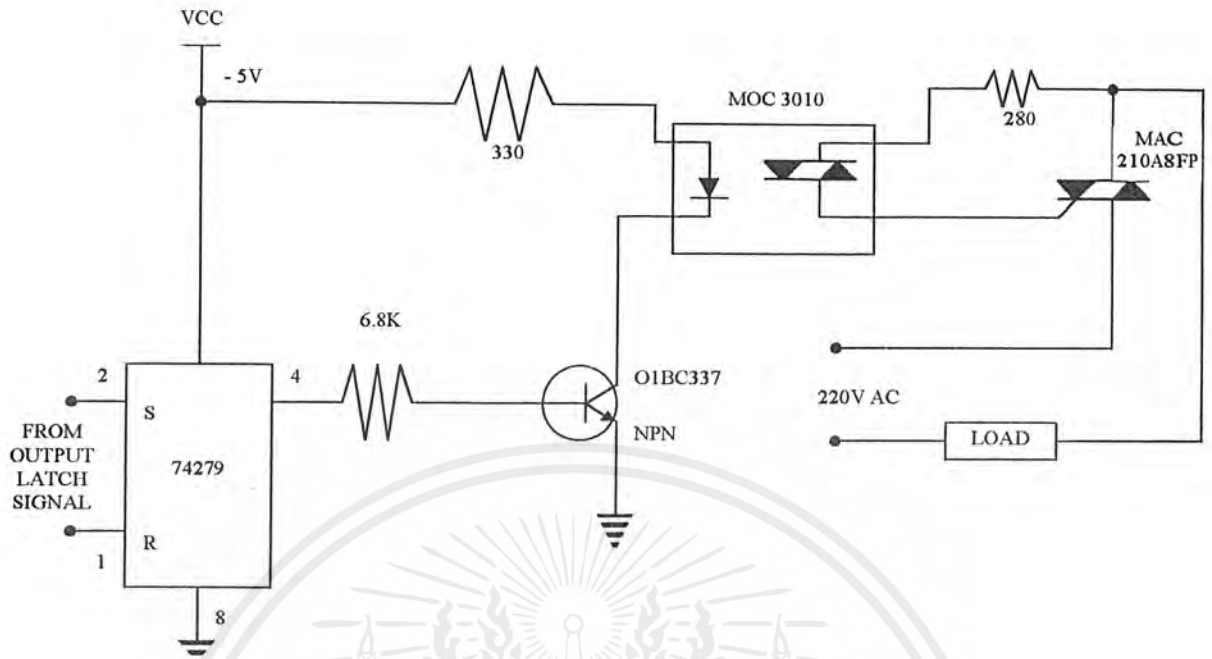
การออกแบบวงจรใช้ไอซี Quadruple S-R Latch เบอร์ 74279 เอาท์พุทจะเปลี่ยนสภาวะเป็นตรงกันข้ามทุกครั้งที่มีสัญญาณค่า “0” เข้ามากระตุ้น ซึ่งลักษณะนี้สามารถนำมาใช้ในการเปลี่ยน สภาวะการควบคุมโหลดให้อยู่ในสภาวะทำงานหรือหยุดทำงาน



รูปที่ 3.7 ภาค LATCH OUTPUT SIGNAL

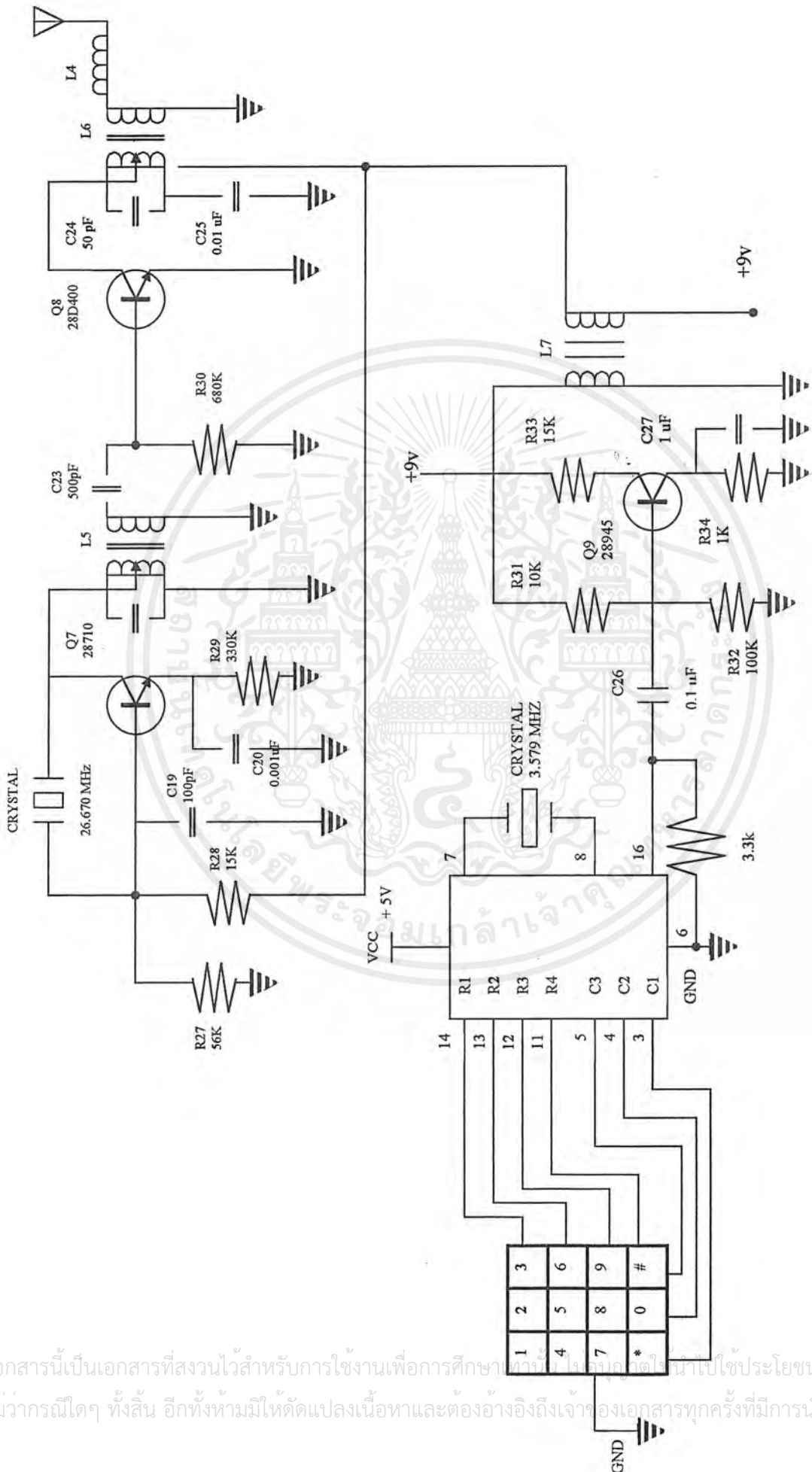
3.8 ภาคเอาท์พุทขับโหลด (OUTPUT DRIVER)

การออกแบบโดยใช้ตัวเชื่อมต่อโยงทางแสง อินพุทและเอาท์พุทจะมีการแยกกันทางไฟฟ้าให้มีความ มั่น ใจต่อการสั้นสะเทือน ค่าอุณหภูมิและการรบกวนทางไฟฟ้า และการควบคุมปราศจากข้อยุ่งยากเหมือนกับ วงจร ที่ออกแบบโดยใช้รีเลย์



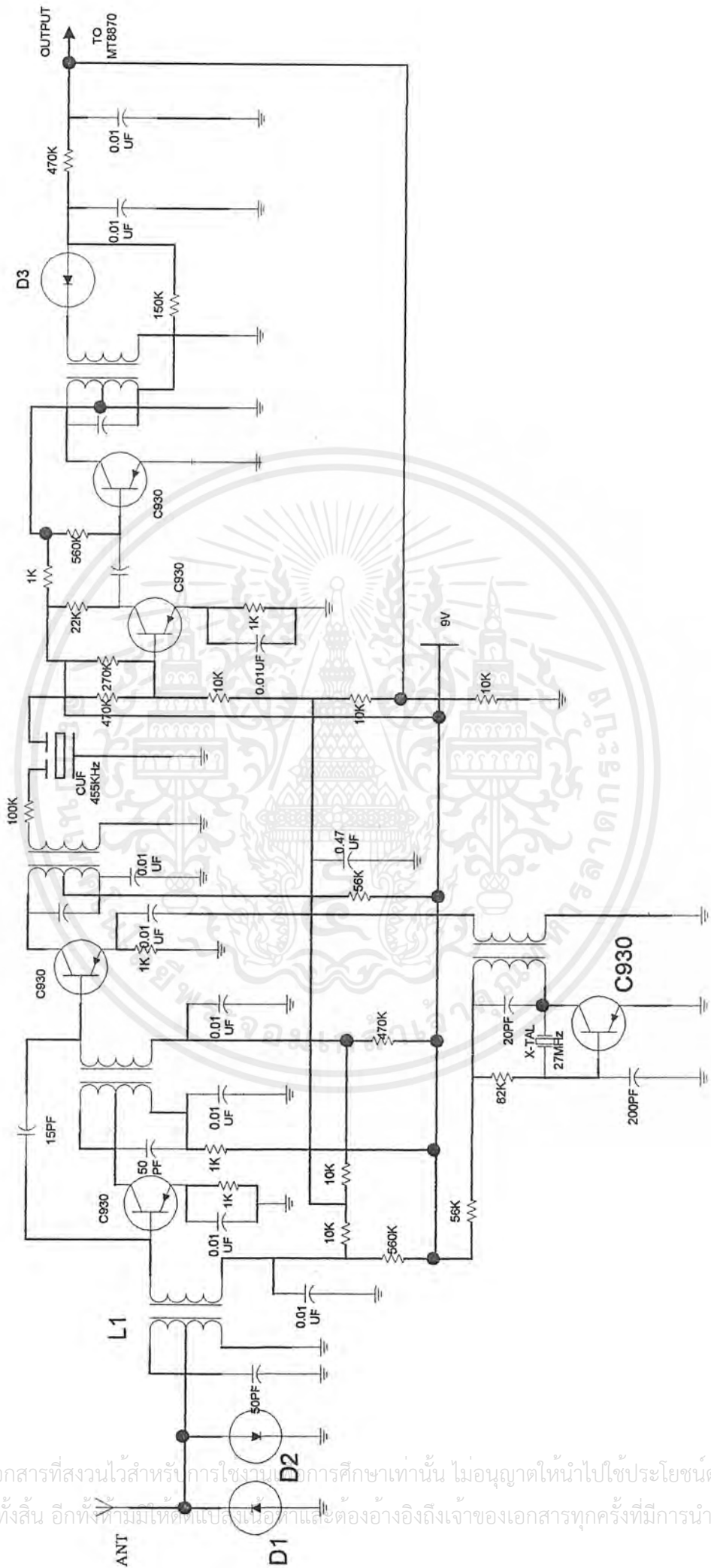
รูปที่ 3.8 วงจรควบคุมโดยใช้ตัวควบคุมทางแสง

จากวงจรเมื่อเอาท์พุท Q ขา 4 ของ IC เบอร์ 74279 มีค่าเป็นลอจิก "1" จะทำให้ทรานซิสเตอร์ Q1 นำกระแส ทำให้ไดโอดเปล่งแสงอินฟราเรดนำกระแสตามไปด้วย แสงจากไดโอดดังกล่าวจะไปตกกระทบ ตัวตรวจจับแสง ทำให้นำกระแสไปกระตุ้นไทรแอกไซด์ให้ทำงานจ่ายกำลังงานเข้าสู่โหลดต่อไป



รูปที่ 3.9 วงจรชุดภาคส่ง

เอกสารนี้เป็นเอกสารที่สงวนไว้สำหรับการใช้งานเพื่อการศึกษาเท่านั้น ไม่ควรนำไปใช้ประโยชน์ด้านการค้า
ไม่ว่ากรณีใดๆ ทั้งสิ้น อีกทั้งห้ามมิให้ดัดแปลงเนื้อหาและต้องอ้างอิงถึงเจ้าของเอกสารทุกครั้งที่มีการนำไปใช้



รูปที่ 3.10 วงจรภาครับสัญญาณ

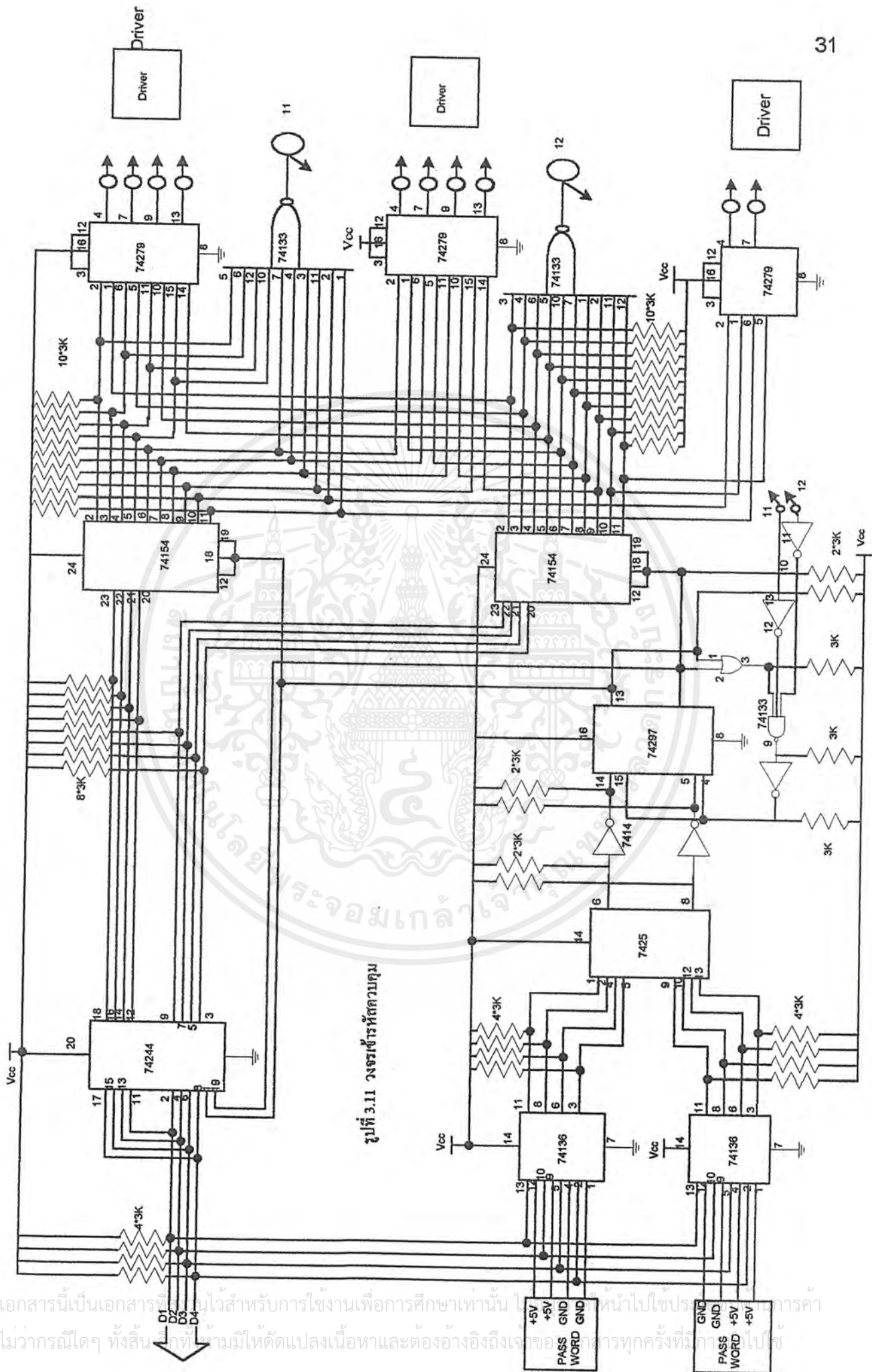
เอกสารนี้เป็นเอกสารที่สงวนไว้สำหรับการใช้งานในการศึกษาเท่านั้น ไม่อนุญาตให้นำไปใช้ประโยชน์ด้านการค้า
ไม่ว่ากรณีใดๆ ทั้งสิ้น อีกทั้งห้ามมิให้ตีแปลงเนื้อหาและต้องอ้างอิงถึงเจ้าของเอกสารทุกครั้งที่มีการนำไปใช้

3.9 วงจรภาคส่ง

จากรูปที่ 3.9 Q1 เป็นวงจรออสซิลเลเตอร์ ผลิตความถี่ RF ตามค่าของคริสตอล 27.125 MHz ความถี่นี้จะถูกขยายด้วยทรานซิสเตอร์ ซึ่งทำหน้าที่เป็น RF POWER AMP ในขณะที่เดียวกันสัญญาณ DTMF ที่ถูกขยายโดย Q2 จะถูกส่งไปมอดูเลตกับสัญญาณ RF ที่เอาท์พุททรานสฟอเมอร์ โดยในที่นี้ ทำหน้าที่เป็นมอดูเลชันทรานสฟอเมอร์ สัญญาณ RF ที่ถูกมอดูเลตในลักษณะแอมพลิฟายมอดูเลชัน จะถูกส่งออกอากาศโดยผ่าน L1 ซึ่งเป็นแมชชิงอิมพีแดนซ์ (matching impedance) ช่วยให้สายอากาศเหมาะสมกับเอาท์พุทของวงจรและความถี่ขนาด 27 MHz

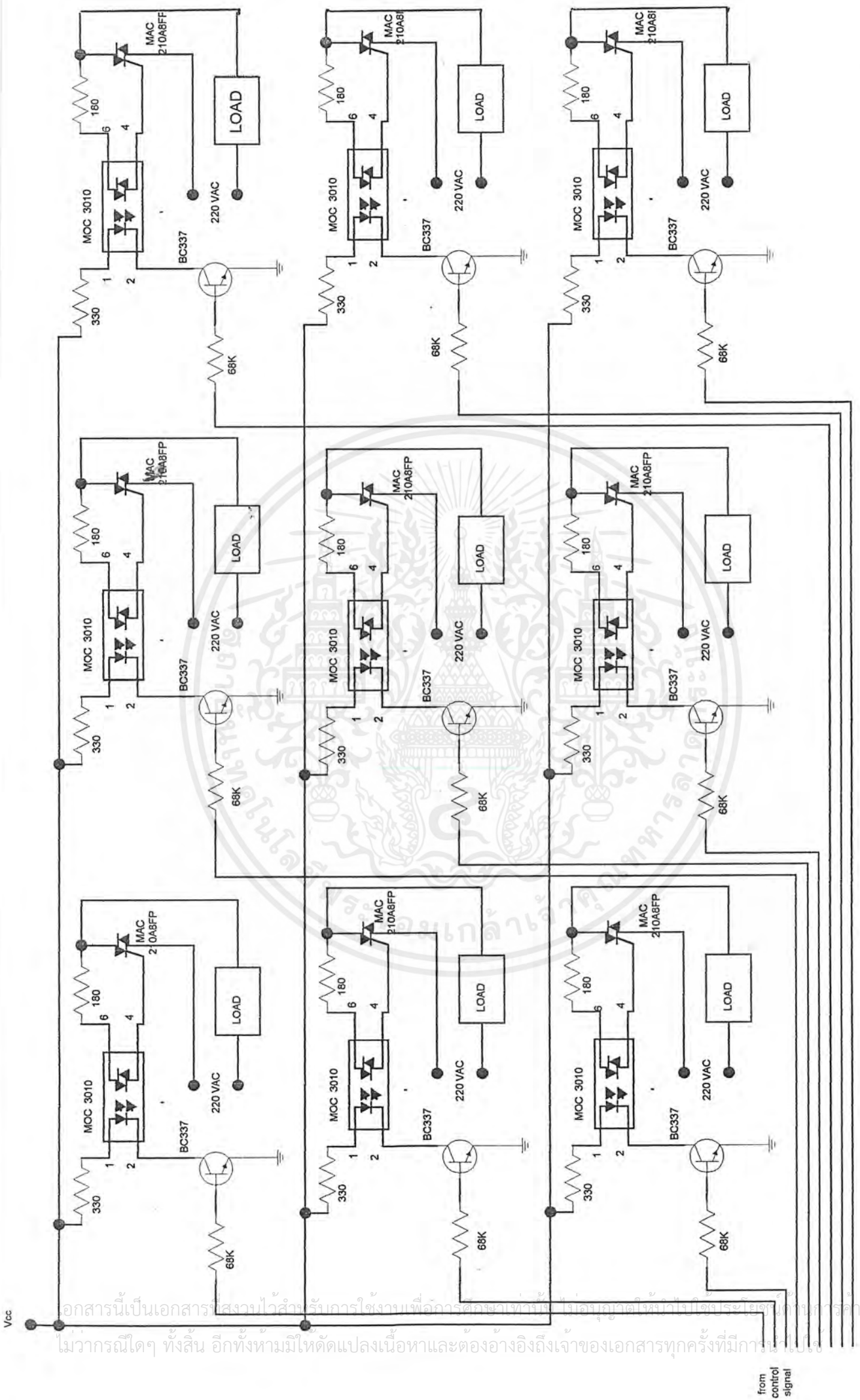
3.10 วงจรภาครับ

สำหรับวงจรภาครูปที่ 3.10 สัญญาณ RF จากสายอากาศผ่านคอยล์ เข้ามายังวงจรจูน 27 MHz ซึ่งประกอบด้วย L1 และ C1 ส่วน D1 กับ D2 เป็นตัวป้องกันไม่ให้สัญญาณ RF ที่มีขนาดแรงเกินไปเข้ามายังวงจรได้ ความถี่ 27 MHz ที่รับเข้ามาจะถูกปลิงมาซึ่ง Q1 ขยายให้แรงขึ้น และส่งไปยังขาเบสของ Q2 ในขณะเดียวกัน Q3 ซึ่งเป็นวงจรออสซิลเลเตอร์จะสร้างความถี่ ซึ่งถูกกำหนด โดยคริสตอล เพื่อให้ได้ความถี่ที่ตรงส่งไปยังขามิเตอร์ของ Q2 ความถี่ทั้งสองจะหักล้างกันเหลือเป็นความถี่ผลต่าง 455 kHz ส่งไปยัง IF ทรานสฟอเมอร์ซึ่งเป็นวงจรจูนที่ความถี่ IF 455 kHz ความถี่ดังกล่าวจะผ่าน R14 เข้าไปยัง CUF 455 kHz ซึ่งเป็นตัวกรองให้ผ่านเฉพาะความถี่ 455 kHz อีกครั้ง ความถี่ดังกล่าวจะถูกขยายให้แรงขึ้นด้วย Q4, Q5 และผ่าน IF ทรานสฟอเมอร์มาซึ่ง D5 ซึ่งทำหน้าที่ดีเทค เอาสัญญาณ AF ออกจาก RF ผ่านวงจรฟิลเตอร์เพื่อให้ได้สัญญาณ AF ที่ดี จากสัญญาณ AF จะผ่าน R17, R18, R2, R4 ซึ่งเป็น AUTOMATIC GAIN CONTROL เข้าไปควบคุมไบอัสที่เบสของ Q2, Q4, Q1 เพื่อให้มีอัตราขยายคงที่ ไม่ว่าสัญญาณที่เข้ามาจะแรงหรืออ่อนก็ตาม



รูปที่ 3.11 วงจรเขี่ยรหัสบวกลบ

เอกสารนี้เป็นเอกสารที่สงวนไว้สำหรับการใช้งานเพื่อการศึกษาเท่านั้น ไม่ควรนำไปใช้เพื่อการค้า
ไม่ว่ากรณีใดๆ ทั้งสิ้น หากท่านมีให้ตัดแปลงเนื้อหาและต้องอ้างอิงถึงเจ้าของเอกสารทุกครั้งที่มาไปใช้



รูปที่ 3.12 วงจรภาคขับโหลด

เอกสารนี้เป็นเอกสารสงวนไว้สำหรับการใช้งานเพื่อการศึกษาเท่านั้น ไม่อนุญาตให้ทำเป็นเครื่องมือใช้กับนักเรียน
 ไม่สามารถใดๆ ทั้งสิ้น อีกทั้งห้ามมิให้ดัดแปลงเนื้อหาและต้องอ้างอิงถึงเจ้าของเอกสารทุกครั้งที่มีกาใช้ไป

from control signal

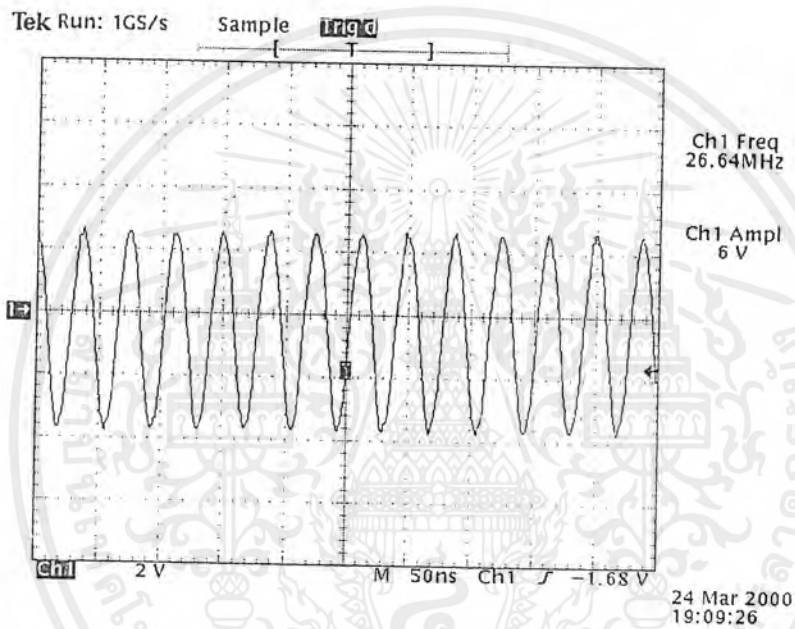
บทที่ 4

ผลการทดลอง

4.1 การทดลองวัดสัญญาณจากวงจรกำเนิดความถี่โทรศัพท์ (DTMF)

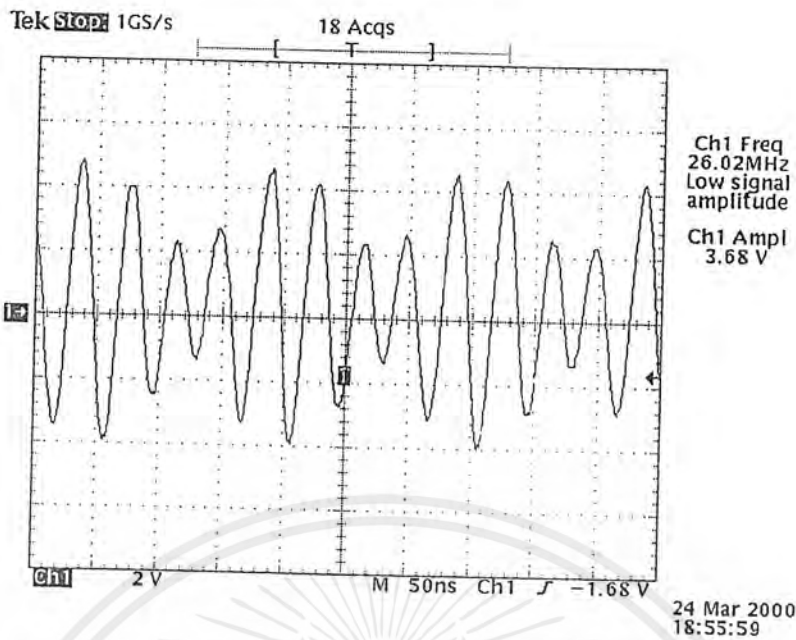
วัตถุประสงค์เพื่อต้องการวัดสัญญาณความถี่โทรศัพท์ (DTMF) ของสัญญาณหมายเลขต่าง ๆ ที่ได้จากการกดเป็น โทรศัพท์

4.2 ผลการทดลอง

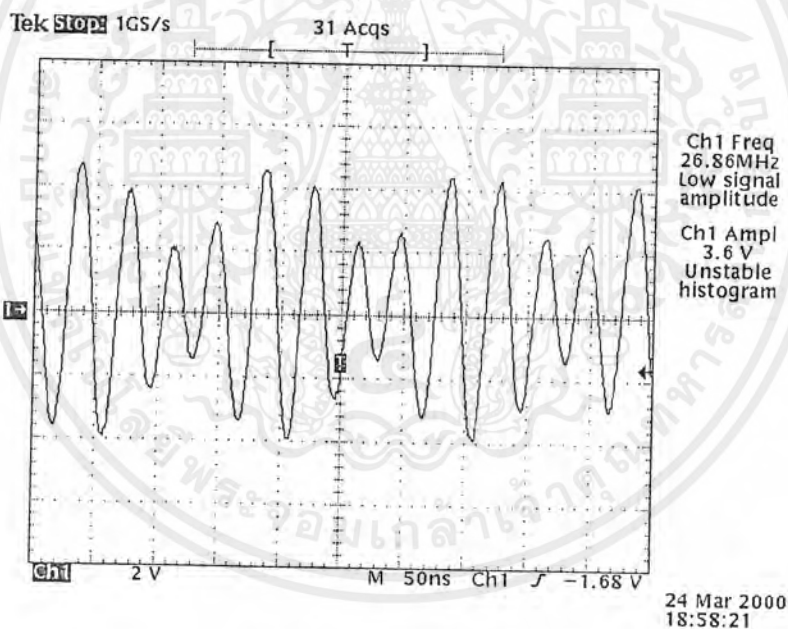


รูปที่ 4.1 สัญญาณคลื่นพาหะวัดที่เสาอากาศส่ง 27 MHz

เอกสารนี้เป็นเอกสารที่สงวนไว้สำหรับการใช้งานเพื่อการศึกษาเท่านั้น ไม่อนุญาตให้นำไปใช้ประโยชน์ด้านการค้าไม่ว่ากรณีใดๆ ทั้งสิ้น อีกทั้งห้ามมิให้ตัดแปลงเนื้อหาและต้องอ้างอิงถึงเจ้าของเอกสารทุกครั้งที่มีการนำไปใช้

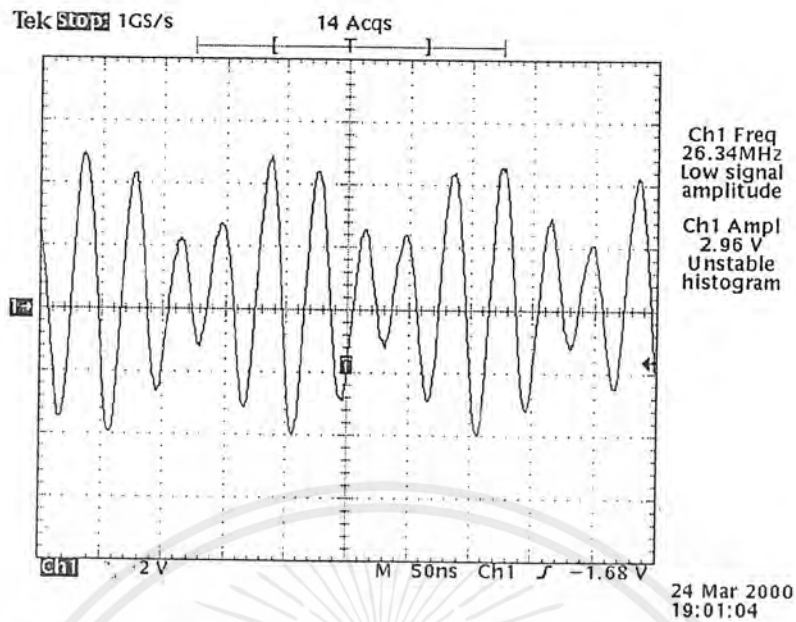


รูปที่ 4.2 สัญญาณที่เสาอากาศเมื่อกดเป็น โทรศัพท์เบอร์ 0

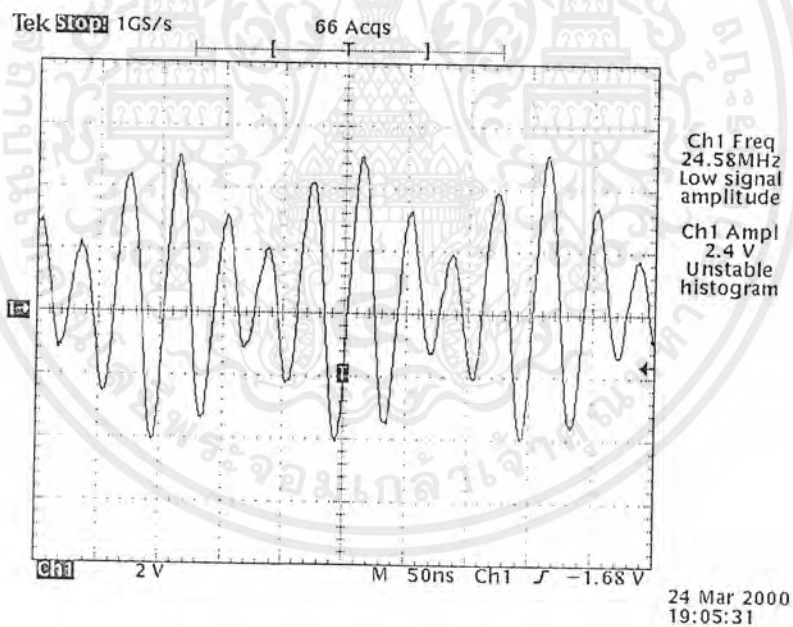


รูปที่ 4.3 สัญญาณที่เสาอากาศเมื่อกดเป็น โทรศัพท์เบอร์ *

เอกสารนี้เป็นเอกสารที่สงวนไว้สำหรับการใช้งานเพื่อการศึกษาเท่านั้น ไม่อนุญาตให้นำไปใช้ประโยชน์ด้านการค้า
ไม่ว่ากรณีใดๆ ทั้งสิ้น อีกทั้งห้ามมิให้ตัดแปลงเนื้อหาและต้องอ้างอิงถึงเจ้าของเอกสารทุกครั้งที่มีการนำไปใช้

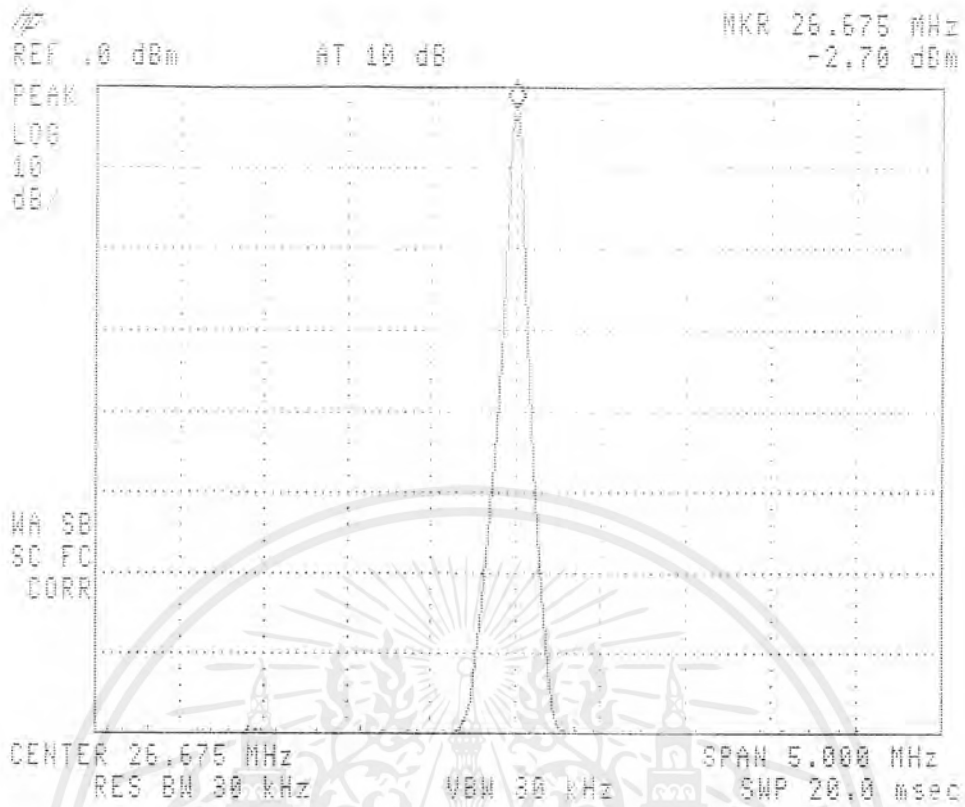


รูปที่ 4.4 สัญญาณที่เสาอากาศเมื่อกลเป็น โทรศัพท์เบอร์ #



รูปที่ 4.5 สัญญาณที่เสาอากาศเมื่อกลเป็น โทรศัพท์เบอร์ 6

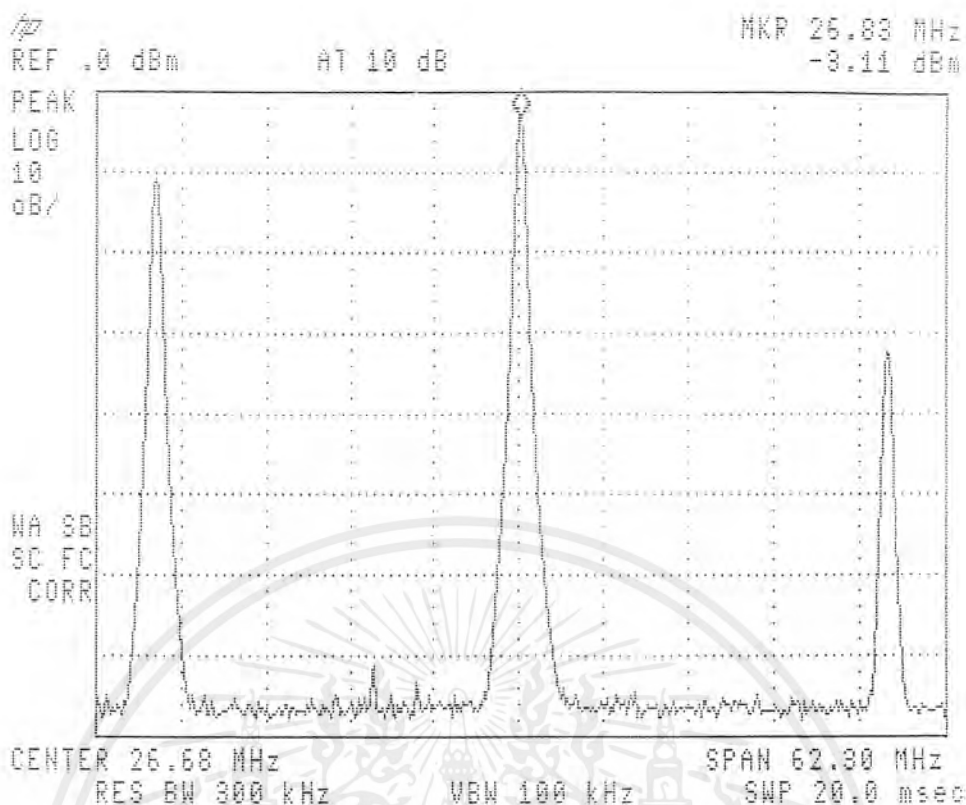
เอกสารนี้เป็นเอกสารที่สงวนไว้สำหรับการใช้งานเพื่อการศึกษาเท่านั้น ไม่อนุญาตให้นำไปใช้ประโยชน์ด้านการค้า
ไม่ว่ากรณีใดๆ ทั้งสิ้น อีกทั้งห้ามมิให้ตัดแปลงเนื้อหาและต้องอ้างอิงถึงเจ้าของเอกสารทุกครั้งที่มีการนำไปใช้



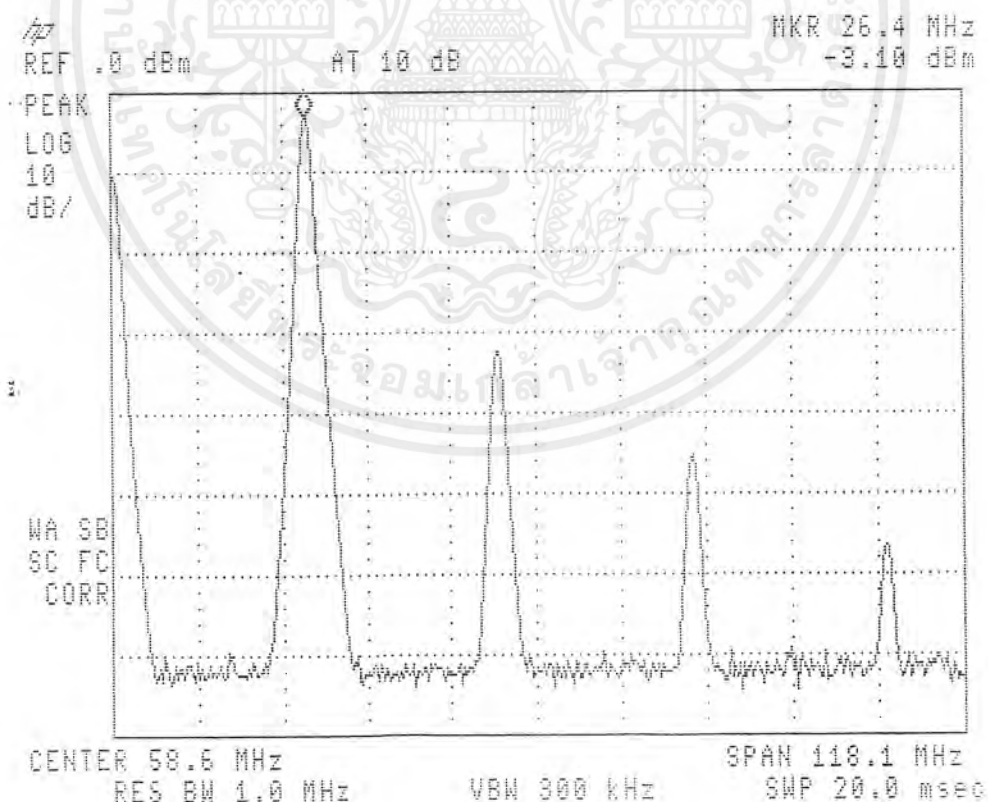
รูปที่ 4.6 สเปกตรัม 27 MHz ที่เสาอากาศ

จากรูปที่ 4.6 สเปกตรัมมีค่า -2.70 dBm แต่ว่าถูกลดทอนเนื่องจากเครื่องวัด 20 dB ดังนั้นจะเห็นว่าเครื่องส่งมีกำลังส่ง (Tx Output Power) ประมาณ 18 dBm โดยมีความถี่วัดได้ที่ 26.675 MHz สำหรับรูปที่ 4.7 เมื่อกำหนดขอบเขตให้มีค่าสูงขึ้น ทางซ้ายจะเป็นความถี่ 0 Hz ส่วนทางด้านขวาคือความถี่ 2 เท่าของความถี่ 27 MHz ความถี่ทั้งสองมีระดับสัญญาณต่ำกว่าสัญญาณ 27 MHz

ในขณะที่รูป 4.8 แสดงถึงความถี่ ฮาร์โมนิคต่างๆ ทางด้านบวกซึ่งความถี่จะต่างกันอยู่ 2 เท่า สำหรับความถี่ที่อยู่ติดกัน

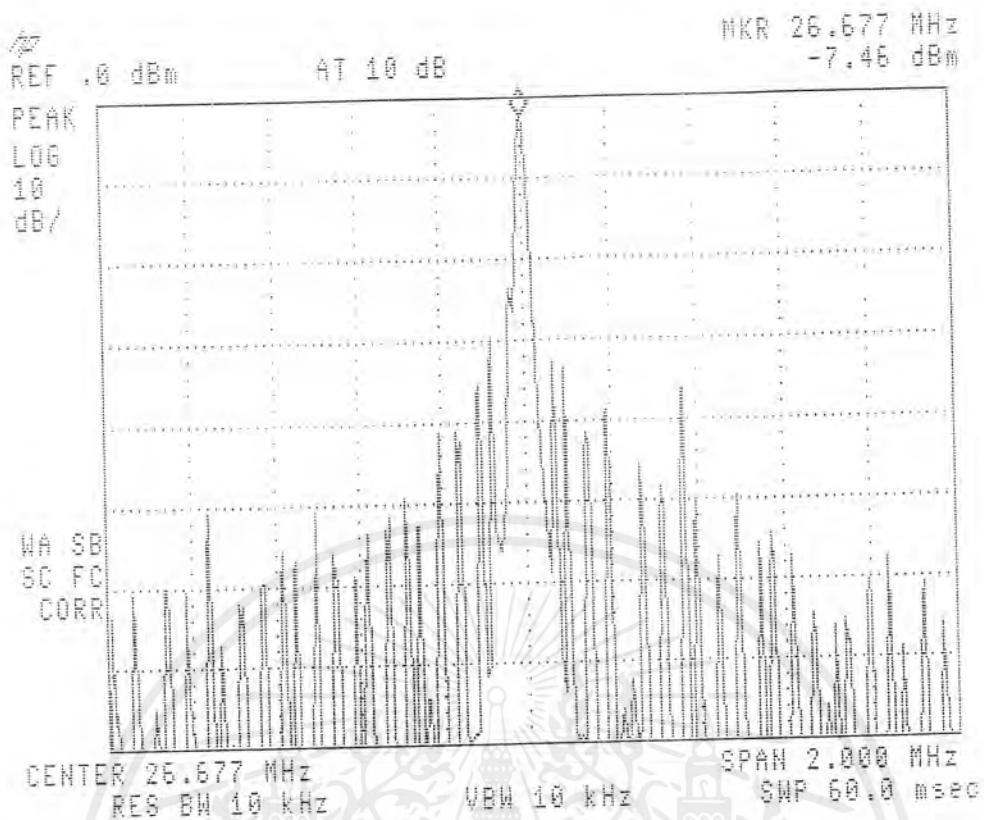


รูปที่ 4.7 สเปกตรัม 27 MHz และความถี่ข้างเคียง

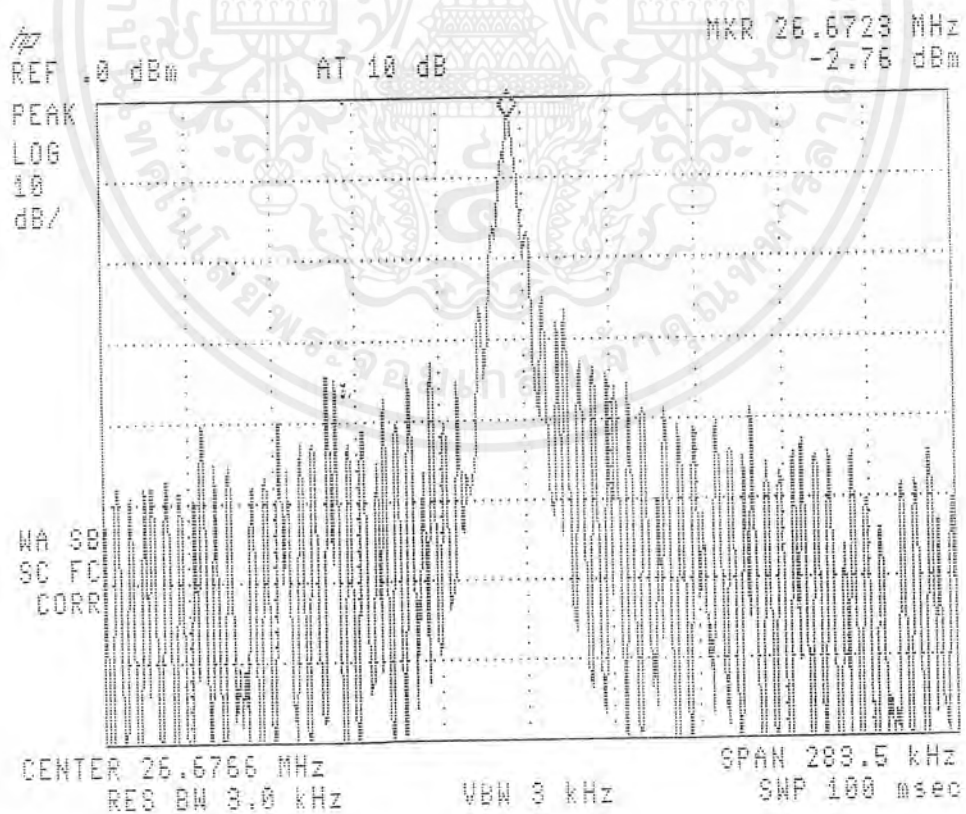


รูปที่ 4.8 สเปกตรัม 27 MHz พร้อมความถี่ลำดับที่สูงกว่า

เอกสารนี้เป็นเอกสารที่สงวนไว้สำหรับการใช้งานเพื่อการศึกษาเท่านั้น ไม่อนุญาตให้นำไปใช้ประโยชน์ด้านการค้า
ไม่ว่ากรณีใดๆ ทั้งสิ้น อีกทั้งห้ามมิให้ตัดแปลงเนื้อหาและต้องอ้างอิงถึงเจ้าของเอกสารทุกครั้งที่มีการนำไปใช้

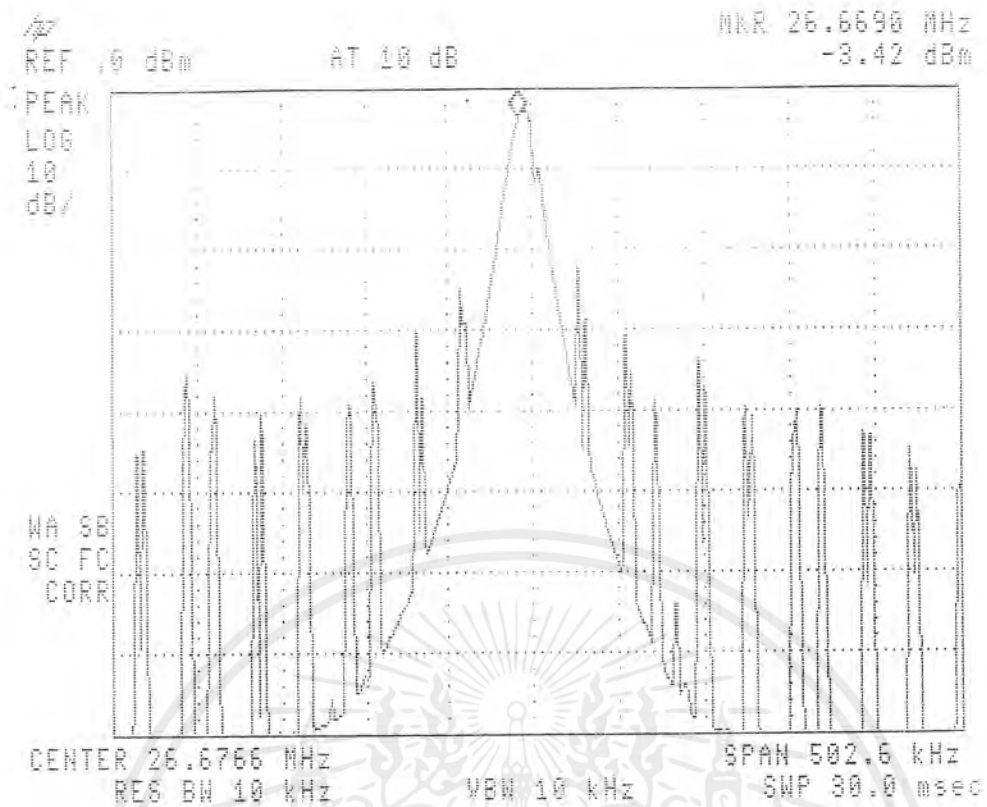


รูปที่ 4.9 สเปกตรัม 27 MHz เมื่อกดเป็น โทรศัพท์เลข 0



รูปที่ 4.10 สเปกตรัม 27 MHz เมื่อกดเป็น โทรศัพท์เลข 6

เอกสารนี้เป็นเอกสารที่สงวนไว้สำหรับการใช้งานเพื่อการศึกษาเท่านั้น ไม่อนุญาตให้นำไปใช้ประโยชน์ด้านการค้า
ไม่ว่ากรณีใดๆ ทั้งสิ้น อีกทั้งห้ามมิให้ตัดแปลงเนื้อหาและต้องอ้างอิงถึงเจ้าของเอกสารทุกครั้งที่มีการนำไปใช้



รูปที่ 4.11 สเปกตรัม 27 MHz เมื่อกลเป็น โทรศัพท์เลข 6 และขยายให้ใหญ่ขึ้น

รูปที่ 4.9, 4.10, 4.11 แสดงให้เห็นถึงสัญญาณข้อมูลที่ถูกมอดูเลชัน ทั้งทาง Lower sideband และ Upper sideband จากภาพจะเห็นสัญญาณฮาร์โมนิคต่างๆของสัญญาณ DTMF อันเนื่องมาจากความแรงของสัญญาณดังกล่าว

บทที่ 5

สรุปและวิจารณ์

จากผลการทดลองวัดค่าสเปกตรัม(Spectrum) ของวงจรภาคส่งสามารถวัดค่ากำลังส่งของเครื่องส่งซึ่งมีค่าประมาณ 18 dBm (Tx Output Power) ในขณะที่เครื่องรับมีค่าความไวในการรับสัญญาณ (Sensitivity) ต่ำสุดประมาณ -20 dBm จึงจะสามารถทำให้วงจรรับข้อมูลและทำงานได้ถูกต้อง เครื่องส่งและเครื่องรับสามารถส่งได้ไกลสุดประมาณ 20 เมตร และสามารถส่งต่างห้องกันได้ หากไกลกว่านี้การทำงานอาจจะผิดพลาดได้ สำหรับผลการทดลองเมื่อเกิดเป็นโทรศัพท์จะมีฮาร์โมนิค (Harmonic) ของสัญญาณข้อมูลเกิดขึ้น อันเนื่องมาจากความแรงของสัญญาณโทรศัพท์ (DTMF) ก่อนนำมามอดูเลตมีค่าสูงเกินไป ดังนั้นหากต้องการลดขนาดของสัญญาณจะต้องต่อตัวต้านทานและตัวเก็บประจุเพื่อปรับและลดขนาดของสัญญาณก่อนที่จะมอดูเลตขึ้น อย่างไรก็ตามจากผลการทดลองแม้จะมีสัญญาณฮาร์โมนิค อุปกรณ์ก็ยังสามารถทำงานได้ตามปกติ

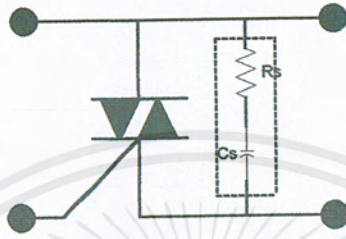
การทำงานของวงจรในการสั่งให้เครื่องควบคุม ON-OFF LOAD

- ก่อนที่จะ ON-OFF LOAD หมายเลขใดๆ จะต้องกดปุ่มส่งรหัสผ่านก่อน คือกดปุ่ม * ก่อนที่จะส่ง ON LOAD และกดปุ่ม # ก่อนที่จะส่ง OFF LOAD
- ภายหลังจากที่กดปุ่ม ON-OFF LOAD ได้ตามต้องการแล้ว ให้กดปุ่มหมายเลข 0 เพื่อเซตวงจรของเครื่องควบคุม ให้เข้าสู่สถานะเตรียมพร้อม หรือเลิกการติดต่อกับเครื่องควบคุม
- ในกรณีที่ผู้เรียกกดปุ่มสั่ง ON หรือ OFF ผิดพลาด เช่น ต้องการจะ ON LOAD หมายเลข 1, 2, 3 แต่กดปุ่มหมายเลข 4, 2, 3 สามารถที่จะแก้ไขได้โดยมีขั้นตอนก่อนที่จะเปลี่ยนจาก ON LOAD เป็น OFF LOAD จะต้องกดปุ่มหมายเลข 0 ก่อน เพื่อรีเซตวงจรแล้วจึงกดปุ่มส่งรหัสผ่านอีกครั้งหนึ่ง
- การสั่งให้ ON-OFF LOAD โดยไม่ส่งรหัสผ่านก่อนจะไม่สามารถ ON-OFF LOAD ได้
- กรณีที่ผู้เรียกกดปุ่มรหัสผ่าน * และ # ติดต่อกัน วงจรจะมีระบบป้องกันเพื่อมิให้เกิดการเสียหายต่อวงจร โดยจะรีเซตให้วงจรภาคควบคุมสัญญาณและภาคแปลงรหัส HEX / DEC หยุดทำงาน และวงจรเข้าสู่สถานะเตรียมพร้อม

ปัญหาที่พบจากการควบคุม โหลดซึ่งเป็นอุปกรณ์ไฟฟ้าก็คือ เมื่อเสียบปลั๊กไฟเข้ากับเครื่องจะมีผลทำให้ไฟที่หลอด LED และ โหลด บางช่องติดหรือดับขึ้นมาเองโดยที่ยังไม่ได้ส่งสัญญาณไปควบคุม ซึ่งอาจสันนิษฐานเบื้องต้นได้ว่าเมื่อมีการเสียบปลั๊กไฟอาจจะมีการสปาร์ค (Spark) ของไฟขึ้นจนมีผลทำให้เกิดสัญญาณรบกวนไปรบกวนวงจรซึ่งใช้ไทรแอก (Triac) ตัวอื่น ๆ ให้ไฟติดขึ้นมาเอง เราอาจแก้ไขได้โดยการใช้ไทรแอกที่มีความไวให้น้อยลงกว่าเดิมเพื่อขจัดปัญหาเรื่องสัญญาณรบกวน หรืออาจจะใช้วิธีใช้ความต้านทานที่ปรับค่าได้ที่ตัวไทรแอกเพื่อปรับให้สัญญาณรบกวนลดลง ข้อสันนิษฐานอีกข้อก็คืออาจเกิดจากความไม่มีเสถียรภาพของสัญญาณที่ตัวฟลิปฟลอป (IC เบอร์ 74279) ทำให้สัญญาณที่ออกมาอาจจะผิดเพี้ยนไปจากที่ต้องการ ซึ่งแก้ไขได้โดยการต่อความต้านทานเข้ากับไฟ (Pull Up)หรือกราวด์ (Pull Down)ที่ขาออกของไอซี เพื่อให้สัญญาณมีเสถียรภาพมากขึ้น

เอกสารนี้เป็นเอกสารที่สงวนไว้สำหรับการใช้งานเพื่อการศึกษาเท่านั้น ไม่อนุญาตให้นำไปใช้ประโยชน์ด้านการค้าไม่ว่ากรณีใดๆ ทั้งสิ้น อีกทั้งห้ามมิให้ตัดแปลงเนื้อหาและต้องอ้างอิงถึงเจ้าของเอกสารทุกครั้งที่มีการนำไปใช้

ในการใช้ไดรแอกเป็นตัวสวิตช์ซึ่งหากโหลดมีค่าความเหนี่ยวนำมากจนทำให้เกิดไฟกระชากอย่างแรงเมื่อเปิดปิดสวิตช์หรือเกิดไฟตก ซึ่งผลของความเหนี่ยวนำจะทำให้อุปกรณ์ไดรแอกทำงานได้เองโดยไม่ต้องทริกเกต ดังนั้นเราจึงต้องมีวงจรที่สามารถกำจัดสัญญาณรบกวนที่เกิดจากความเหนี่ยวนำ ก็คือ วงจรสแน็บเบอร์ (Snubber) วงจรสแน็บเบอร์เป็นเพียงแค่ค่า RC ต่ออนุกรมแล้วขนานไปกับขั้วหลักของไดรแอก ดูได้จากรูป



รูปที่ 5.1 ไดรแอกที่ต่อวงจรสแน็บเบอร์

ในการคำนวณวงจรสแน็บเบอร์ก่อนอื่นต้องหาค่าความเหนี่ยวนำ (L) ของโหลดให้ได้ก่อน

$$f = (dv/dt) / 2 \sqrt{V_p} \quad \text{Hz}$$

$$C_s = 1 / (2 \sqrt{f}^2 L) \quad \text{F}$$

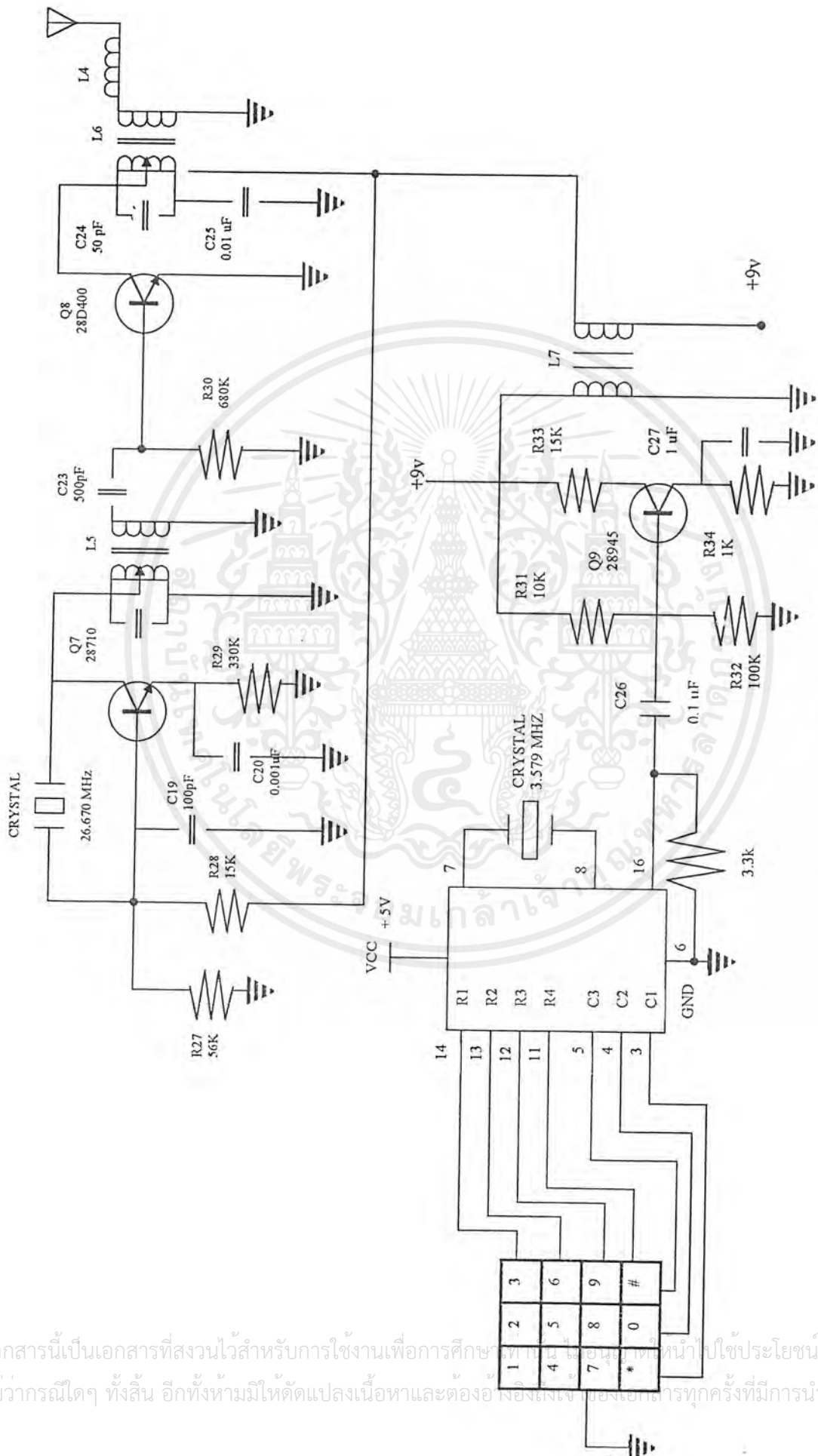
$$R_s = \sqrt{L/C_s} \quad \Omega$$

V_p คือค่าแรงดันสูงสุด

หลังจากคำนวณได้ค่า f แล้วนำไปแทนหาค่า C_s และ R_s ต่อไป C_s ในวงจรสแน็บเบอร์จะจำกัดค่า dv/dt จากภายนอกไม่ให้เกิดค่า dv/dt ของไดรแอก ส่วน R_s เป็นตัวจำกัดกระแสกระชากจาก C_s ขณะที่ไดรแอกนำกระแส

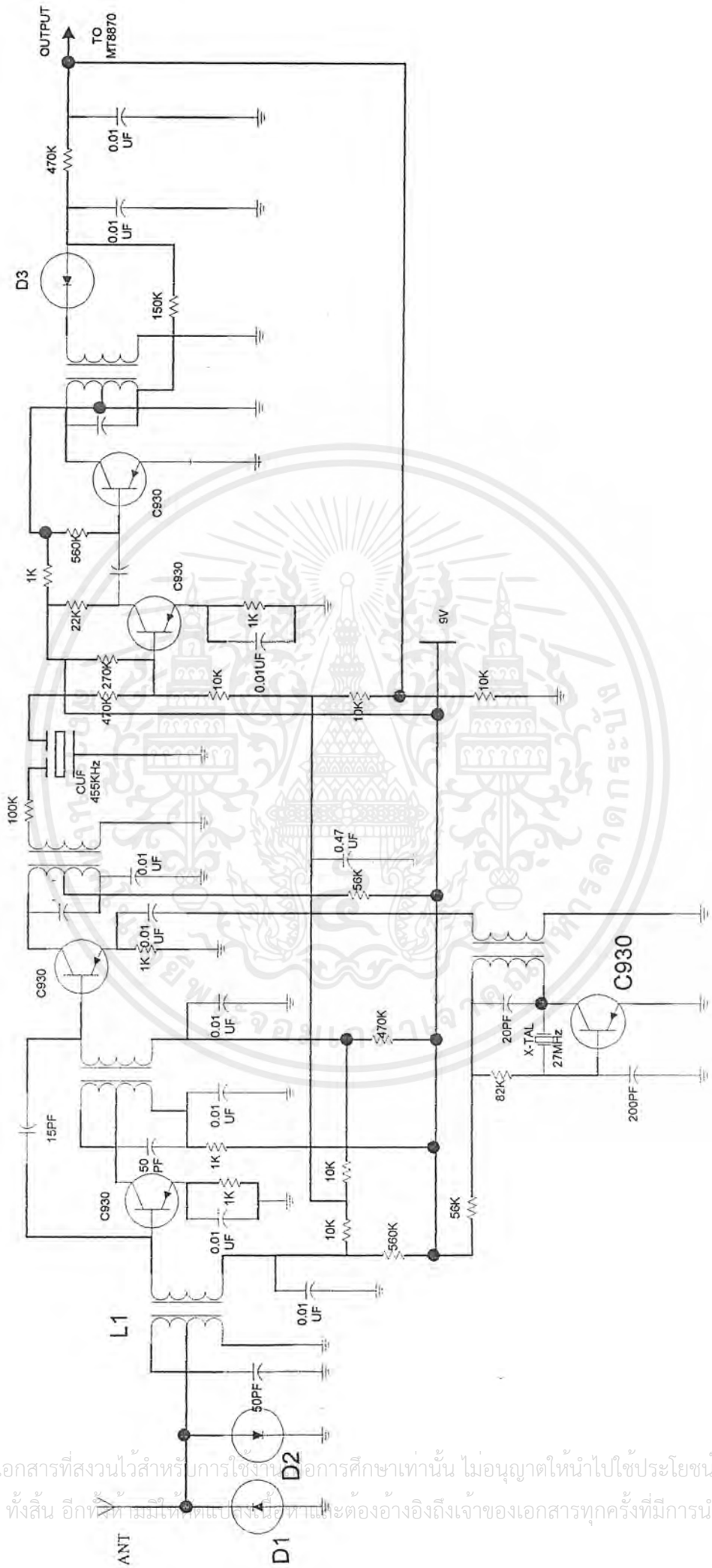


เอกสารนี้เป็นเอกสารที่สงวนไว้สำหรับการใช้งานเพื่อการศึกษาเท่านั้น ไม่อนุญาตให้นำไปใช้ประโยชน์ด้านการค้า
ไม่ว่ากรณีใดๆ ทั้งสิ้น อีกทั้งห้ามมิให้ตัดแปลงเนื้อหาและต้องอ้างอิงถึงเจ้าของเอกสารทุกครั้งที่มีการนำไปใช้



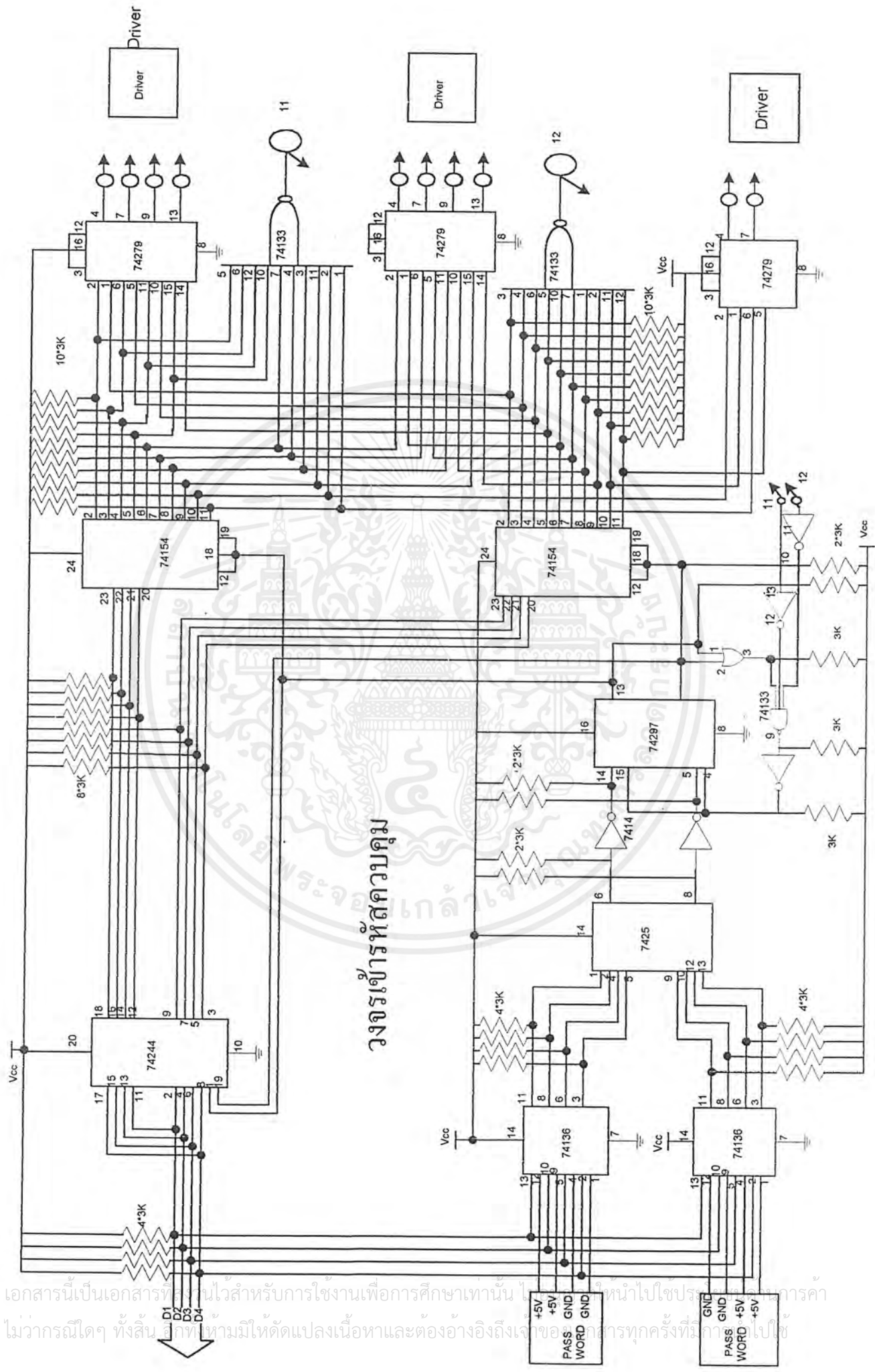
วงจรชุดภาคส่ง

เอกสารนี้เป็นเอกสารที่สงวนไว้สำหรับการใช้งานเพื่อการศึกษาเท่านั้น ไม่อนุญาตให้ไปใช้ประโยชน์ด้านการค้า
ไม่ว่ากรณีใดๆ ทั้งสิ้น อีกทั้งห้ามมิให้ตัดแปลงเนื้อหาและต้องอ้างอิงถึงเจ้าของเอกสารทุกครั้งที่มีการนำไปใช้



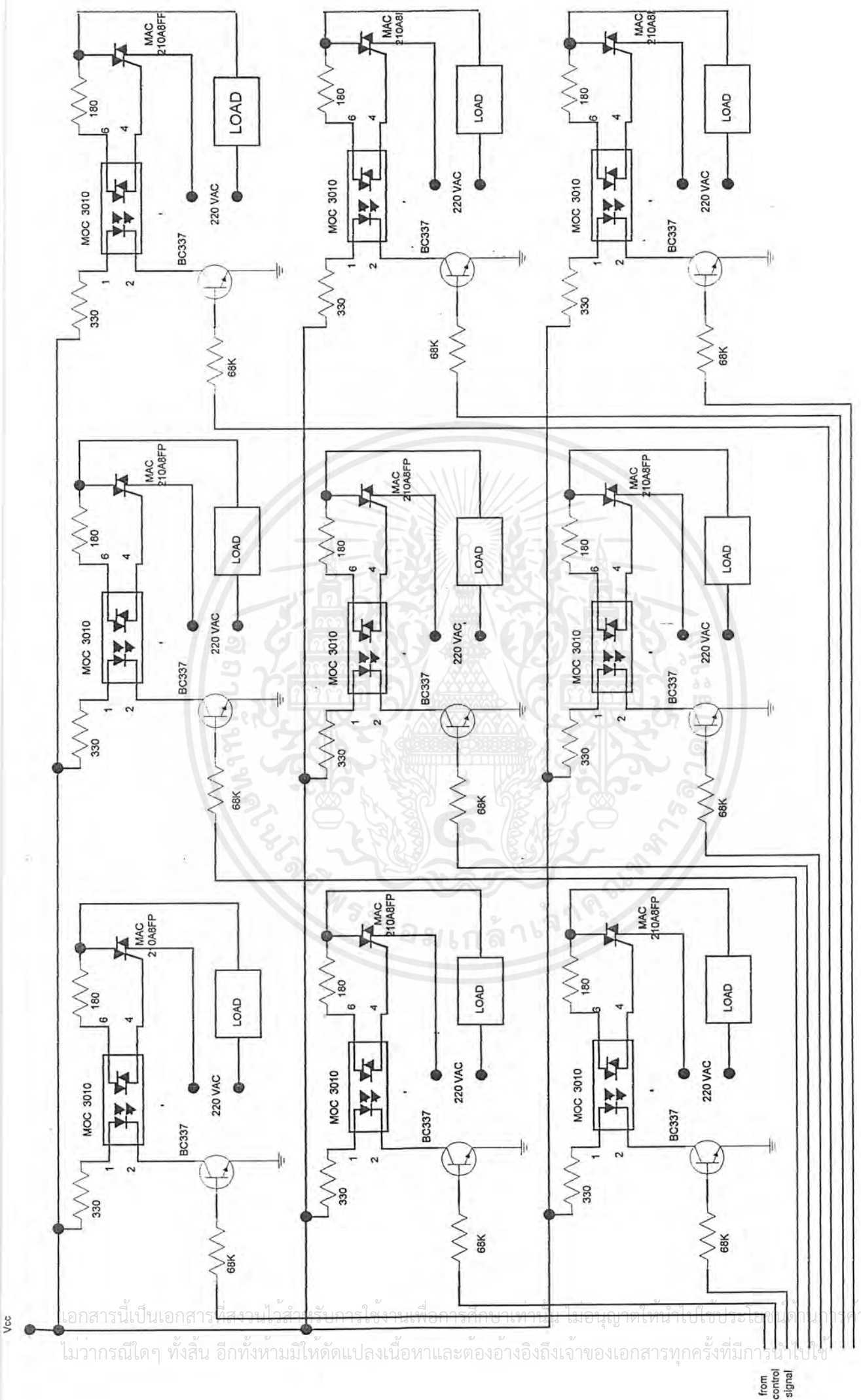
วงจรภาครับสัญญาณ

เอกสารนี้เป็นเอกสารที่สงวนไว้สำหรับการใช้งานในการศึกษาเท่านั้น ไม่อนุญาตให้นำไปใช้ประโยชน์ด้านการค้า
ไม่ว่ากรณีใดๆ ทั้งสิ้น อีกทั้งยังมีให้แต่แบบลงมือทำและต้องอ้างอิงถึงเจ้าของเอกสารทุกครั้งที่มีการนำไปใช้



เอกสารนี้เป็นเอกสารที่จัดทำไว้สำหรับการใช้งานเพื่อการศึกษาเท่านั้น ไม่ควรนำไปใช้ประโยชน์ทางการค้า
 ไม่ว่ากรณีใดๆ ทั้งสิ้น ผู้จัดทำมีให้ตัดแปลงเนื้อหาและต้องอ้างอิงถึงเจ้าของเอกสารทุกครั้งที่มา
 ไปใช้

วงจรภาคขับโหลด



เอกสารนี้เป็นเอกสารสงวนลิขสิทธิ์ไว้สำหรับครูใช้สอนเพื่อการศึกษาเท่านั้น ไม่อนุญาตให้นำไปเผยแพร่โดยไม่ได้รับอนุญาต
ไม่ว่ากรณีใดๆ ทั้งสิ้น อีกทั้งห้ามมิให้ตัดแปลงเนื้อหาและต้องอ้างอิงถึงเจ้าของเอกสารทุกครั้งที่มีการนำไปใช้


from control signal

MAC210A8FP, MAC210A10FP


Triacs

Silicon Bidirectional Thyristors

Designed primarily for full-wave ac control applications, such as light dimmers, motor controls, heating controls and power supplies; or wherever full-wave silicon gate controlled solid-state devices are needed. Triac type thyristors switch from a blocking to a conducting state for either polarity of applied main terminal voltage with positive or negative gate triggering.

- Blocking Voltage to 800 Volts
- All Diffused and Glass Passivated Junctions for Greater Parameter Uniformity and Stability
- Small, Rugged, Thermowatt Construction for Low Thermal Resistance, High Heat Dissipation and Durability
- Gate Triggering Guaranteed in Four Modes
-  Indicates UL Registered — File #E69369
- Device Marking: Logo, Device Type, e.g., MAC210A8FP, Date Code

MAXIMUM RATINGS ($T_J = 25^\circ\text{C}$ unless otherwise noted)

Rating	Symbol	Value	Unit
Peak Repetitive Off-State Voltage ⁽¹⁾ ($T_J = -40$ to $+125^\circ\text{C}$, Sine Wave, 50 to 60 Hz, Gate Open) MAC210A8FP MAC210A10FP	V_{DRM} , V_{RRM}	600 800	Volts
On-State RMS Current ($T_C = +70^\circ\text{C}$) ⁽²⁾ Full Cycle Sine Wave 50 to 60 Hz	$I_{\text{T(RMS)}}$	10	Amps
Peak Non-repetitive Surge Current (One Full Cycle Sine Wave, 60 Hz, $T_C = +70^\circ\text{C}$) Preceded and followed by rated current	I_{TSM}	100	Amps
Circuit Fusing Consideration ($t = 8.3$ ms)	I^2t	40	A^2s
Peak Gate Power ($T_C = +70^\circ\text{C}$, Pulse Width = 10 μs)	PGM	20	Watts
Average Gate Power ($T_C = +70^\circ\text{C}$, $t = 8.3$ ms)	$P_{\text{G(AV)}}$	0.35	Watt
Peak Gate Current ($T_C = +70^\circ\text{C}$, Pulse Width = 10 μsec)	I_{GM}	2.0	Amps
RMS Isolation Voltage ($T_A = 25^\circ\text{C}$, Relative Humidity $\leq 20\%$) 	$V_{\text{(ISO)}}$	1500	Volts
Operating Junction Temperature Range	T_J	-40 to +125	$^\circ\text{C}$
Storage Temperature Range	T_{stg}	-40 to +150	$^\circ\text{C}$

(1) V_{DRM} and V_{RRM} for all types can be applied on a continuous basis. Blocking voltages shall not be tested with a constant current source such that the voltage ratings of the devices are exceeded.

(2) The case temperature reference point for all T_C measurements is a point on the center lead of the package as close as possible to the plastic body.



ON Semiconductor

<http://onsemi.com>

ISOLATED TRIAC 
10 AMPERES RMS
600 thru 800 VOLTS



ISOLATED TO-220 Full Pack
CASE 221C
STYLE 3

PIN ASSIGNMENT	
1	Main Terminal 1
2	Main Terminal 2
3	Gate

ORDERING INFORMATION

Device	Package	Shipping
MAC210A8FP	ISOLATED TO220FP	500/Box
MAC210A10FP	ISOLATED TO220FP	500/Box

MAC210A8FP, MAC210A10FP

THEMAL CHARACTERISTICS

Characteristic	Symbol	Max	Unit
Thermal Resistance, Junction to Case	$R_{\theta JC}$	2.2	$^{\circ}C/W$
Thermal Resistance, Case to Sink	$R_{\theta CS}$	2.2 (typ)	$^{\circ}C/W$
Thermal Resistance, Junction to Ambient	$R_{\theta JA}$	60	$^{\circ}C/W$
Maximum Lead Temperature for Soldering Purposes 1/8" from Case for 10 Seconds	T_L	260	$^{\circ}C$

ELECTRICAL CHARACTERISTICS ($T_C = 25^{\circ}C$ unless otherwise noted; Electricals apply in both directions)

Characteristic	Symbol	Min	Typ	Max	Unit
----------------	--------	-----	-----	-----	------

OFF CHARACTERISTICS

Peak Repetitive Blocking Current ($V_D = \text{Rated } V_{DRM}, V_{RRM}; \text{ Gate Open}$)	I_{DRM}, I_{RRM}	—	—	10	μA
		—	—	2.0	mA

ON CHARACTERISTICS

Peak On-State Voltage ($I_{TM} = \pm 14 A$ Peak; Pulse Width = 1 to 2 ms, Duty Cycle $\leq 2\%$)	V_{TM}	—	1.2	1.65	Volts
Gate Trigger Current (Continuous dc) (Main Terminal Voltage = 12 Vdc, $R_L = 100$ Ohms)	I_{GT}	—	—	—	mA
MT2(+), G(+)		—	12	50	
MT2(+), G(-)		—	12	50	
MT2(-), G(-)		—	20	50	
MT2(-), G(+)		—	35	75	
Gate Trigger Voltage (Continuous dc) (Main Terminal Voltage = 12 Vdc, $R_L = 100$ Ohms)	V_{GT}	—	—	—	Volts
MT2(+), G(+)		—	0.9	2.0	
MT2(+), G(-)		—	0.9	2.0	
MT2(-), G(-)		—	1.1	2.0	
MT2(-), G(+)		—	1.4	2.5	
Gate Non-Trigger Voltage (Continuous dc) (Main Terminal Voltage = 12 V, $R_L = 100 \Omega$, $T_J = +125^{\circ}C$) All Four Quadrants	V_{GD}	0.2	—	—	Volts
Holding Current (Main Terminal Voltage = 12 Vdc, Gate Open, Initiating Current = ± 200 mA)	I_H	—	6.0	50	mA
Turn-On Time (Rated V_{DRM} , $I_{TM} = 14 A$, $I_{GT} = 120$ mA, Rise Time = 0.1 μs , Pulse Width = 2 μs)	t_{gt}	—	1.5	—	μs

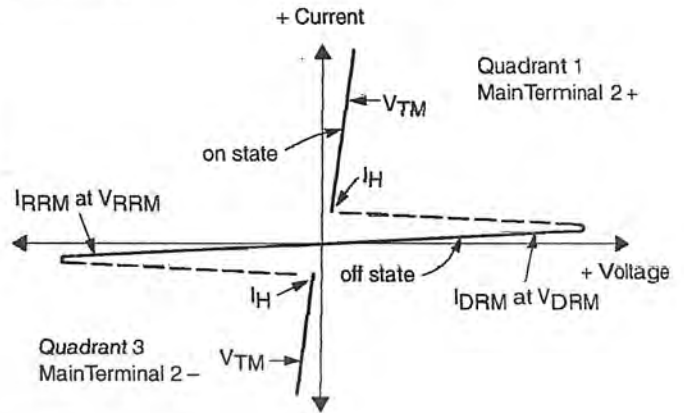
DYNAMIC CHARACTERISTICS

Critical Rate of Rise of Commutation Voltage ($V_D = \text{Rated } V_{DRM}$, $I_{TM} = 14 A$, Commutating $di/dt = 5.0 A/ms$, Gate Unenergized, $T_C = +70^{\circ}C$)	$dv/dt(c)$	—	5.0	—	V/ μs
Critical Rate of Rise of Off-State Voltage ($V_D = \text{Rated } V_{DRM}$, Exponential Voltage Rise, Gate Open, $T_C = +70^{\circ}C$)	dv/dt	—	100	—	V/ μs

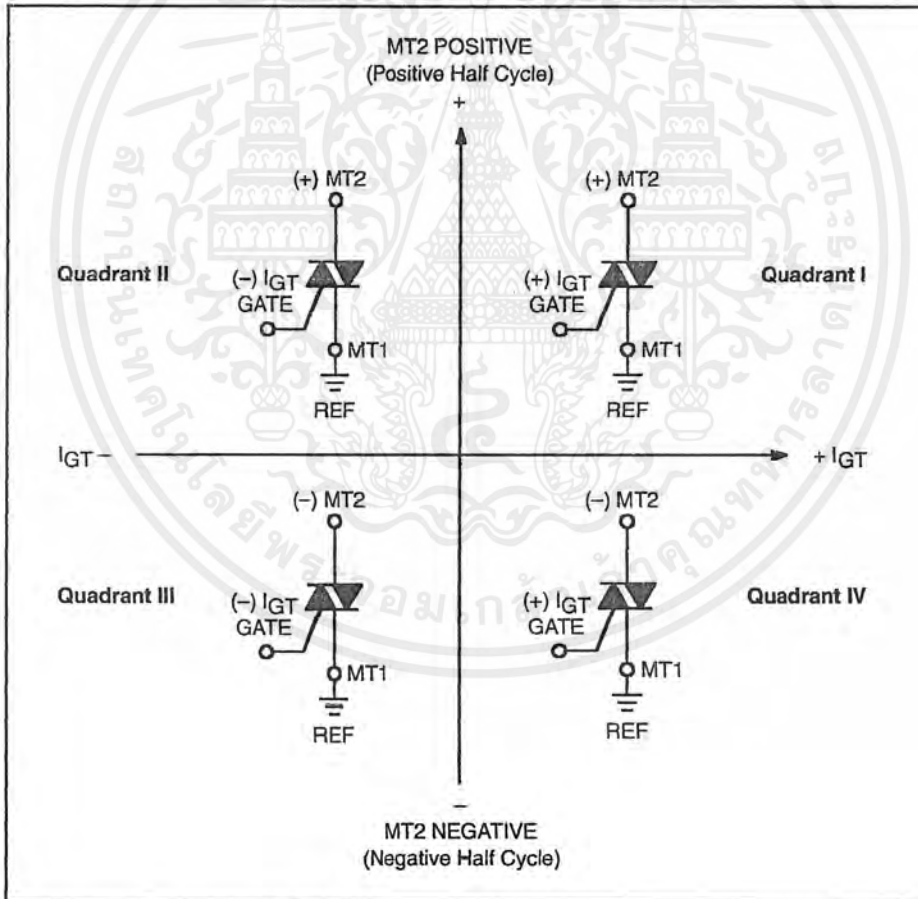
MAC210A8FP, MAC210A10FP

Voltage Current Characteristic of Triacs (Bidirectional Device)

Symbol	Parameter
V_{DRM}	Peak Repetitive Forward Off State Voltage
I_{DRM}	Peak Forward Blocking Current
V_{RRM}	Peak Repetitive Reverse Off State Voltage
I_{RRM}	Peak Reverse Blocking Current
V_{TM}	Maximum On State Voltage
I_H	Holding Current



Quadrant Definitions for a Triac



All polarities are referenced to MT1.

With in-phase signals (using standard AC lines) quadrants I and III are used.

MAC210A8FP, MAC210A10FP

TYPICAL CHARACTERISTICS

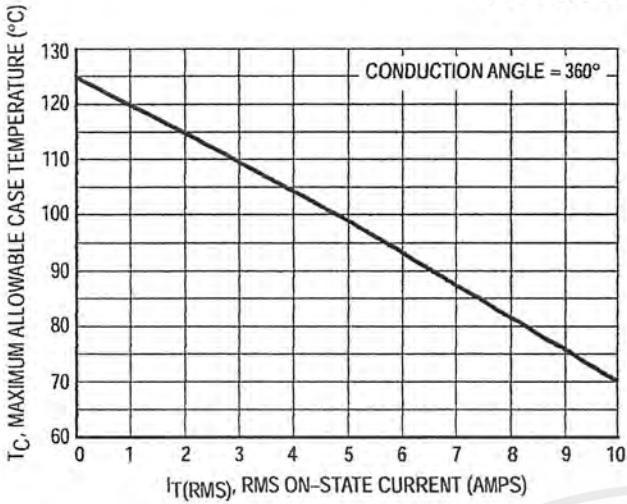


Figure 1. Current Derating

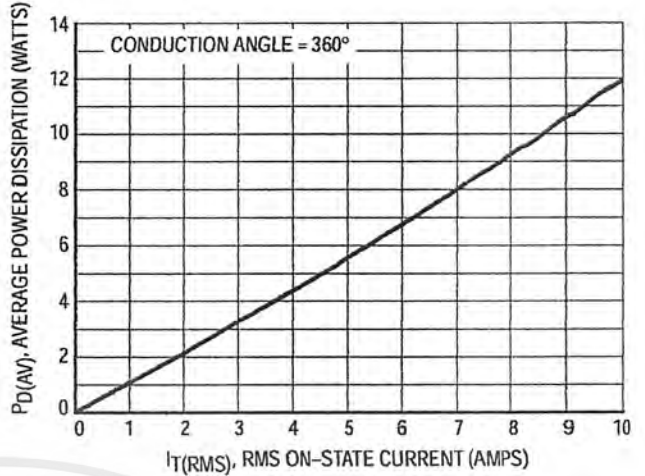


Figure 2. Power Dissipation

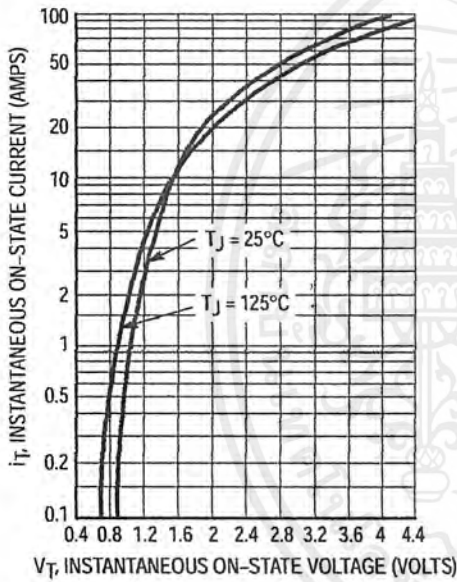


Figure 3. Maximum On-State Characteristics

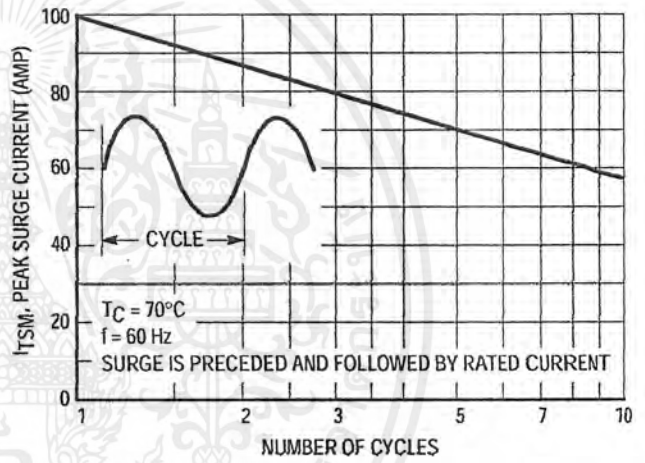


Figure 4. Maximum Nonrepetitive Surge Current

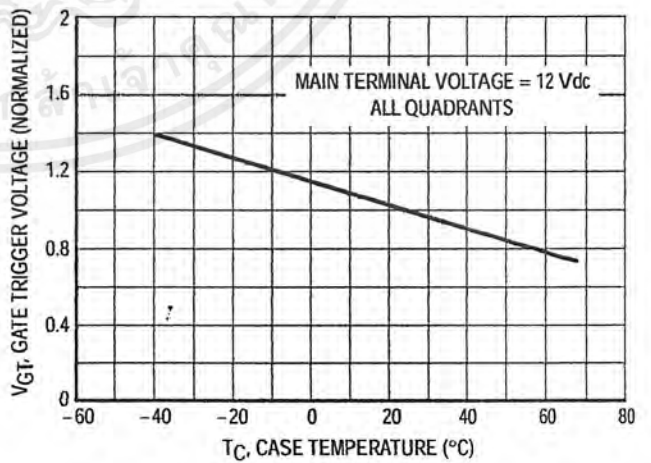


Figure 5. Typical Gate Trigger Voltage

MAC210A8FP, MAC210A10FP

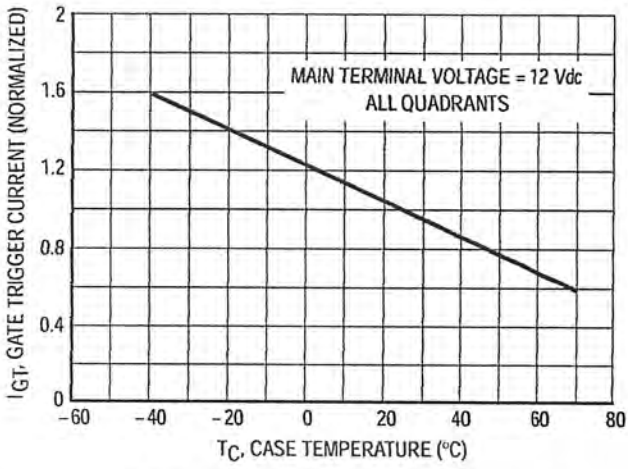


Figure 6. Typical Gate Trigger Current

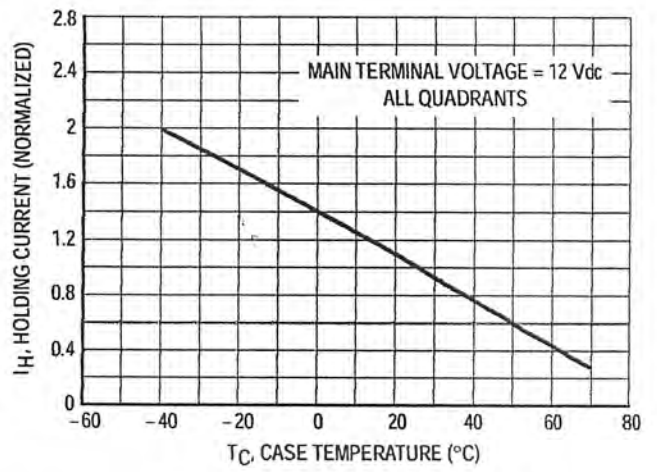


Figure 7. Typical Holding Current

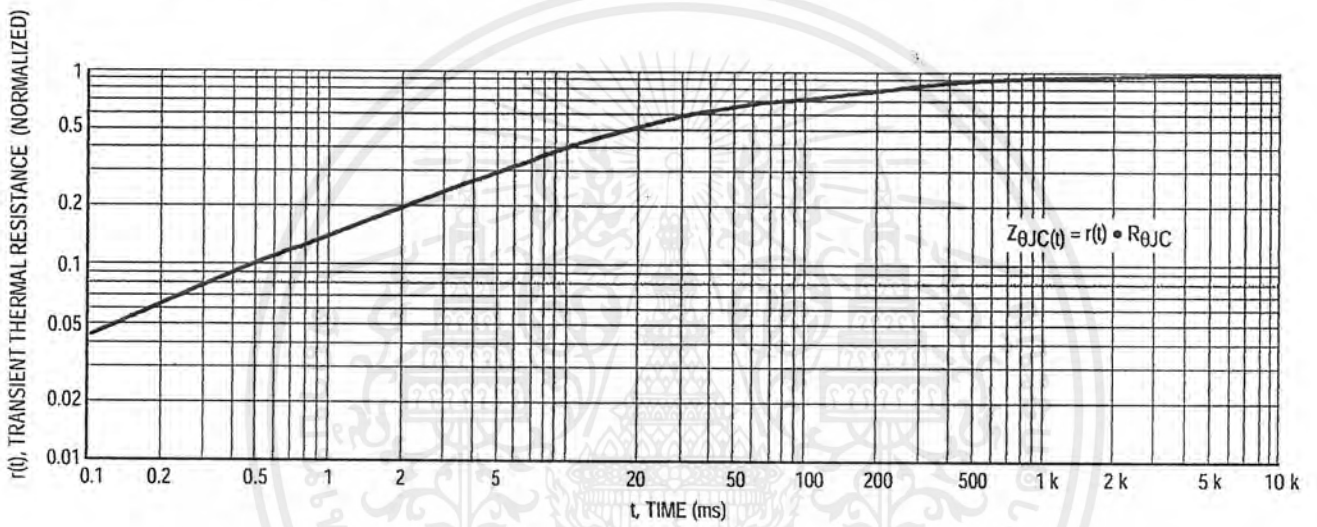
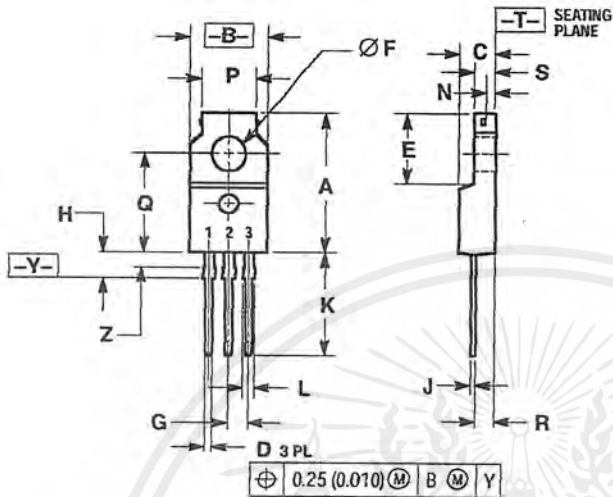


Figure 8. Thermal Response

MAC210A8FP, MAC210A10FP

PACKAGE DIMENSIONS

ISOLATED TO-220 Full Pack
CASE 221C-02
ISSUE C



- NOTES:
1. DIMENSIONING AND TOLERANCING PER ANSI Y14.5M, 1982.
 2. CONTROLLING DIMENSION: INCH.
 3. LEAD DIMENSIONS UNCONTROLLED WITHIN DIMENSION Z.

DIM	INCHES		MILLIMETERS	
	MIN	MAX	MIN	MAX
A	0.680	0.700	17.28	17.78
B	0.388	0.408	9.86	10.36
C	0.175	0.195	4.45	4.95
D	0.025	0.040	0.64	1.01
E	0.340	0.355	8.64	9.01
F	0.140	0.150	3.56	3.81
G	0.100 BSC		2.54 BSC	
H	0.110	0.155	2.80	3.93
J	0.018	0.028	0.46	0.71
K	0.500	0.550	12.70	13.97
L	0.045	0.070	1.15	1.77
N	0.049	—	1.25	—
P	0.270	0.290	6.86	7.36
Q	0.480	0.500	12.20	12.70
R	0.090	0.120	2.29	3.04
S	0.105	0.115	2.67	2.92
Z	0.070	0.090	1.78	2.28

- STYLE 3:
PIN 1. MT 1
2. MT 2
3. GATE

5414/7414 Hex Schmitt-Trigger Inverter

	Schottky TTL			High-Speed TTL			Low-Power Schottky TTL			Standard TTL			Low-Power TTL		
	Device Type	Package		Device Type	Package		Device Type	Package		Device Type	Package		Device Type	Package	
T.I.							SN54LS14	DIP	14	SN5414	DIP	14			
FAIRCHILD							SN74LS14	DIP	14	SN7414	DIP	14			
MOTOROLA							MC74LS14	DIP	14	MC7414	DIP	14			
N.S.C.							DM74LS14	DIP	14	DM7414	DIP	14			
PHILIPS							NT4LS14	DIP	14	NT414	DIP	14			
SIGNETICS							NT4LS14	DIP	14	NS414	FIP	14			
SIEMENS										17414	17414				
FUJITSU							74LS14	DIP	14						
HITACHI							HO74LS14	DIP	14	HO7414	DIP	14			
MITSUBISHI							M74LS14	DIP	14	M7414	DIP	14			
NEC										MS2214	DIP	14			
TOSHIBA															

Electrical Characteristics SN54LS14/SN74LS14

absolute maximum ratings over operating free-air temperature range			
Supply voltage, V _{CC}	TV	Operating power	SN54LS14
Input voltage	TV	Temperature range	SN74LS14
		Storage temperature range	

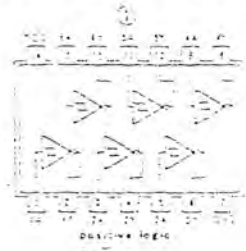
recommended operating conditions

	SN54LS14			SN74LS14			UNIT
	MIN	MAX	TYP	MIN	MAX	TYP	
Supply voltage, V _{CC}	4.5	5	5	4.75	5	5.25	V
Maximum output current, I _{OL}		-400			-400		mA
Minimum output current, I _{OH}		0		0	0		mA
Operating power dissipation, P _D	1	33		10	3		mW

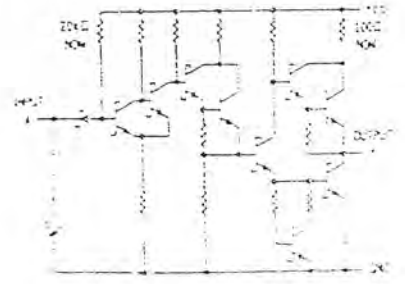
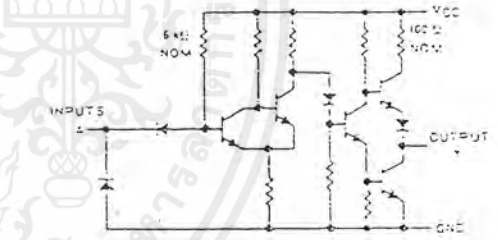
electrical characteristics over recommended operating free-air temperature range

PARAMETER	TEST CONDITIONS	MIN	TYP	MAX	UNIT
V _{T+} Positive-going threshold voltage	V _{CC} = 5V	1.1	1.6	1.5	V
V _{T-} Negative-going threshold voltage	V _{CC} = 5V	0.5	0.9	1	V
Hysteresis (V _{T+} - V _{T-})	V _{CC} = 5V	0.4	0.6	1	V
V _I Input clamp voltage	V _{CC} = MIN, I _I = -15mA			-1.5	V
V _{OH} High-level output voltage	V _{CC} = MIN, V _I = V _{T-} , I _{OL} = MAX	2.7	3.4		V
V _{OL} Low-level output voltage	V _{CC} = MIN, V _I = V _{T+} , I _{OH} = 4mA	0.25	0.4		V
I _{I+} Input current at positive-going threshold	V _{CC} = 5V, V _I = V _{T+}	-0.14		-2	mA
I _{I-} Input current at negative-going threshold	V _{CC} = 5V, V _I = V _{T-}	-0.18		-2	mA
I _I Input current at maximum input voltage	V _{CC} = MAX, V _I = 5V			2	mA
I _{IHL} High-level input current	V _{CC} = MAX, V _I = 3.5V			20	μA
I _{IL} Low-level input current	V _{CC} = MAX, V _I = 0.5V			-20	μA
I _{OL} Short-circuit output current	V _{CC} = MAX	-20		-170	mA
I _{CC} Supply current	Total output HIGH		4.5	15	mA
	Total output LOW		12	21	mA
	Average per gate	V _{CC} = 5V, 50% duty cycle		10	
t _{PLH} Propagation delay time (high-to-low-level output)	V _{CC} = 5V, T _{amb} = 25°C		15	20	nS
t _{PLL} Propagation delay time (low-to-high-level output)	V _{CC} = 5V, T _{amb} = 25°C		15	20	nS

Pin Assignment (Top View)



Schematics (each gate)



Resistor values 100-1000 are nominal and 1% tolerance

เอกสารนี้เป็นเอกสารที่สงวนลิขสิทธิ์สำหรับการใช้งานเพื่อการศึกษาเท่านั้น ไม่อนุญาตให้นำไปใช้ประโยชน์ด้านการค้า
ไม่ว่ากรณีใดๆ ทั้งสิ้น อีกทั้งห้ามมิให้ดัดแปลงเนื้อหาและต้องอ้างอิงถึงเจ้าของเอกสารทุกครั้งที่มีการนำไปใช้

5415/7415 Triple 3-Input Positive-AND Gate with Open-Collector Output

	Schottky TTL			High-Speed TTL			Low-Power Schottky TTL			Standard TTL			Low-Power TTL		
	Device Type	Package		Device Type	Package		Device Type	Package		Device Type	Package		Device Type	Package	
		C	P		M	C		P	M		C	P		M	C
T.I.	SN54LS15	14D	14W	SN54H15	14D	14W	SN54LS15	14D	14W						
	SN74LS15	14D	14W	SN74H15	14D	14W	SN74LS15	14D	14W	SN7415	14D	14W			
FAIRCHILD	FM5415/FM515	14D	14D	FM5415/FM515	14D	14D	FM5415/FM515	14D	14D						
	FM7415/FM715	14D	14D	FM7415/FM715	14D	14D	FM7415/FM715	14D	14D						
MOTOROLA							SN74LS15	14D	14W						
N.S.C.	DM74LS15	14D					DM74LS15	14D	14W						
							DM54LS15	14D	14W						
PHILIPS	N74LS15	14D					N74LS15	14D	14W						
SIGNETICS	N74LS15						N74LS15	14D	14W						
SIEMENS										FLH51	14D				
FUJITSU															
HITACHI	HD74LS15	14D					HD74LS15	14D	14W						
MITSUBISHI	MS5015	14D													
NEC															
TOSHIBA															

Electrical Characteristics SN54LS15/SN74LS15

absolute maximum ratings over operating free-air temperature range			
Supply voltage, V _{CC}	7V	Operating free-air temperature range	SN54LS15: -55°C to 125°C
Input voltage	7V	Temperature range	SN74LS15: 0°C to 70°C
Diagrams (open-emitter) voltage	7V	Storage temperature range	-55°C to 150°C
Applied to open-collector outputs		Maximum junction temperature	150°C
		Maximum power dissipation	500 mW
		Maximum input current	10 mA
		Maximum output current	10 mA
		Maximum storage time	1000 hours

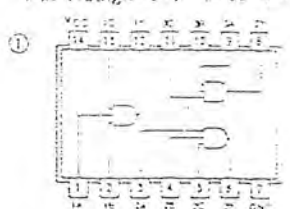
recommended operating conditions

PARAMETER	SN54LS15		SN74LS15		UNIT
	MIN	MAX	MIN	MAX	
Supply voltage, V _{CC}	4.5	5.5	4.75	5.25	V
High-level output voltage, V _{OH}		3.5		3.5	V
Low-level output current, I _{OL}		4		8	mA
Operating free-air temperature, T _A	-55	125	0	70	°C

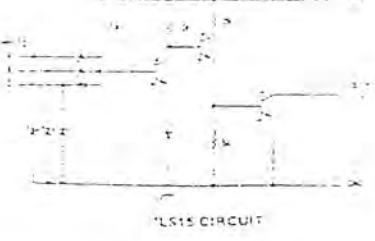
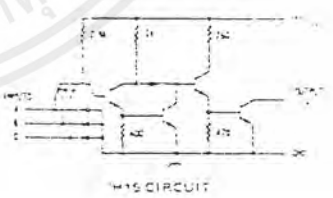
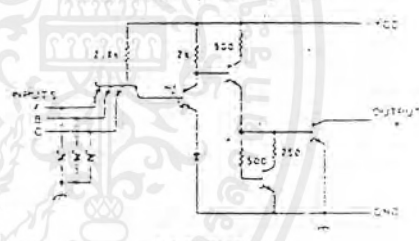
electrical characteristics over recommended operating free-air temperature range

PARAMETER	TEST CONDITIONS	MIN	TYP	MAX	UNIT
V _{IH}	High-level input voltage			2	V
V _{IL}	Low-level input voltage			0.8	V
V _I	Input clamp voltage	V _{CC} - 0.5	1.5	1.5	V
I _{OH}	High-level output current	V _{CC} = MIN, V _I = 2V, V _{OL} = 0.5V		100	μA
V _{OL}	Low-level output voltage	V _{CC} = MIN, I _{OL} = 4mA	0.25	0.4	V
I _I	Input current at maximum input voltage	V _{CC} = MAX, V _I = 2V		0.1	mA
I _{IH}	High-level input current	V _{CC} = MAX, V _I = 2.0V		20	μA
I _{IL}	Low-level input current	V _{CC} = MAX, V _I = 0.4V		-2.4	mA
I _{CCQ}	Supply current	V _{CC} = MAX, Total outputs high	1.1	3.6	mA
I _{CCP}	Supply current	V _{CC} = MAX, Total outputs low	3.3	6.6	mA
I _{CC}	Supply current	V _{CC} = 5V, Average per gate (50% duty cycle)	0.55		mA
t _{PLH}	Propagation delay time low-to-high-level output	V _{CC} = 5V, C _L = 150pF, T _A = 25°C	22	25	ns
t _{PLL}	Propagation delay time high-to-low-level output	V _{CC} = 5V, C _L = 150pF, T _A = 25°C	17	20	ns

Pin Assignment: (Top View)



Schematics (each gate)



เอกสารนี้เป็นเอกสารที่จัดทำขึ้นสำหรับการใช้งานเพื่อการศึกษาเท่านั้น ไม่อนุญาตให้ไปใช้ในโครงการค้าปลีก

ไม่มีเงื่อนไขการรับประกันใดๆ สำหรับเอกสารนี้ และขอสงวนสิทธิ์ในเอกสารทุกครั้งที่มีการนำไปใช้

5417/7417 Hex Buffer/Driver with Open-Collector High-Voltage Output

ICP	Schottky TTL		High-Speed TTL		Low-Power Schottky TTL		Standard TTL		Low-Power TTL	
	Device Type	Package	Device Type	Package	Device Type	Package	Device Type	Package	Device Type	Package
		C P M CF		C P M CF		C P M CF		C P M CF		C P M CF
T.L.							SN5417	IPD		
FAIRCHILD							SN7417	IPD		
MOTOROLA							FM5417/FM5417	IPD		
N.S.C.							DM5417	IPD		
PHILIPS							UM7417	IPD		
SIGNETICS							N7417	IPD		
SIEMENS							53417	IPD		
FUJITSU							NT417	IPD		
HITACHI							FLH4517	IPD		
MITSUBISHI							HD7417	IPD		
NEC							M7417	IPD		
TOSHIBA							TD7417	IPD		

Electrical Characteristics SN5417/SN7417

absolute maximum ratings over operating free-air temperature range

Supply voltage, V _{CC}	TV	Operating free-air temperature range	SN5417	-55°C to 125°C
Input voltage	5.5V	SN7417	0°C to 70°C	
Dist-state (tri-state) voltage applied to open-collector outputs	15V	Storage temperature range	-55°C to 150°C	

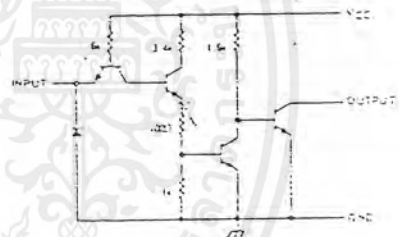
recommended operating conditions

	SN5417			SN7417			UNIT
	MIN	NOM	MAX	MIN	NOM	MAX	
Supply voltage, V _{CC}	4.5	5	5.5	4.75	5	5.25	V
High-level input voltage, V _{IH}			15			15	V
Low-level output current, I _{OL}			30			40	mA
Operating free-air temperature, T _a	-55		125			70	°C

electrical characteristics over recommended operating free-air temperature range

PARAMETER	TEST CONDITIONS	MIN	TYP	MAX	UNIT
V _{IH}	High-level input voltage		2		V
V _{IL}	Low-level input voltage		0.8		V
V _I	Input clamp voltage	V _{CC} = MIN, I _I = 12mA		-1.5	V
I _{OH}	High-level output current	V _{CC} = MIN, V _O = 2V, I _{OL} = MAX		250	μA
V _{OL}	Low-level output voltage	V _{CC} = MIN, I _{OL} = 16mA		0.4	V
I _I	Input current (3): maximum at V _I	V _{CC} = MAX, V _I = 5.5V		1	μA
I _{IH}	High-level input current	V _{CC} = MAX, V _I = 2.4V		40	μA
I _{IL}	Low-level input current	V _{CC} = MAX, V _I = 0.4V		-1.5	mA
I _{DDH}	Supply current	V _{CC} = MAX, Total outputs high		25	mA
I _{DDL}	Supply current	V _{CC} = MAX, Total outputs low		2	mA
I _{DD}	Supply current	V _{CC} = 5, Average on state (50% duty cycle)		4.1	mA
t _{PLH}	Propagation delay time, low-to-high-level output	V _{CC} = 5V, T _a = 25°C		1	ns
t _{PLL}	Propagation delay time, high-to-low-level output	C _L = 150pF, A _L = 1120		2	ns

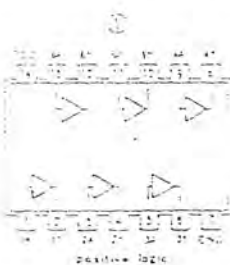
Schematic (each gate)



17 CIRCUIT

Resistor values shown are nominal and in ohms.

Pin Assignment (Top View)



เอกสารนี้เป็นเอกสารที่สงวนไว้สำหรับการใช้งานเพื่อการศึกษานี้เท่านั้น ไม่อนุญาตให้นำไปใช้ประโยชน์ด้านการค้า
 ไม่สามารถใดๆ ทั้งสิ้น อีกทั้งห้ามมิให้ตัดแปลงเนื้อหาและต้องอ้างอิงถึงเจ้าของเอกสารทุกครั้งที่มีการนำไปใช้

5425/7425 Dual 4-Input Positive-NOR Gate with Strobe

	Schottky TTL			High-Speed TTL			Low-Power Schottky TTL			Standard TTL			Low-Power TTL		
	Device Type	Package C P M CF		Device Type	Package C P M CF		Device Type	Package C P M CF		Device Type	Package C P M CF		Device Type	Package C P M CF	
T.I.										SN5425	14D	14E			
FAIRCHILD										SN7425	14DNC1	14E1			
MOTOROLA										FM5425/FM5925	10C1				
N.S.C.										CM7425	14DNC1	14E1			
PHILIPS										H7425					
SIGNETICS										H7425	14C1				
SIEMENS										FLH521					
FUJITSU															
HITACHI										H07425					
MITSUBISHI										M5325					
NEC															
TOSHIBA															

Electrical Characteristics SN5425/SN7425

absolute maximum ratings over operating free-air temperature range

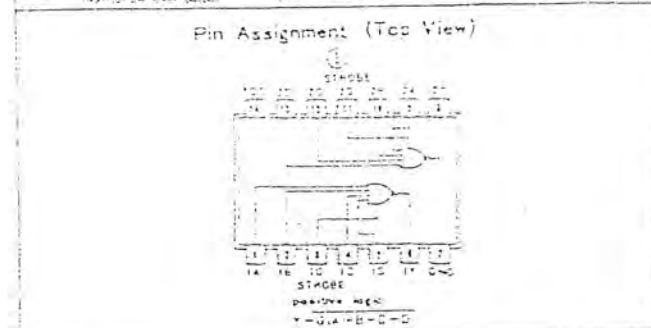
Supply voltage VCC	7V	Operating power	300mW	Storage temperature range	-55°C to 125°C
Input voltage	5.5V	Storage temperature range	300mW	Operating power	400mW to 700mW
Output voltage	5.5V	Storage temperature range	300mW	Operating power	400mW to 700mW

recommended operating conditions

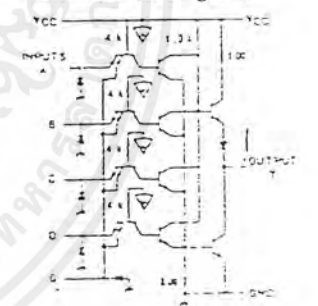
	SN5425			SN7425			UNIT
	MIN	MAX	TYP	MIN	MAX	TYP	
Supply voltage VCC	4.5	5	5.0	4.5	5	5.0	V
High-level output current IOH			-40			-40	mA
Low-level output current IOL			16			16	mA
Operating power dissipation PD	150		175	150		175	mW

electrical characteristics over recommended operating free-air temperature range

PARAMETER	TEST CONDITIONS*	MIN	TYP	MAX	UNIT
V _{IH}	High-level input voltage		2		V
V _{IL}	Low-level input voltage		0.8		V
V _I	Input clamp voltage	V _{CC} -MIN, I _I =-12mA		-1.5	V
V _{OH}	High-level output voltage	V _{CC} -MIN, I _O =-I _O MAX	2.4	3.4	V
V _{OL}	Low-level output voltage	V _{CC} -MIN, V _I =2V, I _O =I _O MAX	0.2	0.4	V
I _I	Input current at maximum input voltage	V _{CC} -MAX, V _I =5.5V		1	mA
I _{IH}	High-level input current	Data inputs: V _{CC} -MAX, V _I =2.4V Strobe at 25		40	μA
I _{IL}	Low-level input current	Data inputs: V _{CC} -MAX, V _I =0.4V Strobe at 25		-6.4	μA
I _{OL}	Short-circuit output current*	V _{CC} -MAX, V _O =0	154 (Fan-out 10) 174 (Fan-out 15)	-15	mA
I _{CC}	Supply current	V _{CC} -MAX (I _O total, outputs high)		1	10 mA
I _{CC}	Supply current	V _{CC} -MAX (I _O total, outputs low)		10	10 mA
I _{CC}	Supply current	V _{CC} -5V (Average per gate, I _O total, outputs low)		2.25	mA
t _{PHL}	Propagation delay time (high-to-low output)	V _{CC} -5V, T _A =25°C		10	20 ns
t _{PLH}	Propagation delay time (low-to-high output)	C _L =15pF, T _A =25°C		1	15 ns



Schematic (each gate)



*25°C CIRCUIT
Resistor values shown are nominal and in ohms

*For conditions shown as MIN or MAX, use the appropriate value specified under recommended operating conditions.
 *All input signals are at V_{CC}/2.
 *For more than one output, should be started at a time.
 เอกสารนี้จัดทำขึ้นเพื่อการศึกษาเท่านั้น ไม่นอนุญาตให้นำไปใช้ประโยชน์ด้านการค้า
 ไม่ว่ากรณีใดๆ ทั้งสิ้น อีกทั้งห้ามมิให้ดัดแปลงเนื้อหาและต้องอ้างอิงถึงเจ้าของเอกสารทุกครั้งที่มีการนำไปใช้

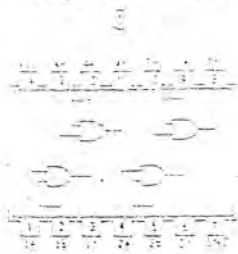
5432/7432 Quadruple 2-Input Positive-OR Gate

	Schottky TTL			High-Speed TTL			Low-Power Schottky TTL			Standard TTL			Low-Power TTL		
	Device Type	Package		Device Type	Package		Device Type	Package		Device Type	Package		Device Type	Package	
		C P M CF			C P M CF			C P M CF			C P M CF			C P M CF	
T.I.	SN54S32	U D	W G				SN74LS32	U D	W G	SN5432	U D	W G			
	SN74S32	U D	W G				SN74LS32	U D	W G	SN7432	U D	W G			
FAIRCHILD	DM54S32/FM54S32	U D	W G				DM74LS32/FM74LS32	U D	W G	DM5432/FM5432	U D	W G			
	DM74S32/FM74S32	U D	W G				DM74LS32/FM74LS32	U D	W G	DM7432/FM7432	U D	W G			
MOTOROLA															
N.S.C.							DM54LS32	U D	W G	DM7432	U D	W G	DM74LS32	U D	W G
							DM74LS32	U D	W G	DM7432	U D	W G	DM74LS32	U D	W G
PHILIPS	SN5432	U D	W G				N74LS32	U D	W G	N7432	U D	W G			
SIGNETICS							N74LS32	U D	W G	7432	U D	W G			
SIEMENS										FLH621	U D	W G			
FUJITSU							74LS32	U D	W G						
HITACHI							HD74LS32	U D	W G	HD7432	U D	W G			
MITSUBISHI							MS74LS32	U D	W G						
NEC							74LS32	U D	W G						
TOSHIBA															

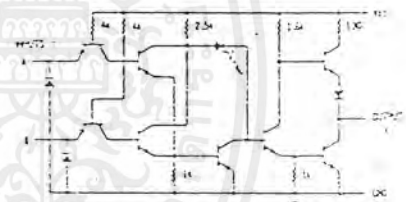
Electrical Characteristics SN54LS32/SN74LS32

absolute maximum ratings over operating free-air temperature range					
Supply voltage, VCC	24	Operating voltage, SN54LS32	-55°C to 125°C		
Input voltage	24	Operating voltage, SN74LS32	0°C to 175°C		
		Storage temperature range	-65°C to 150°C		
recommended operating conditions					
		SN54LS32	SN74LS32		
		MIN	MAX		
Supply voltage, VCC	4.5	5	15		
Maximum output current, IOH		-40	-4		
Maximum output current, IOL		8	16		
Operating free-air temperature, Ta	-55	0	75		
electrical characteristics over recommended operating free-air temperature range					
PARAMETER	TEST CONDITIONS*	MIN	TYP	MAX	UNIT
Vih	High-level input voltage		2		V
Vil	Low-level input voltage		0.8		V
Vi	Input clamp voltage	VCC-MIN	0.1	1.5	V
Voh	High-level output voltage	VCC-MIN	2.7	3.1	V
Vol	Low-level output voltage	VCC-MIN	0.05	0.4	V
Ii	Input current at maximum input voltage	VCC-MAX	0	1	mA
Iih	High-level input current	VCC-MAX	0	1	mA
Iil	Low-level input current	VCC-MAX	0	1	mA
Ios	Short-circuit output current†	VCC-MAX	15	50	mA
Icc	Supply current	VCC-MAX	3.1	5.0	mA
Icch	Supply current	VCC-MAX	4.5	8.2	mA
Iccl	Supply current	VCC-MAX	1.0	4	mA
tPLH	Propagation delay time (low-to-high-level output)	VCC-MAX, CL=10pF	14	22	ns
tPLL	Propagation delay time (high-to-low-level output)	VCC-MAX, CL=10pF	14	22	ns

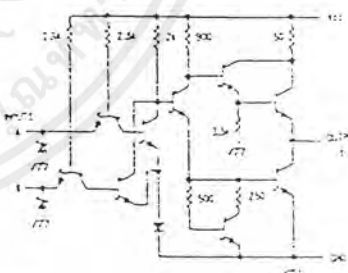
Pin Assignment (Top View)



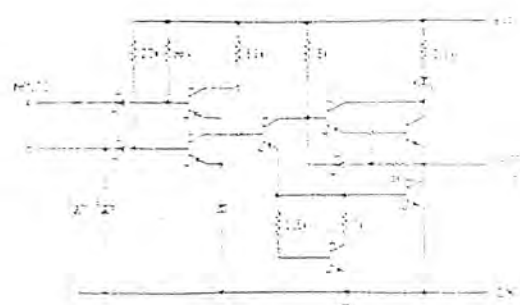
Schematics (each gate)



5432 CIRCUIT



7432 CIRCUIT



LS32 CIRCUIT

เอกสารนี้เป็นเอกสารที่สงวนไว้สำหรับการใช้งานที่ถูกต้องเท่านั้น ไม่อนุญาตให้แก้ไขหรือเปลี่ยนแปลงเนื้อหาและต้องอ้างอิงถึงเจ้าของเอกสารทุกครั้งที่มีการนำไปใช้

54133/74133 13-Input Positive-NAND Gate

	Schottky TTL		High-Speed TTL		Low-Power Schottky TTL		Standard TTL		Low-Power TTL	
	Device Type	Package CIPIMCF	Device Type	Package CIPIMCF	Device Type	Package CIPIMCF	Device Type	Package CIPIMCF	Device Type	Package CIPIMCF
T.I.	SN74S133	12	SN74S133	12	SN74S133	12	SN74S133	12	SN74S133	12
FARCHILD	74S133	12	74S133	12	74S133	12	74S133	12	74S133	12
MOTOROLA	74S133	12	74S133	12	74S133	12	74S133	12	74S133	12
N.S.C.	74S133	12	74S133	12	74S133	12	74S133	12	74S133	12
PHILIPS	74S133	12	74S133	12	74S133	12	74S133	12	74S133	12
SGNETHICS	74S133	12	74S133	12	74S133	12	74S133	12	74S133	12
SEMENS	74S133	12	74S133	12	74S133	12	74S133	12	74S133	12
FUJITSU	74S133	12	74S133	12	74S133	12	74S133	12	74S133	12
HTACHI	74S133	12	74S133	12	74S133	12	74S133	12	74S133	12
MITSUBISHI	74S133	12	74S133	12	74S133	12	74S133	12	74S133	12
NEC	74S133	12	74S133	12	74S133	12	74S133	12	74S133	12
TOSHIBA	74S133	12	74S133	12	74S133	12	74S133	12	74S133	12

Electrical Characteristics SN74S133 SN74S133

absolute maximum ratings over operating free-air temperature range

Supply voltage V _{CC}	5V	Operating power	SN74S	-55°C to 125°C
Input voltage	5.5V	Temperature range	SN74S	0°C to 100°C
Output voltage	5.5V	Storage temperature range	SN74S	-65°C to 150°C

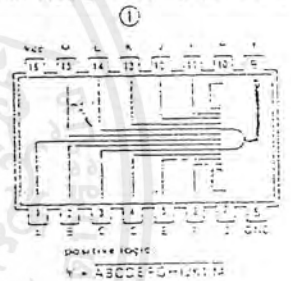
recommended operating conditions

	SN74S133	SN74S133	UNIT
	MIN	MAX	
Supply voltage V _{CC}	4.5	5.5	V
Maximum output current I _{OL}	100	100	mA
Leakage output current I _{CC}	20	20	μA
Operating power temperature T _a	0	75	°C

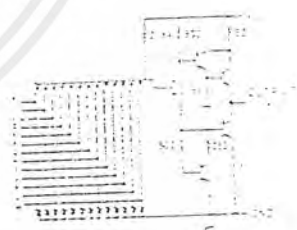
electrical characteristics over recommended operating free-air temperature range

PARAMETER	TEST CONDITIONS*	MIN. TYP. MAX. UNIT	
V _{IH}	High-level input voltage	2.0	V
V _{IL}	Low-level input voltage	0.8	V
V _I	Input clamp voltage	V _{CC} MIN., I _I = -1.5 mA	-1.5 V
V _{OH}	High-level output voltage	V _{CC} MIN., I _O = 10 mA, I _{CC} = 0.1 mA	2.0 V
V _{OL}	Low-level output voltage	V _{CC} MIN., I _O = 10 mA, I _{CC} = 0.1 mA	0.5 V
I _I	Input current at maximum input voltage	V _{CC} = MAX., V _I = 5 V	1.0 mA
I _{IH}	High-level input current	V _{CC} = 5.0 V, V _I = 2.0 V	50 μA
I _{IL}	Low-level input current	V _{CC} = MAX., V _I = 0.8 V	-70 μA
I _{OS}	Short-circuit output current	V _{CC} = MAX.	-40 to -100 mA
I _{CC}	Supply current	V _{CC} = MAX., I _O = 10 mA, I _I = 0	5 mA
I _{CC0}	Supply current	V _{CC} = MAX., I _O = 0, I _I = 0	1.5 mA
I _{CC1}	Supply current	V _{CC} = 5 V, I _O = 10 mA, I _I = 0	4.0 mA
t _{PLH}	Propagation delay time (low-to-high-level output)	V _{CC} = 5 V, I _O = 10 mA, I _I = 0, t _{PLH} = 10% to 90%	8 ns
t _{PLL}	Propagation delay time (high-to-low-level output)	V _{CC} = 5 V, I _O = 10 mA, I _I = 0, t _{PLL} = 10% to 90%	8 ns

Pin Assignment: (Top View)



Schematic (each gate)



5133 CIRCUIT

เอกสารนี้เป็นเอกสารที่สงวนลิขสิทธิ์ไว้สำหรับบริการโฆษณาเพื่อการศึกษาเท่านั้น ไม่อนุญาตให้นำไปใช้ประโยชน์ด้านการค้า
ไม่ว่ากรณีใดๆ ทั้งสิ้น อีกทั้งห้ามมิให้ตัดแปลงเนื้อหาและต้องอ้างอิงถึงเจ้าของเอกสารทุกครั้งที่มีการนำไปใช้

54136/74136 Quaduple 2-Input Exclusive-OR Gate with Open-Collector Output

	Schottky TTL			High-Speed TTL			Low-Power Schottky TTL			Standard TTL			Low-Power TTL		
	Device Type	Package C P M CF		Device Type	Package C P M CF		Device Type	Package C P M CF		Device Type	Package C P M CF		Device Type	Package C P M CF	
T. I.							SN54LS136	14	16	18	SN54136	14	16	18	
FAIRCHILD							SN74LS136	14	16	18	SN74136	14	16	18	
MOTOROLA							SN74LS136	14	16	18	MC14136	14	16	18	
N. S. C.	CM74LS136						CM74LS136	14	16	18					
PHILIPS							74LS136	14	16	18					
SIGNETICS							74LS136	14	16	18					
SIEMENS															
FUJITSU															
HITACHI							HD74LS136	14	16	18	HD74136	14	16	18	
MTSUBISHI															
NEC															
TOSHIBA															

Electrical Characteristics SN54LS136/SN74LS136

absolute maximum ratings over operating free-air temperature range

Supply voltage, V _{CC}	3V	Operating level	SN54LS136: -55°C to 125°C
Input voltage	2V	Temperature range	SN74LS136: 0°C to 70°C
		Storage temperature range	-55°C to 150°C

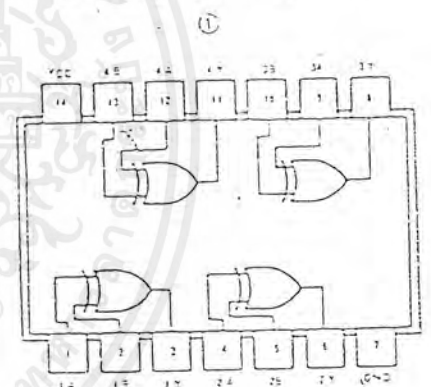
recommended operating conditions

	SN54LS136	SN74LS136	UNIT				
	MIN	NOM	MAX	MIN	NOM	MAX	
Supply voltage, V _{CC}	4.5	5	5.5	4.75	5	5.25	V
High-level output voltage, V _{OH}			5.5			5.5	V
Low-level output current, I _{OL}			4			4	mA
Operating free temperature, T _a	-55		125	0		70	°C

electrical characteristics over recommended operating free-air temperature range

PARAMETER*	TEST CONDITIONS*	MIN	TYP†	MAX	UNIT
V _{OH}	High-level input voltage	2		5	V
V _{OL}	Low-level input voltage			0.8	V
I _{IL}	High-level input current	V _{OH} = 5V		-1	mA
I _{OL}	Low-level input current	V _{OL} = 0.8V		1	mA
V _{OH}	High-level output voltage	V _{OH} = 5V		5.5	V
V _{OL}	Low-level output voltage	V _{OL} = 0.8V		0.8	V
I _{OH}	High-level output current	V _{OH} = 5V		0	mA
I _{OL}	Low-level output current	V _{OL} = 0.8V		4	mA
I _{CC}	Supply current (no high-level outputs)	V _{CC} = 5V		10	mA
I _{CC}	Supply current (all high-level outputs)	V _{CC} = 5V		15	mA
t _{PLH}	Propagation delay (low to high)	V _{OH} = 5V		15	nS
t _{PLH}	Propagation delay (high to low)	V _{OL} = 0.8V		15	nS
t _{PHL}	Propagation delay (high to low)	V _{OL} = 0.8V		15	nS
t _{PLH}	Propagation delay (low to high)	V _{OH} = 5V		15	nS

Pin Assignment (Top View)



positive logic: 1 = 400, 1B = 00

Function Table

74LS136

INPUT	OUTPUT	
A	B	F
L	L	L
L	H	H
H	L	H
H	H	L

NOTE: I_{CC} is measured with one input of each gate at 4.5V and the other inputs grounded, and the outputs open.

เอกสารนี้เป็นเอกสารที่สงวนไว้สำหรับการใช้งานเพื่อการศึกษาเท่านั้น ไม่อนุญาตให้ทำไปโดยละเมิดลิขสิทธิ์ของทางราชการ

ไม่ว่ากรณีใดก็ตาม ขอสงวนสิทธิ์ในเนื้อหาและต้องอ้างอิงถึงเจ้าของเอกสารทุกครั้งที่มีการนำไปใช้

54244/74244 Octal Buffers/Line Drivers/Line Receivers

	Schottky TTL		High-Speed TTL		Low-Power Schottky TTL		Standard TTL		Low-Power TTL	
	Device Type	Package CIPIMCF	Device Type	Package CIPIMCF	Device Type	Package CIPIMCF	Device Type	Package CIPIMCF	Device Type	Package CIPIMCF
T. I.					SN54LS244	U, D, J				
FAIRCHILD					SN74LS244	U, D, J, G				
MOTOROLA										
N. S. C.										
PHILIPS										
SIGNETICS										
SIEMENS										
FUJITSU										
HITACHI										
MITSUBISHI										
NEC										
TOSHIBA										

Electrical Characteristics SN54LS244/SN74LS244

absolute maximum ratings over operating free-air temperature range			
Supply voltage, VCC	TV	Operating free-air temperature range	SN54LS: 55°C to 125°C SN74LS: 0°C to 70°C
Input voltage	5.5V	Storage temperature range	-55°C to 150°C
Intermittent voltage	5.5V		

recommended operating conditions						
	LS54LS244		SN74LS244		UNIT	
	MIN	NCM	MAX	MIN	MAX	
Supply voltage, VCC	4.5	5	5.5	4.75	5	V
High-level output current, IOH			12		15	mA
Low-level output current, IOL			12		24	mA
Operating free-air temperature, Ta	55		125	0	70	°C

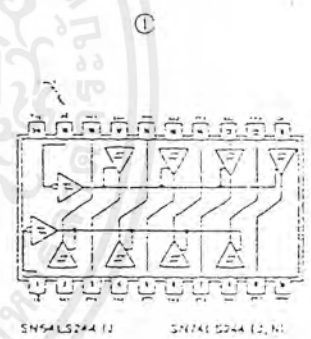
Electrical characteristics over recommended operating free-air temperature range (unless otherwise noted)

PARAMETER	TEST CONDITIONS	SN74LS		UNIT		
		MIN	TYP		MAX	
Vih	High-level input voltage		2	V		
Vil	Low-level input voltage		0.8	V		
Vin	Input clamp voltage	VCC - MIN	Iin = 10 mA	-1.5	V	
	High-level (VI - VT)	VCC - MIN	0.2	0.4	V	
VOH	High-level output voltage	VCC - MIN, VIL = 0V, IOL = IOLmax, IO = I - 3 mA	2.4	2.4	V	
		VCC - MIN, VIH = 2V, IOL = IOLmax				
		VIL = 0.5V, IO = IOLmax				
VOL	Low-level output voltage	VCC - MIN, VIH = 2V, IOL = IOLmax		0.4	V	
		VIL = 2V, IOL = IOLmax		0.5		
		VIL = VILmax, IOL = IOLmax				
IOO	Off-state output current, high-level voltage applied	VCC - MAX, VIH = 2V		20	µA	
IOOL	Off-state output current, low-level voltage applied	VIL = VILmax, VCC = 0.4V		-20	µA	
II	Input current at maximum input voltage	VCC - MAX, VIH = 2V		1	mA	
IIH	High-level input current at input	VCC - MAX, VIH = 2V		20	µA	
IIOL	Low-level input current	VCC - MAX, VIL = 0.4V		-20	µA	
IOS	Steady-state output current	VCC - MAX	I = 40	-200	mA	
IOL	Supply current	Outputs high	VCC - MAX	2	12	mA
		Outputs low	LS244	21	46	
		All outputs (LS244)	LS244	20	34	

Switching characteristics VCC = 5V, Ta = 25°C

PARAMETER	TEST CONDITIONS	MIN	TYP	MAX	UNIT
tPLH	Propagation delay time, low-to-high-level output		7	14	ns
tPLL	Propagation delay time, high-to-low-level output	CL = 15 pF, VIL = 0.8V, See Note 2	12	15	ns
tPHL	Output enable time to high level		25	25	ns
tPLZ	Output enable time to low level		15	22	ns
tOLH	Output enable time from low level	CL = 50 pF, R1 = 100 Ω	15	25	ns
tOLZ	Output enable time from non-rev	See Note 2	15	18	ns

Pin Assignment (Top View)



เอกสารนี้เป็นเอกสารของบริษัทที่สงวนลิขสิทธิ์ไว้ ห้ามทำซ้ำโดยไม่ได้รับอนุญาตให้ไปใช้ประโยชน์ด้านการค้า
ไม่ว่าการถกเถียงหรือข้อพิพาทใดๆก็ตามเกี่ยวกับเอกสารฉบับนี้จะต้องอ้างถึงเจ้าของเอกสารทุกครั้งที่มีการนำไปใช้

54279/74279 Quadruple S-R Latch

	Schottky TTL			High-Speed TTL			Low-Power Schottky TTL			Standard TTL			Low-Power TTL		
	Device Type	Package		Device Type	Package		Device Type	Package		Device Type	Package		Device Type	Package	
		C	P	M	I	M	C	P	M	C	P	M	C	P	M
T.I.							SN54LS279	16	16	16	SN54279	16	16	16	
FAIRCHILD							74ALS279	16	16	16	74ALS279	16	16	16	
MOTOROLA							74ALS279	16	16	16	74ALS279	16	16	16	
N.S.C.															
PHILIPS							74ALS279	16	16	16	74ALS279	16	16	16	
SIGNETICS															
SIEMENS															
FUJITSU							74ALS279	16	16	16					
HTACHI							74ALS279	16	16	16	74ALS279	16	16	16	
MITSUBISHI							74ALS279	16	16	16					
NEC							74ALS279	16	16	16					
TOSHIBA							74ALS279	16	16	16					

Electrical Characteristics SN54LS279, SN74LS279

absolute maximum ratings over operating free-air temperature range

supply voltage V _{CC}	5V	Operating temperature	SN54LS279	-55°C to +125°C
storage voltage	5V	temperature range	SN74LS279	-55°C to +100°C
		Storage temperature range		-65°C to +150°C

recommended operating conditions

PARAMETER	SN54LS279		SN74LS279		UNIT
	MIN.	MAX.	MIN.	MAX.	
Supply voltage V _{CC}	4.5	5	4.5	5	V
Operating temperature range	-55	+125	-55	+100	°C
Storage temperature range	-65	+150	-65	+150	°C

Function Table
74279

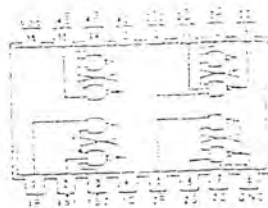
INPUTS		OUTPUT
S	R	C
H	H	C ₀
L	H	H
H	L	L
L	L	H*

H = high level
L = low level
C₀ = the level of Q before the indicated input conditions were established
*74ALS output level is pseudo stable, that is, it may not persist when the S and R inputs return to their inactive (high) level.
†For latches with double S inputs:
H = both S inputs high
L = one or both S inputs low

electrical characteristics over recommended operating free-air temperature range

PARAMETER	TEST CONDITIONS†	MIN.	TYP.	MAX.	UNIT
V _{OH}	H (high-level) input voltage	2.7		5	V
V _{OL}	L (low-level) input voltage	0		0.8	V
V _{OC}	output trip voltage	V _{CC} - 0.4	0.4	V _{CC}	V
V _{OH}	high-level output voltage	V _{CC} - 0.1	0.1	0.2	V
V _{OL}	low-level output voltage	0.1	0.1	0.2	V
I _{OH}	output current at maximum high voltage	V _{CC} = 5V	0	4	mA
I _{OL}	output current at maximum low voltage	V _{CC} = 5V	0	20	mA
I _{OH}	high-level input current	V _{CC} = 5V	0	1	mA
I _{OL}	low-level input current	V _{CC} = 5V	0	1	mA
I _{OS}	short-circuit output current*	V _{CC} = 5V	SN54LS279	20	mA
I _{OL}	Supply current	V _{CC} = 5V	SN74LS279	20	mA
t _{PLH}	Propagation delay time (high-to-low) (high-level input from S input)	V _{CC} = 5V T _A = 25°C		12	ns
t _{PLL}	Propagation delay time (low-to-low) (low-level input from S input)	V _{CC} = 5V T _A = 25°C		10	ns
t _{PHL}	Propagation delay time (high-to-high) (high-level input from S input)	V _{CC} = 5V T _A = 25°C		12	ns

Pin Assignment: (Top View)



เอกสารนี้เป็นเอกสารที่สงวนไว้สำหรับกรใช้งานเพื่อการศึกษานานี้ ไม่อนุญาตให้นำไปใช้ประโยชน์ทางการค้า
ไม่ว่ากรณีใด ๆ ทั้งสิ้น กรุณาแจ้งให้ทราบถึงที่มาและต้องอ้างอิงถึงเจ้าของเอกสารทุกครั้งที่มีการนำไปใช้

TP5089 DTMF (TOUCH-TONE) Generator

General Description

The TP5089 is a low threshold voltage, field-implemented, metal gate CMOS integrated circuit. It interfaces directly to a standard telephone keypad and generates all dual tone multi-frequency pairs required in tone-dialing systems. The tone synthesizers are locked to an on-chip reference oscillator using an inexpensive 3.579545 MHz crystal for high tone accuracy. The crystal and an output load resistor are the only external components required for tone generation. A MUTE OUT logic signal, which changes state when any key is depressed, is also provided.

Features

- 3.5V-10V operation when generating tones
- 2V operation of keyscan and MUTE logic
- Static sensing of key closures or logic inputs
- On-chip 3.579545 MHz crystal-controlled oscillator
- Output amplitudes proportional to supply voltage
- High group pre-emphasis
- Low harmonic distortion
- Open emitter-follower low-impedance output
- SINGLE TONE INHIBIT pin

Block Diagram

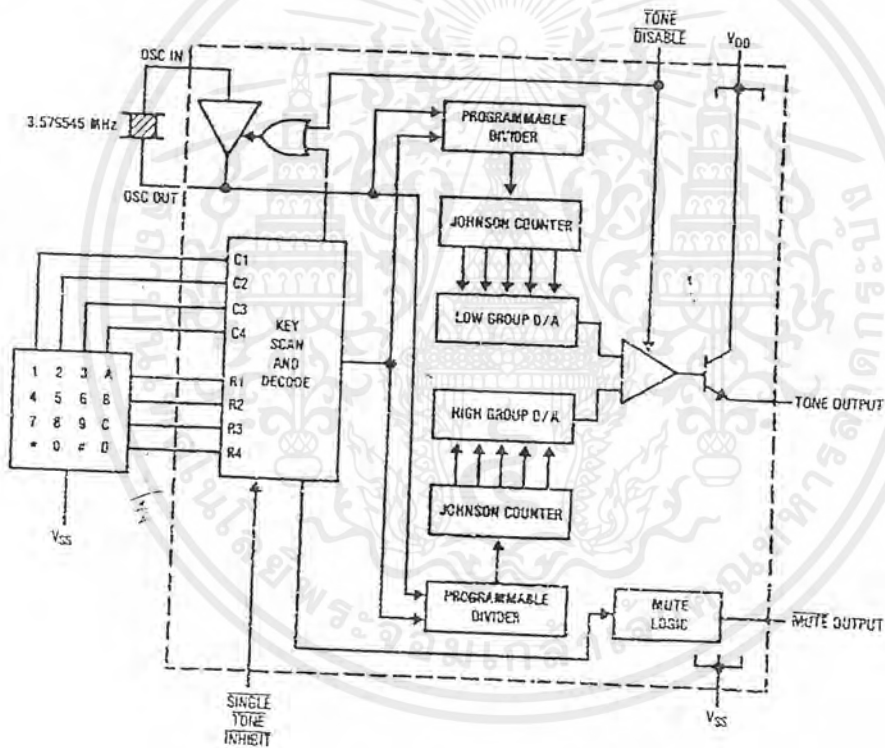


FIGURE 1

TL/H/5057-1

เอกสารนี้เป็นเอกสารที่สงวนไว้สำหรับการใช้งานเพื่อการศึกษาเท่านั้น ไม่อนุญาตให้นำไปใช้ประโยชน์ด้านการค้า
ไม่ว่ากรณีใดๆ ทั้งสิ้น อีกทั้งห้ามมิให้ตัดแปลงเนื้อหาและต้องอ้างอิงถึงเจ้าของเอกสารทุกครั้งที่มีการนำไปใช้

Functional Description (Continued)

TABLE I. Output Frequency Accuracy

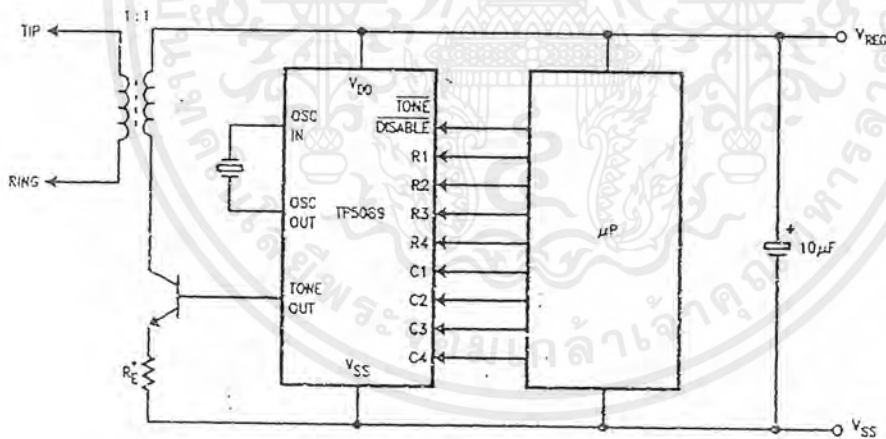
Tone Group	Valid Input	Standard DTMF (Hz)	Tone Output Frequency	% Deviation from Standard
Low Group f_L	R1	697	694.8	-0.32
	R2	770	770.1	+0.02
	R3	852	852.4	+0.03
	R4	941	940.0	-0.11
High Group f_H	C1	1209	1206.0	-0.24
	C2	1336	1331.7	-0.32
	C3	1477	1486.5	+0.64
	C4	1633	1639.0	+0.37

TABLE II. Functional Truth Table

SINGLE TONE INHIBIT	TONE DISABLE	ROW	COLUMN	TONE OUT		MUTE
				Low	High	
X	0	O/C	O/C	0V	0V	O/C
X	X	O/C	O/C	0V	0V	O/C
X	0	One	One	V_{OS}	V_{OS}	0
X	1	One	One	f_L	f_H	0
1	1	2 or More	One	—	f_H	0
1	1	One	2 or More	f_L	—	0
1	1	2 or More	2 or More	V_{OS}	V_{OS}	0
0	1	2 or More	One	V_{OS}	V_{OS}	0
0	1	One	2 or More	V_{OS}	V_{OS}	0
0	1	2 or More	2 or More	V_{OS}	V_{OS}	0

Note 1: X is don't care state.

Note 2: V_{OS} is the output offset voltage.



*Adjust R_C for desired tone amplitude.

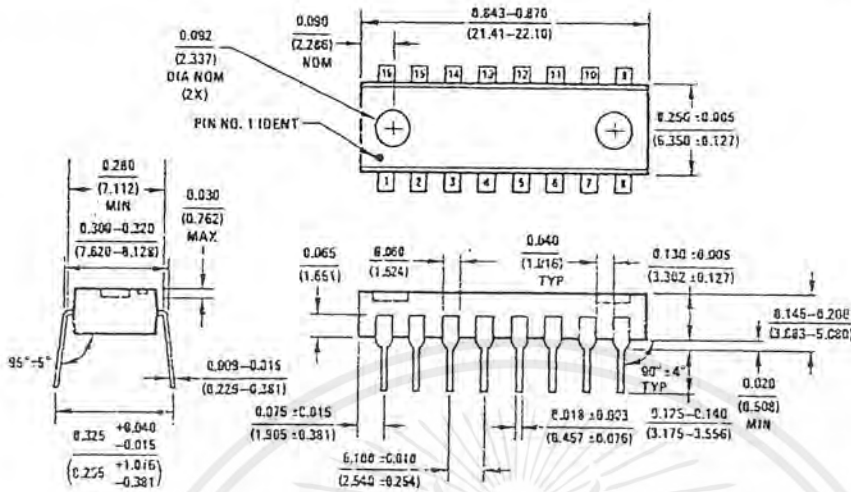
FIGURE 2. Typical Application

TL/H/5057-3

เอกสารนี้เป็นเอกสารที่สงวนไว้สำหรับการใช้งานเพื่อการศึกษาเท่านั้น ไม่อนุญาตให้นำไปใช้ประโยชน์ด้านการค้า
ไม่ว่ากรณีใดๆ ทั้งสิ้น อีกทั้งห้ามมิให้ตัดแปลงเนื้อหาและต้องอ้างอิงถึงเจ้าของเอกสารทุกครั้งที่มีการนำไปใช้

Physical Dimensions inches (millimeters)

Lit. # 113986



Molded Dual-In-Line Package (N)
Order Number TP5089N
NS Package N16A

HTX (REV 4)

LIFE SUPPORT POLICY

NATIONAL'S PRODUCTS ARE NOT AUTHORIZED FOR USE AS CRITICAL COMPONENTS IN LIFE SUPPORT DEVICES OR SYSTEMS WITHOUT THE EXPRESS WRITTEN APPROVAL OF THE PRESIDENT OF NATIONAL SEMICONDUCTOR CORPORATION. As used herein:

1. Life support devices or systems are devices or systems which, (a) are intended for surgical implant into the body, or (b) support or sustain life, and whose failure to perform, when properly used in accordance with instructions for use provided in the labeling, can be reasonably expected to result in a significant injury to the user.
2. A critical component is any component of a life support device or system whose failure to perform can be reasonably expected to cause the failure of the life support device or system, or to affect its safety or effectiveness.



National Semiconductor Corporation
1111 West Bend Road
Aurora, TX 76017
Tel: (817) 274-1928
Fax: (800) 737-7012

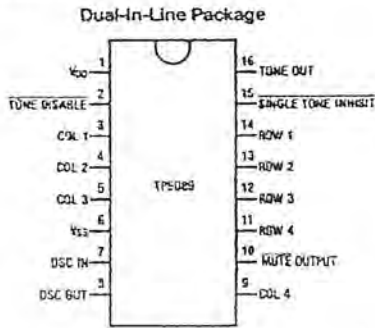
National Semiconductor Europe
Fax: (+43) 0-180-530 85 85
Email: europe@nsc.com
Deutsch: Tel: (+43) 0-180-530 85 85
English: Tel: (+43) 0-180-532 78 32
Frang.

National Semiconductor Hong Kong Ltd.
12th Floor, Straight Block,
Ocean Centre, 5 Canton Road,
Tsimshatsui, Kowloon
Hong Kong

National Semiconductor Japan Ltd.
Tel: 81-043-299-2309
Fax: 81-043-295-2403

เอกสารนี้เป็นเอกสารที่สงวนไว้สำหรับการใช้งานเพื่อการศึกษาเท่านั้น ไม่อนุญาตให้นำไปใช้ประโยชน์ด้านการค้า
ไม่ว่ากรณีใดๆ ทั้งสิ้น อีกทั้งห้ามมิให้ดัดแปลงเนื้อหาและต้องอ้างอิงถึงเจ้าของเอกสารทุกครั้งที่มีการนำไปใช้

Connection Diagram



Top View

Order Number TP5069N
See NS Package N16A

TP5069-2

Pin Descriptions

Symbol	Description
V _{DD}	This is the positive voltage supply to the device, referenced to V _{SS} . The collector of the TONE OUT transistor is connected to this pin.
V _{SS}	This is the negative voltage supply. All voltages are referenced to this pin.
OSC IN, OSC OUT	All tone generation timing is derived from the on-chip oscillator circuit. A low cost 3.579545 MHz A-cut crystal (NTSC TV color-burst) is needed between pins 7 and 8. Load capacitors and a feedback resistor are included on-chip for good start-up and stability. The oscillator stops when column inputs are sensed with no valid input having been detected. The oscillator is also stopped when the TONE DISABLE input is pulled to logic low.
Row and Column Inputs	When no key is pushed, pull-up resistors are active on row and column inputs. A key closure is recognized when a single row and a single column are connected to V _{SS} , which starts the oscillator and initiates tone generation. Negative-true logic signals simulating key closures can also be used.
TONE DISABLE Input	The TONE DISABLE input has an internal pull-up resistor. When this input is open or at logic high, the normal tone output mode will occur. When TONE DISABLE input is at logic low, the device will be in the inactive mode, TONE OUT will be at an open circuit state.

Symbol

MUTE Output

Description

The MUTE output is an open-drain N-channel device that sinks current to V_{SS} with any key input and is open when no key input is sensed. The MUTE output will switch regardless of the state of the SINGLE TONE INHIBIT input.

SINGLE TONE INHIBIT Input

The SINGLE TONE INHIBIT input is used to inhibit the generation of other than valid tone pairs due to multiple row-column closures. It has a pull-down resistor to V_{SS}, and when left open or tied to V_{SS} any input condition that would normally result in a single tone will now result in no tone, with all other functions operating normally. When tied to V_{DD}, single or dual tones may be generated, see Table II.

TONE OUT

This output is the open emitter of an NPN transistor, the collector of which is connected to V_{DD}. When an external load resistor is connected from TONE OUT to V_{SS}, the output voltage on this pin is the sum of the high and low group sine-waves superimposed on a DC offset. When not generating tones, this output transistor is turned OFF to minimize the device idle current. Adjustment of the emitter load resistor results in variation of the mean DC current during tone generation, the sine-wave signal current through the output transistor, and the output distortion. Increasing values of load resistance decrease both the signal current and distortion.

Functional Description

With no key inputs to the device the oscillator is inhibited, the output transistor is pulled OFF and device current consumption is reduced to a minimum. Key closures are sensed statically. Any key closure activates the MUTE output, starts the oscillator and sets the high group and low group programmable counters to the appropriate divide ratio. These counters sequence two ratioed-capacitor D/A converters through a series of 28 equal duration steps per sine-wave cycle. The two tones are summed by a mixer amplifier, with pre-emphasis applied to the high group tone. The output is an NPN emitter-follower requiring the addition of an external load resistor to V_{SS}. This resistor facilitates adjustment of the signal current flowing from V_{DD} through the output transistor.

The amplitude of the output tones is directly proportional to the device supply voltage.

Absolute Maximum Ratings

If Military/Aerospace specified devices are required, please contact the National Semiconductor Sales Office/Distributors for availability and specifications.

Supply Voltage ($V_{DD} - V_{SS}$) 15V
 Maximum Voltage at Any Pin $V_{DD} + 0.3V$ to $V_{SS} - 0.3V$

Operating Temperature -30°C to $+60^{\circ}\text{C}$
 Storage Temperature -55°C to $+150^{\circ}\text{C}$
 Maximum Power Dissipation 500 mW

Electrical Characteristics Unless otherwise noted, limits printed in BOLD characters are guaranteed for $V_{DD} = 3.5V$ to $10V$, $T_A = 0^{\circ}\text{C}$ to $+60^{\circ}\text{C}$ by correlation with 100% electrical testing at $T_A = 25^{\circ}\text{C}$. All other limits are assured by correlation with other production tests and/or product design and characterization.

Parameter	Conditions	Min	Typ	Max	Units
Minimum Supply Voltage for Keysense and MUTE Logic Functions		2			V
Minimum Operating Voltage for generating tones		3.5			V
Operating Current Idle Generating Tones	Mute open $R_L = \infty$ $V_{DD} = 3.5V$		2 1.1	25 2.5	μA mA
Input Resistors COLUMN and ROW (Pull-Up) SINGLE TONE INHIBIT (Pull-Down) TONE DISABLE (Pull-Up)		25 120	50		k Ω k Ω
Input Low Level				0.2 V_{DD}	V
Input High Level		0.8 V_{DD}			V
MUTE OUT Sink Current (COLUMN and ROW Active)	$V_{DD} = 3.5V$ $V_o = 0.5V$	0.4			mA
MUTE Out Leakage Current	$V_o = V_{DD}$		1		μA
Output Amplitude Low Group	$R_L = 240\Omega$ $V_{DD} = 3.5V$	190	250	340	mVrms
	$R_L = 240\Omega$ $V_{DD} = 10V$	510	700	880	mVrms
Output Amplitude High Group	$R_L = 240\Omega$ $V_{DD} = 3.5V$	270	340	470	mVrms
	$R_L = 240\Omega$ $V_{DD} = 10V$	735	955	1265	mVrms
Mean Output DC Offset	$V_{DD} = 3.5V$ $V_{DD} = 10V$		1.3 4.6		V V
High Group Pre-Emphasis		2.2	2.7	3.2	dB
Dual Tone/Total Harmonic Distortion Ratio	$V_{DD} = 4V$, $R_L = 240\Omega$ 1 MHz Bandwidth		-23	-22	dB
Start-Up Time (to 90% Amplitude)			3	5	mS

Note 1: R_L is the external load resistor connected from TONE OUT to V_{SS} .

Note 2: Crystal specification: Parallel resonant 3.579545 MHz, $R_S = 150\Omega$, $L = 100\text{mH}$, $C_0 = 5\text{pF}$, $C_1 = 0.02\text{pF}$.

เอกสารนี้เป็นเอกสารที่สงวนไว้สำหรับการใช้งานเพื่อการศึกษาเท่านั้น ไม่อนุญาตให้นำไปใช้ประโยชน์ด้านการค้า
 ไม่ว่ากรณีใดๆ ทั้งสิ้น อีกทั้งห้ามมิให้ตัดแปลงเนื้อหาและต้องอ้างอิงถึงเจ้าของเอกสารทุกครั้งที่มีการนำไปใช้

เอกสารอ้างอิง

1. ชัยวัฒน์ สิมพรจิตวิไล “คู่มือนักอิเล็กทรอนิกส์” กรุงเทพฯ บ.ซีเอ็ดยูเคชั่น จำกัด 2535
2. “รวมโครงการอิเล็กทรอนิกส์” กรุงเทพฯ บ.ซีเอ็ดยูเคชั่น 2539
3. เสกสิทธิ์ คำภีร์ “เซมิคอนดักเตอร์ อิเล็กทรอนิกส์ ฉบับที่152” กรุงเทพฯ บ.ซีเอ็ดยูเคชั่น จำกัด 2538



เอกสารนี้เป็นเอกสารที่สงวนไว้สำหรับการใช้งานเพื่อการศึกษาเท่านั้น ไม่อนุญาตให้นำไปใช้ประโยชน์ด้านการค้า
ไม่ว่ากรณีใดๆ ทั้งสิ้น อีกทั้งห้ามมิให้ตัดแปลงเนื้อหาและต้องอ้างอิงถึงเจ้าของเอกสารทุกครั้งที่มีการนำไปใช้